

Н. В. ГУТОВСКІЙ.

---

КЪ ТЕОРИИ СИСТЕМЫ:

# ЖЕЛЪЗО-УГЛЕРОДЪ.

ЧАСТЬ I.

Плавленіе и затвердѣваніе желѣзо-углерод-сплавовъ  
(съ 23 фиг. въ текстѣ, 6-ю фототип. и 3 литогр. таблицами).



ТОМСКЪ.

Сибирское Т—во Нечатнаго Дѣла, уг. Дворянской и Ямск. пер., соб. д.

1914.

# О Г Л А В Л Е Н И Е

## Часть I.

### Плавленіе и затвердѣваніе жельзо-углеродъ-сплавовъ.

	Страница.
Оглавлениe . . . . .	III
Отъ автора . . . . .	V
I. ВВЕДЕНИЕ (процессы затвердѣванія и плавленія) . . . . .	1
А. Затвердѣваніе . . . . .	2
Б. Плавленіе . . . . .	4
II. ДІАГРАММА СОСТОЯНІЯ ЖЕЛІЗО-УГЛЕРОД-СПЛАВОВЪ . . . . .	7
III. ЭКСПЕРИМЕНТАЛЬНАЯ ПОВЪРКА ДІАГРАММЫ СОСТОЯНІЯ ЖЕЛІЗО-УГЛЕРОД-СПЛАВОВЪ . . . . .	13
А. Опредѣленіе точекъ начала и конца затвердѣванія сплавовъ . . . . .	13
І. Кривыя охлажденія . . . . .	13
1) Причина отсутствія критическихъ точекъ начала затвердѣванія гиперэвтектическихъ сплавовъ . . . . .	16
2) Отсутствіе перелома на кривыхъ охлажденія для определенія конца затвердѣванія доэвтектическихъ сплавовъ .	18
ІІ. Методъ закалки . . . . .	22
1) Опыты закалки . . . . .	24
2) Микроскопическое изслѣдованіе пробъ закалки . . . . .	29
3) Діаграмма состоянія жельзо-углерод-сплавовъ . . . . .	31
В. Опыты цементациі . . . . .	37
IV. ТЕОРИЯ ПЛАВЛЕНІЯ И ЗАТВЕРДѢВАНІЯ ЖЕЛІЗО-УГЛЕРОД-СПЛАВОВЪ . . . . .	47
а) Теорія Неуп'а . . . . .	47
б) Теорія Goereus'a . . . . .	50-
с) Опытное изслѣдованіе процесса плавленія чугуновъ . . . . .	52
д) Теорія плавленія и затвердѣванія чугуновъ . . . . .	58
1) Плавленіе сѣрого чугуна . . . . .	58
2) Плавленіе бѣлаго чугуна . . . . .	62
3) Процессы затвердѣванія . . . . .	63
V. ЗАКЛЮЧЕНИЕ . . . . .	65
Таблица микрофотографій . . . . .	67
Перечень литературныхъ источниковъ . . . . .	68

## ОТЪ АВТОРА.

Настоящая работа была исполнена въ Металлургическомъ Институтѣ Ахенскаго Политехникума въ 1908 и 1909 г. Предварительное сообщеніе о ней было опубликовано въ журналѣ Metallurgie (1909 г. стр. 731 и 737) въ концѣ 1909-го года. По независящимъ отъ автора обстоятельствамъ полный русскій текстъ появляется въ печати черезъ значительный промежутокъ времени съ момента опубликованія работы въ Германіи. За это время въ специальной технической литературѣ появился рядъ работъ, посвященныхъ теоріи желѣзо-углерод-сплавовъ. Эти работы частично подтверждаютъ, частично критикуютъ даннія автора и даютъ при этомъ богатый новый материалъ, освѣщающій сложную систему желѣзо-углеродъ. Авторъ счелъ болѣе правильнымъ опубликовать исполненную имъ работу въ томъ видѣ, въ какомъ она была закончена въ 1909 г. и сдѣлать къ ней добавленіе (часть II), которое должно заключать въ себѣ обзоръ новаго экспериментальнаго материала и критическую оценку новыхъ данныхъ.

## КЪ ТЕОРИИ СИСТЕМЫ: ЖЕЛЪЗО-УГЛЕРОДЪ.

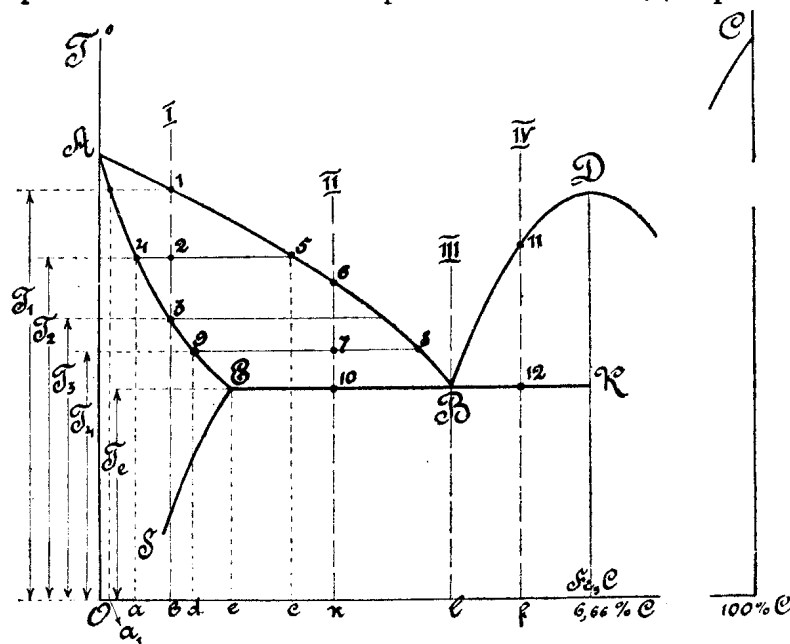
Н. В. Гутовскій.

## ЧАСТЬ I.

## **Плавленіе и затвердѣваніе желѣзо-углерод-сплавовъ.**

## I. Введеніе.

Въ настоящее время можно считать установленными фактами, 1) что желѣзо съ углеродомъ образуетъ химическое соединеніе: карбидъ желѣза  $Fe_3C$ , или такъ называемый цементитъ, и 2) что аллотропическая модификація:  $\gamma$ —желѣзо способно растворять въ себѣ этотъ карбидъ въ опредѣленныхъ въ зависимости отъ температуры количествахъ, образуя твердый растворъ, или такъ называемые смѣшанные кристаллы. Эти двѣ характерныя черты системы желѣзо-углеродъ обусловливаютъ собою типъ діаграммы состоянія желѣзо-углерод-сплавовъ. Согласно классификаціи *B. Roozeboom'a* элементы, образующіе между собой химическое соединеніе, растворимое въ жидкой фазѣ и совершенно нерастворимое въ твердой, слѣдуютъ діаграммѣ типа  $Va^1$ ), а элементы, образующи неполный рядъ смѣшанныхъ кристалловъ, принадлежать къ діаграммѣ типа V. Діаграмма желѣзо-углерод-спла-



Фиг. 1.

вовъ, совмѣщающихъ въ себѣ признаки типа  $V$  и  $V_a$ , естественно является комбинаціей этихъ двухъ типовъ и поэтому должна имѣть видъ, представленный на фиг. 1.

До настоящаго времени<sup>2)</sup> не удается получить чистых сплавовъ желѣза съ углеродомъ съ содер-

<sup>1)</sup> в. II, стр. 20.

<sup>2)</sup> Относится къ 1909 г. О сплавахъ съ большимъ количествомъ углерода будеть указано въ части II.

жаніемъ углерода больше чѣмъ 6,66%, поэтому при разсмотрѣніи вопросовъ, касающихся желѣзо-углерод-сплавовъ фактически приходится имѣть дѣло лишь съ небольшой областью полной діаграммы:  $Fe + C$ —областью въ предѣлахъ отъ 0% до 6,66% углерода.

Процессъ затвердѣванія и плавленія системы изъ двухъ элементовъ, подчиняющихся діаграммѣ типа фигуры I-ой, несложенъ и происходитъ слѣдующимъ образомъ.

**A. Затвердѣваніе.** Начало затвердѣванія всѣхъ сплавовъ отъ A до D совершается при температурахъ, опредѣляемыхъ пересѣченіемъ ординаты состава сплава съ линіями AB или BD, носящими название, „*liquidus*“. Температура конца затвердѣванія опредѣляется пересѣченіемъ тѣхъ же ординатъ состава съ линіями AE и EK, называющимися „*solidus*“. Такимъ образомъ, процессъ затвердѣванія совершается въ опредѣленномъ интервалѣ температуръ, различномъ для разныхъ по составу сплавовъ, и заключается въ томъ, что изъ жидкаго сплава по мѣрѣ пониженія температуры выкристаллизовывается затвердѣвающій элементъ, наростая количественно и измѣняясь качественно, т. е. по составу. Для болѣе детальнаго уясненія процесса затвердѣванія прослѣдимъ его ходъ у четырехъ сплавовъ, обозначенныхъ римскими цифрами I, II, III, IV. Затвердѣваніе сплавовъ съ содержаніемъ элемента D отъ 0% до 0e происходитъ слѣдующимъ образомъ: сплавъ I начинаетъ затвердѣвать въ точкѣ I, т. е. при температурѣ  $T_1$ . При этой температурѣ изъ него начинаютъ выдѣляться „смѣшанные кристаллы“ состава  $Oa_1$ , представляющіе изъ себя твердый растворъ  $Oa_1\%$  элемента D въ  $(100 - Oa_1)\%$  элемента A. По мѣрѣ пониженія температуры выдѣляются новыя порціи смѣшанныхъ кристалловъ, составъ которыхъ измѣняется, слѣдуя *solidus*'у AE. Вслѣдствіе выдѣленія этихъ смѣшанныхъ кристалловъ, измѣняется составъ и жидкой части (фазы) сплава, передвигаясь вправо по *liquidus*'у AB; такимъ образомъ, при нѣкоторой температурѣ  $T_2$  сплавъ, при условіи достаточно медленнаго охлажденія, будетъ состоять изъ смѣшанныхъ кристалловъ состава Oa и жидкой фазы состава Os. При этой температурѣ (и атмосферномъ давленіи) согласно закону фазъ Gibbs'a<sup>1)</sup> рассматриваемый сплавъ представляетъ унваріантную систему:

$$F = K - P + 1 = 2 - 2 + 1 = 1,$$

которая при заданномъ составѣ сплава можетъ находиться въ равновѣсіи только при одной опредѣленной температурѣ. Такое равновѣсіе достигается при условіи достаточно медленнаго охлажденія, такъ какъ

<sup>1)</sup> См. стр. 11.

весь смѣшанные кристаллы, выдѣлившіеся въ интервалѣ температуръ  $T_1 - T_2$  и отличные по составу отъ кристалловъ точки 4, содержащихъ  $Oa^0/0$  элемента  $D$ , должны имѣть достаточно времени, чтобы сравнять свой составъ съ кристаллами точки 4 на счетъ жидкой части сплава. При послѣдующемъ охлажденіи отъ точки 2 внизъ будетъ происходить дальнѣйшее выдѣленіе смѣшанныхъ кристалловъ до тѣхъ поръ, пока сплавъ не достигнетъ температуры  $T_3$  (точки 3), при которой послѣднія капли жидкости затвердѣютъ и весь сплавъ будетъ представлять однородное твердо—твѣрдый растворъ  $Ob^0/0$  элемента  $D$  въ элементѣ  $A$ . Количество смѣшанныхъ кристалловъ и количество жидкой части сплава, находящіяся въ равновѣсіи при какой нибудь данной температурѣ, напримѣръ,  $T_2$ , опредѣляется изъ слѣдующаго установленнаго въ теоріи сплавовъ соотношенія:

$$\frac{\text{кол. смѣш. крист.}}{\text{кол. жидкой фазы}} = \frac{2,5}{4,2}$$

Это соотношеніе показываетъ, что количество смѣшанныхъ кристалловъ (въ 100 частяхъ сплава), опредѣляемое горизонтальнымъ отрѣзкомъ между ординатой сплава и линіей *liquidus*'а увеличивается во время процесса затвердѣванія отъ  $O^0/0$  (точка 1) до  $100^0/0$  (точка 3). Количество жидкой фазы соотвѣтственнымъ образомъ убываетъ отъ  $100^0/0$  (точка 1) до  $O^0/0$  въ точкѣ 3.

Совершенно подобнымъ образомъ идетъ процессъ затвердѣванія и сплавовъ состава отъ  $Oe^0/0$  до  $Ol^0/0$  элемента  $D$ . Отличие отъ только что разсмотрѣннаго случая будетъ имѣть мѣсто только въ моментъ конца затвердѣванія, когда сплавъ состоить изъ смѣшанныхъ кристалловъ предѣльного состава  $Oe$  (точка  $E$ ) и жидкой фазы эвтектическаго состава  $Ol$  въ отношеніи:

$$\frac{\text{смѣш. кристаллы}}{\text{эвтектич. жидк.}} = \frac{10 \cdot B}{E \cdot 10}$$

При эвтектической температурѣ  $T_e$  жидкая эвтектическая часть сплава, какъ система нонваріантная, затвердѣеть при постоянной температурѣ и сплавъ II., послѣ окончанія процесса затвердѣванія при температурѣ  $T_e$ , будетъ представлять изъ себя смѣсь изъ твердой эвтектики и смѣшанныхъ кристалловъ предѣльного состава.

Линія  $SE$  на фиг. 1 показываетъ, что растворимость элемента  $D$  въ элементѣ  $A$  (достигши при  $T_e$  своего *maxitum'a*) при пониженіи температуры отъ  $T_e$  уменьшается, а поэтому смѣшанные кристаллы всѣхъ сплавовъ состава отъ  $O^0/0$  до  $Oe^0/0$  будутъ выдѣлять (въ затвердѣвшемъ уже состояніи) элементъ  $D$ , начиная съ той температуры, которая опредѣляется точкой пересѣченія ординаты ихъ состава съ

линией  $SE$ , смѣшанные же кристаллы сплавовъ состава отъ  $Oe$  до  $O'$  будутъ выдѣлять элементъ  $D$ , начиная отъ температуры  $T_e$ .

Эвтектическій сплавъ III, представляющій собою при температурѣ  $T_e$  нонваріантную систему:

$$F = K - P + 1 = 2 - 3 + 1 = 0,$$

затвердѣть при постоянной температурѣ  $T_e$ .

Наконецъ, сплавъ IV будетъ затвердѣвать также, какъ и сплавъ II съ тою лишь разницей, что при температурѣ начала затвердѣванія (точка 11) изъ него будетъ выкристаллизовываться элементъ  $D$  и поэтому въ затвердѣвшемъ состояніи сплавъ будетъ представлять сѣть изъ кристалловъ элемента  $D$  и эвтектики  $B$  въ отношеніи:

$$\frac{\text{криSTALLы } D}{\text{эвтектика } B} = \frac{B \ 12}{12 \ K}.$$

**В. Плавленіе.** Плавленіе рассматриваемой системы элементовъ совершается въ порядкѣ, обратномъ только что разсмотрѣнному при процессѣ затвердѣванія. Сплавы начинаютъ плавиться, когда температура ихъ достигаетъ линій  $AE$  и  $EK$ . Процессъ плавленія оканчивается на линіяхъ  $AB$  и  $BD$ . Такимъ образомъ, плавленіе происходитъ въ определенномъ интервалѣ температуръ. У сплавовъ, не содержащихъ эвтектику, смѣшанные кристаллы плавятся, выдѣляя изъ себя жидкую фазу, составъ которой, а равнымъ образомъ и составъ самихъ кристалловъ съ повышенiemъ температуры измѣняется, слѣдуя линіямъ *liquidus'a* и *solidus'a* совершенно такъ же, какъ это было показано для процесса затвердѣванія. Такъ напримѣръ, сплавъ I начнетъ плавиться въ точкѣ 3. Въ точкѣ 2 (при температурѣ  $T_2$ ) онъ будетъ состоять изъ смѣшанныхъ кристалловъ состава  $Oa$  и жидкой фазы состава  $Oc$ . Въ точкѣ I процессъ плавленія окончится. Въ сплавахъ, содержащихъ эвтектику (сплавы типа II, IV), первоначально плавится при постоянной температурѣ эвтектика, а затѣмъ въ ней начинаютъ растворяться смѣшанные кристаллы (или элементъ  $D$ ). Процессъ плавленія совершается въ опредѣленномъ для каждого сплава интервалѣ температуръ при измѣняющемся составѣ жидкой фазы и смѣшанныхъ кристалловъ.

Изъ разсмотрѣнія процессовъ затвердѣванія и плавленія слѣдуетъ, что всѣ сплавы начинаютъ затвердѣвать при различныхъ въ зависимости отъ состава сплава температурахъ, лежащихъ на линіяхъ  $AB$  и  $BD$ . Затвердѣваніе оканчивается при различныхъ температурахъ (*solidus AE*) у сплавовъ, не содержащихъ эвтектику, и при постоянной температурѣ  $T_e$  (линія  $EK$ ) у сплавовъ, содержащихъ эвтектику. И обратно: процессъ плавленія начинается при различныхъ темпера-

турахъ (*solidus AE*) у сплавовъ безъ эвтектики и при постоянной эвтектической температурѣ  $T_e$  у сплавовъ съ эвтектикой. Конецъ плавленія различныхъ сплавовъ совершаются при различныхъ температурахъ (лини *AB* и *BD*).

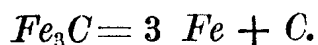
Изложенный выше ходъ процессовъ плавленія и затвердѣванія является идеальнымъ и можетъ имѣть мѣсто только тогда, когда 1) сплавъ нагрѣвается или охлаждается достаточно медленно для того, чтобы процессы растворенія и диффузіи имѣли время совершиться въ ихъ полномъ объемѣ, 2) когда приняты мѣры для предотвращенія явленія переохлажденія и 3) когда элементы, входящіе въ составъ сплава, какъ напримѣръ химическое соединеніе *D*, не подвергаются разложенію при высокихъ температурахъ периода затвердѣванія или плавленія.

I. Процессъ затвердѣванія отклоняется, обыкновенно, отъ разсмотрѣннаго идеальнаго хода въ томъ смыслѣ, что выдѣляющіеся смѣшанные кристаллы не успѣваютъ, вслѣдствіе недостаточно медленнаго охлажденія, выравнивать свой составъ съ кристаллами послѣдующихъ выдѣленій и поэтому 1) затвердѣвшій твердый растворъ не представляется совершенно однороднымъ и 2) измѣненіе количества жидкой фазы не слѣдуетъ условіямъ равновѣснаго состоянія системы, т. е. при данной температурѣ ея остается болѣе, чѣмъ этого требуетъ теоретическая діаграмма. Однако, путемъ очень медленнаго охлажденія или соответствующаго отжига можно уничтожить указанное явленіе неоднородности въ такой мѣрѣ, что полученный сплавъ (твердый растворъ) можно *практически* считать совершенно однороднымъ.

II. Явленія переохлажденія, вообще говоря, не затмняютъ картины процесса затвердѣванія, и ихъ удается устраниТЬ медленнымъ охлажденіемъ и прививкой (*Impfen*) кристалловъ.

III. Весьма серьезную роль для правильнаго хода процессовъ затвердѣванія и плавленія имѣТЬ третье изъ указанныхъ условій: нестойкость химического соединенія при высокихъ температурахъ. Такая нестойкость лежитъ въ природѣ составляющихъ сплавъ элементовъ; ее при извѣстныхъ условіяхъ нельзя предотвратить: химическое соединеніе разлагается и реакція разложенія совершенно нарушаетъ разсмотрѣнныЙ выше теоретическій ходъ затвердѣванія. Послѣднее имѣЕГЪ какъ разъ мѣсто въ желѣзо-углерод-сплавахъ.

Въ системѣ *Fe+C* химическое соединеніе -- карбидъ желѣза ( $Fe_3C$ ) нестоекъ при высокихъ температурахъ области плавленія и затвердѣванія. Онъ распадается на составляющіе его элементы согласно формулѣ:

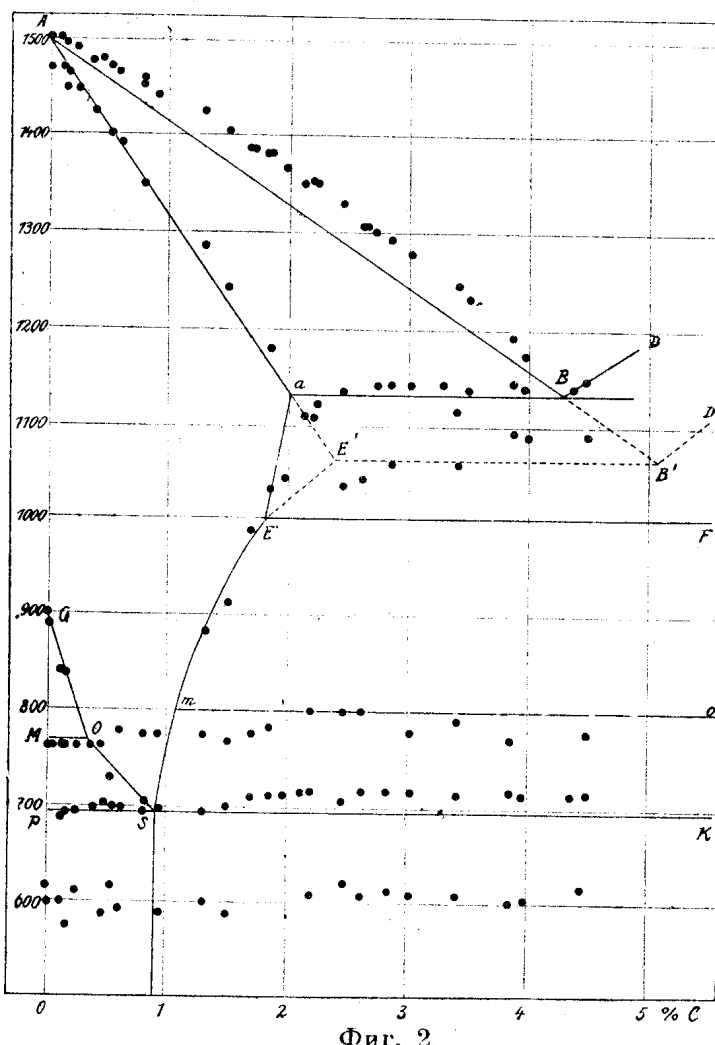


Освобождающійся углеродъ выдѣляется въ видѣ графита или углерода отжига, и такимъ образомъ процессъ затвердѣванія сопровождается процессомъ графитовыдѣленія. Но выдѣляющееся желѣзо  $3Fe$  (въ видѣ модификаціи  $\gamma$ ) при температурѣ распаденія карбида не остается интактнымъ по отношенію къ углероду и карбиду и образуетъ съ ними твердый растворъ, измѣняя такимъ образомъ составъ общей массы смѣшанныхъ кристалловъ. Обѣ указанныя реакціи: распаденіе карбида и науглероживаніе желѣза (цементація) совершаются съ опредѣленной скоростью и поэтому процессы затвердѣванія и плавленія усложняются еще болѣе вслѣдствіе вліянія на ихъ протеканіе скорости охлажденія и нагрѣванія системы.

Процессы плавленія и затвердѣванія въ системѣ желѣзо-углеродъ настолько сложны, а экспериментальное изслѣдованіе ихъ представляеть столько непреодолимыхъ трудностей, что до настоящаго времени, несмотря на большое число работъ, посвященныхъ изученію этой системы, *не существуетъ* теоріи, которая съ полной ясностью и неопровергимостью освѣщала бы и объясняла всѣ темныя, неясныя и потому спорныя явленія, наблюдаемыя при плавленіи и затвердѣваніи чугуновъ. Въ виду теоретической и практической важности пониманія сущности явленій, происходящихъ при термической обработкѣ наиболѣе распространенныхъ въ технике металловъ желѣза, стали и чугуна, авторъ полагаетъ, что экспериментальная изслѣдованія въ этой области необходимы, и это побуждаетъ его опубликовать данные произведенныхъ имъ опытовъ, имѣвшихъ въ виду разясненіе вопроса плавленія и затвердѣванія желѣзо-углерод-сплавовъ.

## II. Діаграмма состоянія жельзо-углерод-сплавовъ.

Діаграмма состоянія жельзо-углерод-сплавовъ была вперше опублікована въ 1899 г. *Roberts-Austen'омъ*<sup>3)</sup> \*) Въ 1900 г. появилась знаменитая работа *Bakhuis Roozeboom'a*: „*Eisen und Stahl vom Standpunkt der Phasenlehre*“<sup>4)</sup>, въ которой *B. Koозевоом* на основаніи разработанной имъ теоріи твердыхъ растворовъ сопоставилъ даннія *Osmond'a* и *R. Austen'a* и, приведя имѣющійся экспериментальный материалъ въ стройный порядокъ, предложилъ новый видъ діаграммы, изображенный на фиг. 2. (Фиг. 2 представлена въ томъ видѣ, въ какомъ она помѣщена въ работѣ *Carpenter'a* и *Keeling'a*<sup>5)</sup>.



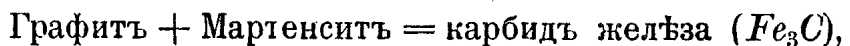
Фиг. 2.

Въ этой діаграммѣ которую необходимо признать фундаментомъ для послѣдующаго развитія теоріи жельзо - углерод-сплавовъ, *B. Koозевоом* провелъ линії *AE'*, *EF* и *ot* на основаніи исключительно теоретическихъ соображеній о ходѣ процесса затвердѣванія. Изъ этихъ линій линія конца затвердѣванія *Aa* до сихъ поръ не получила экспериментальнаго подтвержденія, такъ какъ даннія *Carpenter'a* и *Keeling'a*, вслѣдствіе отсутствія въ ихъ работѣ кривыхъ охлажденія, нельзѧ признать вполнѣ достовѣрными. Это предположеніе о недостовѣрности данныхъ

\*) Подробный обзоръ исторического развитія діаграммы жельзо-углерод-сплавовъ будетъ помѣщено во второй части работы въ связи съ критическимъ разборомъ данныхъ отдельныхъ изслѣдователей.

названныхъ изслѣдователей тѣмъ болѣе вѣроятно, что они, поставивши своей задачей экспериментально подтвердить діаграмму *B. Roogzeboom'a*, нашли точки, принадлежащія линіямъ *aE* и *to*, отсутствіе которыхъ въ діаграммѣ съ несомнѣнностью доказано позднѣйшими изслѣдователями.

Линія *EF*, которая по предположенію *B. Roogzeboom'a* должна соответствовать образованію карбida по реакціи:



подверглась критикѣ со стороны цѣлаго ряда изслѣдователей, такъ какъ предложенное *B. Roogzeboom'omъ* объясненіе образованія карбida же-лѣза противорѣчило даннымъ практики и экспериментальныхъ наблюдений. Самъ *B. Roogzeboom* въ 1904 г., въ письмѣ по поводу работы *Carpenter'a* и *Keeling'a* отказался отъ предложеннаго имъ ранѣе толкованія линіи *EF*, но оставилъ эту линію въ своей діаграммѣ, указывая, что она должна соответствовать выдѣленію цементита изъ смѣшанныхъ кристалловъ съ 2% C. Однако, новѣйшія изслѣдованія и въ особенности работы *Wüst'a*<sup>6)</sup> съ совершенной очевидностью доказали, что линія *EF*, а также и *to* въ діаграммѣ желѣзо-углерод-сплавовъ не существуютъ. Съ исчезновенiemъ линіи *EF* теряетъ свой смыслъ существование отрѣзка *aE*, который по *B. Roogzeboom'u* долженъ изображать предѣлъ растворимости графита въ смѣшанныхъ кристаллахъ. Обыкновенно эта линія, о чёмъ ниже будетъ рѣчь, въ новѣйшихъ діаграммахъ протекаетъ самостоятельно, лѣвѣ *SE*—почти ей параллельно.

Пунктирныя линіи на діаграммѣ *B. Roogzeboom'a* относятся къ случаю переохлажденія системы, при которомъ конецъ затвѣрдѣванія совершается при болѣе низкой температурѣ.

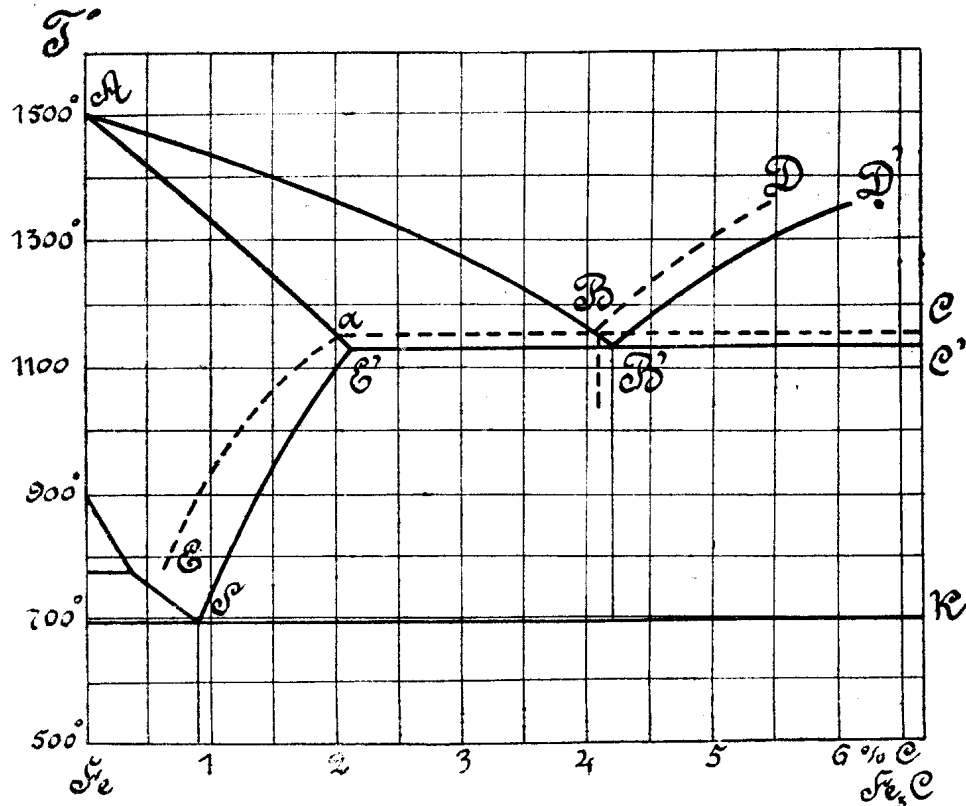
Если внести въ діаграмму *B. Roogzeboom'a* только что указанныя и безусловно необходимыя измѣненія, то она приметъ видъ, предложенный *C. Benedicks'omъ* и представленный на фиг. 3.

Значеніе сплошныхъ и пунктирныхъ линій въ этой діаграммѣ слѣдующее\*). По мнѣнію *B. Roogzeboom'a*, поддерживаемому *Heup'омъ*, *Benedicks'омъ* и друг., при охлажденіи желѣзо-углерод-сплавовъ необходимо различать два случая: медленное охлажденіе и быстрое охлажденіе (переохлажденіе). При медленномъ охлажденіи по линіи *AB* выдѣляются смѣшанные кристаллы *Kg*, представляющіе твердый растворъ элементарного углерода въ  $\gamma$ —желѣзѣ. По линіи *BD* выдѣляется

\*.) Значеніе линій *BD*, *B'D'* и другихъ на фиг. 2 и 3 одинаково, пунктирныя же ихъ обозначенія обратны другъ другу.

элементарный углеродъ въ видѣ графита. Точка *B* соотвѣтствуетъ эвтектике:

смѣшанные кристаллы  $K_g +$  графитъ.



Фиг. 3.

Линія *Ea* указываетъ предѣль растворимости элементарнаго углерода въ  $\gamma$  — желѣзѣ.

При быстромъ охлажденіи по линіи *AB* выдѣляются смѣшанные кристаллы  $K_c$  твердаго раствора карбida желѣза (цементита) въ  $\gamma$  — желѣзѣ. По линіи *B'D'* выдѣляется цементитъ и въ точкѣ *B'* образуется эвтектика:

смѣшанные кристаллы  $K_c +$  цементитъ.

Линія *SE'* даетъ предѣль насыщенія  $\gamma$  — желѣза цементитомъ. Продуктомъ такого быстраго охлажденія является извѣстный въ технике бѣлый чугунъ.

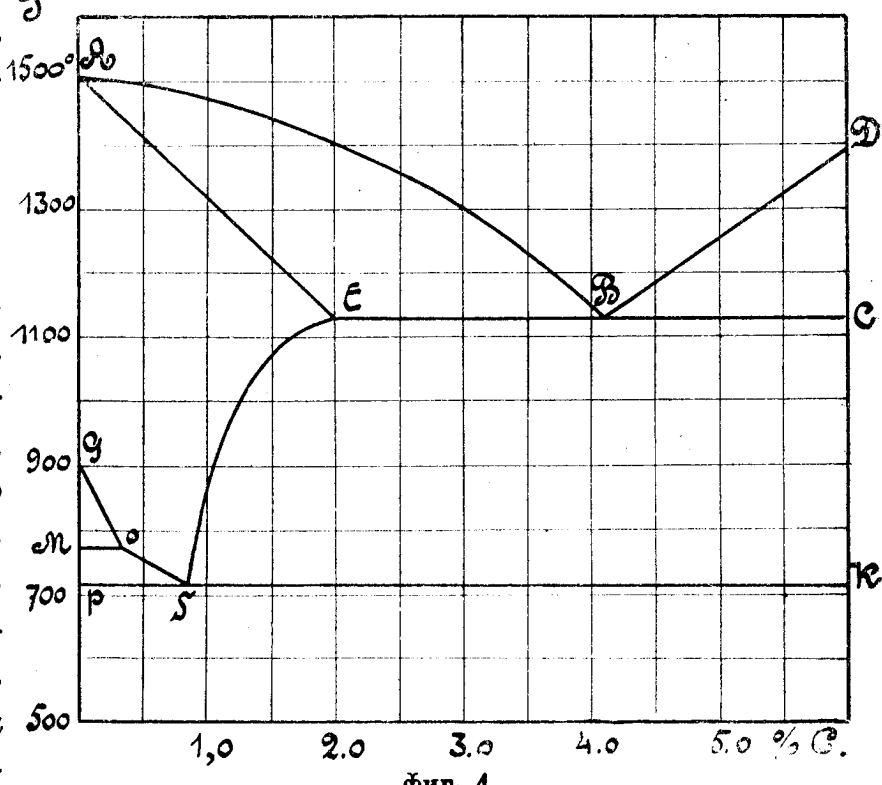
Полученные быстрымъ охлажденiemъ сплавы считаются неустойчивыми — метастабильными, имѣющими стремленіе принять стабильную форму, въ которой углеродъ находится въ элементарномъ видѣ и которая получается въ практикѣ при медленномъ охлажденіи. Въ виду того, что растворимость стабильной формы какого нибудь элемента, — въ данномъ случаѣ углерода — согласно закону *Le Chatelier* меньше

растворимости метастабильной формы, то линія  $Ea$  должна по теоретическимъ требованіямъ находиться лѣвѣ линіи  $SE'$ , Практически положеніе линіи  $Ea$  не установлено.

Необходимо отмѣтить, что діаграмма *B. Roogzeboom'a* подверглась критикѣ со стороны цѣлаго ряда изслѣдователей\*). Въ нее внесены различные дополненія и измѣненія, но основной пунктъ критики—вопросъ о появленіи графита—остается и до сихъ поръ спорнымъ.

По этому вопросу изслѣдователи раздѣлились на двѣ группы. Изъ нихъ одни\*\*) являются сторонниками такъ называемой „двойной“ діаграммы типа, показанного на фиг. 3: они рассматриваютъ графитъ, какъ продуктъ первичного выдѣленія углерода по линіи  $BD$  (фиг. 3) и тѣмъ самымъ признаютъ существование смѣшанныхъ кристалловъ  $K_g$  и эвтектики:  $K_g +$  графитъ, полагая, что выдѣленіе цементита по линіи  $B'D'$  и образованіе эвтектики:  $Kc +$  цементитъ имѣютъ мѣсто лишь при быстромъ охлажденіи. Они такимъ образомъ считаютъ необходимымъ существование двухъ діаграммъ: одной для случая медленного охлажденія (стабильная система: пунктирные линіи на фиг. 3) и другой для случая быстрого охлажденія (метастабильная система — сплошные линіи).

Другая группа\*\*\*) признаетъ теорію, предложенную *Goerens'omъ* заключающуюся въ томъ, что для системы желѣзо-углеродъ существуетъ только одна діаграмма, представленная на фиг. 4: независимо отъ скорости охлажденія при затвердѣваніи желѣзо-углерод. сплавовъ по линіи  $AB$  всегда выдѣляются кри-



фиг. 4.

\*) Изъ числа изслѣдователей, занимавшихся изученіемъ діаграммы желѣзо-углерод-сплавовъ, необходимо отметить слѣдующихъ: *Stanfield<sup>8)</sup>*, *Heyn<sup>9)</sup>*, *G. Charpy<sup>10)</sup>*, *\*. Benedicks<sup>7)</sup>*, *Goerens<sup>11)</sup>*, *Ruer<sup>12)</sup>*, *Howe<sup>13)</sup>*, *Витторфъ<sup>14)</sup>* и др.

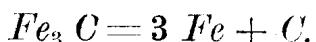
\*\*) Представителями этой группы являются: *Heyn*, *Benedicks*, *Howe*.

\*\*\*) Представители ея: *Goerens*, *Wüst*.

сталлы  $K_c$ , т. е. кристаллы твердаго раствора цементита въ  $\gamma$ -желѣзѣ; по линіи  $BD$  всегда выдѣляется цементитъ (первичный). Существуетъ только одна эвтектика (Ледебуритъ):



которая затвердѣваетъ при постоянной температурѣ  $1130^{\circ}$ . Но въ виду того, что цементитъ, *не находящійся въ жидкому или твердому растворѣ*, весьма нестойкъ при температурахъ близкихъ къ затвердѣванію эвтектики, то онъ сейчасъ же послѣ своего выдѣленія распадается на составныя части:



Элементарный углеродъ ( $C$ ) выдѣляется въ видѣ графита. Распаденію подвергается какъ первичный цементитъ, выдѣлившійся по линіи  $BD$  (фиг. 4), такъ и цементитъ эвтектики. Распаденіе тѣмъ полно, чѣмъ медленнѣе совершаются охлажденіе. Для того чтобы предотвратить распаденіе и получить бѣлый чугунъ, необходимо сплавъ охладить быстро и именно такъ быстро, чтобы скорость охлажденія была больше скорости реакціи распаденія цементита. По теоріи *Goerens'a* не существуетъ первичнаго выдѣленія элементарнаго углерода, а потому не должно существовать ни смѣшанныхъ кристалловъ  $K_g$  ни эвтектики  $K_g +$  графитъ. Появленіе графита въ сплавахъ есть явленіе распаденія цементита. Отсюда, какъ логическое слѣдствіе, вытекаетъ ненадобность существованія двухъ отдѣльныхъ діаграммъ для стабильной и метастабильной системы, такъ какъ первая изъ нихъ получается путемъ распаденія второй въ случаѣ медленнаго охлажденія.

Само собой понятно, что объясненіе процессовъ затвердѣванія и плавленія существенно должно отличаться въ зависимости отъ того, какую изъ существующихъ теорій принять за основаніе.

Не входя въ подробную критику различныхъ теорій, что будетъ имѣть мѣсто во II части настоящей работы, авторъ считаетъ необходимымъ кратко указать тѣ основанія, которыя заставляютъ его быть сторонникомъ теоріи *Goerens'a*, а поэтому въ дальнѣйшемъ излагать процессы плавленія и затвердѣванія, исходя изъ теоріи „одной“ діаграммы.

Теорія „одной“ діаграммы не противорѣчить даннымъ практики о затвердѣваніи и плавленіи чугуновъ, наоборотъ, она легко разрѣшаетъ темныя стороны этихъ сложныхъ процессовъ. Многочисленныя данные экспериментальныхъ изслѣдований согласуются съ этой теоріей. Изслѣдованія автора<sup>15)</sup> совмѣсто съ *Goerens'omъ* о графитообразованіи подтвердили основное положеніе теоріи о распаденіи карбіда

въ моментъ затвердѣванія эвтектиki. Наоборотъ, теорiя двойной дiаграммы до сихъ порь не подтверждена экспериментально: не определены точно кривыя соотвѣтствующаго стабильнаго и метастабильнаго хода затвердѣванія, не установлена эвтектика: графитъ + смѣшанные кристаллы  $K_g$ , не указана разница между кристаллами  $K_g$  и  $K_c$  и не доказано выдѣленiе графита по линiи  $BD$  (фиг. 3).

Какъ было упомянуто выше, въ дiаграммѣ желѣзо-углерод-сплавовъ линiя  $AE$  (фиг. 4) не подтверждена экспериментальными данными. Равнымъ образомъ не получила экспериментальнаго подтвержденiя и линiя  $BD$ . Прочiя же линiи были систематически проверены лишь въ работѣ Carpenter'a и Keeling'a<sup>5)</sup>. Поэтому, при изслѣдованiи процессовъ плавленiя и затвердѣванія, авторъ считалъ необходимымъ въ первую очередь произвести проверку той части дiаграммы состоянiя желѣзо-углеродъ-сплавовъ, которая имѣеть отношенiе къ рассматриваемымъ процессамъ.

### III. Экспериментальная повърка діаграммы состоянія желеzo-углерод-сплавовъ.

#### A. Определение точекъ начала и конца затвердѣванія сплавовъ.

##### I. Кривыя охлажденія.

Для. провѣрки линій  $AB$ ,  $BD$ ,  $AE$  и  $EC$  (фиг. 4) были сняты кривыя охлажденія со сплавовъ съ различнымъ содержаніемъ углерода. Для приготовленія сплавовъ служили слѣдующіе матеріалы:

1) Шведскій бѣлый чугунъ:

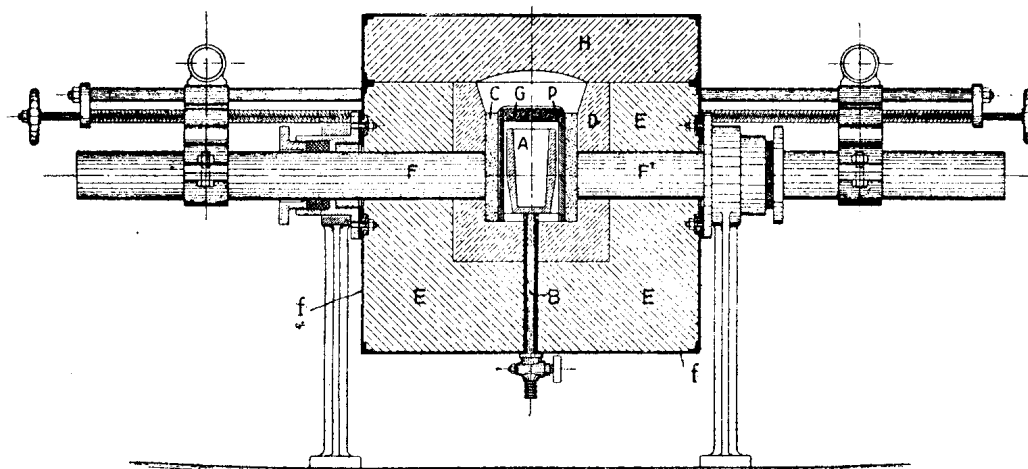
$C = 3,746\%$ ,  $Si = 0,024\%$ ,  $Mn = 0,180\%$ ,  $P = 0,024\%$ , и  $S = 0,0076\%$ .

2) Шведское желеzo (*Nageleisen*):

$C = 0,040\%$ ,  $Si = 0,023\%$ ,  $Mn = 0,090\%$ ,  $P = 0,032\%$  и  $S = 0,005\%$ .

3) Чистый графитъ (*Graphit puriss. v. Merck*).

Исходные матеріалы сплавлялись въ криптолевой печи, конструкція которой изображена на фиг. 5\*)



Фиг. 5.

Печь представляетъ изъ себя желеzoный ящикъ  $ff$ , набитый огнеупорной шамотовой массой  $E$ . Внутренняя часть ея покрыта слоемъ магнезита  $D$ . Тигель  $A$  помѣщается въ цилиндръ  $P$  изъ марквардской массы, которая предохраняетъ тигель отъ соприкосновенія съ криптолемъ, заполняющимъ пространство между  $P$  и  $D$ . Токъ подводится въ печь посредствомъ двухъ угольныхъ электродовъ, сдѣланнныхъ подвижными—для лучшей регулировки соприкосновенія ихъ съ слоемъ криптоля. Цилиндръ  $P$  закрывается дискомъ  $G$ , а вся печь

\*) Wüst (16) стр. 76.

снабжена крышкой *H*. Снизу черезъ трубку *B* въ печь можно вводить какой-нибудь газъ, въ атмосферѣ котораго ведется опытъ\*).

Снятіе кривыхъ производилось слѣдующимъ образомъ. Когда сплавъ достигалъ температуры  $1500^{\circ}$ , тигель быстро вынимался изъ печи и помѣщался въ сосудъ съ подогрѣтымъ до  $500^{\circ}$  трипеломъ. Въ сплавъ вводился черезъ отверстіе въ крышкѣ тигля термо-элементъ *Le Chatelier*, который при помощи опорнаго кольца на предохранительной трубкѣ устанавливался по оси тигля на разстояніи отъ дна, равномъ половинѣ высоты королька. Вѣсъ корольковъ равняется  $\infty 150\ gr.$ . Для снятія кривыхъ былъ взятъ новый термо-элементъ фирмы *Heraeus* съ провѣрочнымъ свидѣтельствомъ, по даннымъ котораго въ показанія температуръ были введены соотвѣтствующія поправки.

Съ каждого сплава снимались двѣ кривыхъ: одна типа *Osmond'a* при помощи хронографа *Richards'a*\*\*) и другая обыкновенная при наблюденіи смѣрости охлажденія по секундомѣру.

Кривыя *Osmond'a*, при отмѣткѣ хронографа черезъ каждыя  $10^{\circ}$ , даютъ возможность опредѣлять температуру критическихъ остановокъ только съ точностью  $10^{\circ}$ , но такъ какъ эти кривыя отчетливо обозначаютъ критическія остановки, то онѣ снимались для контроля обыкновенныхъ кривыхъ, которыя болѣе точно даютъ температуру критическихъ точекъ, но менѣе ясно ихъ изображаютъ. Послѣднія кривыя въ количествѣ девяти представлены на фиг. 6.

Составъ полученныхъ сплавовъ, температуры критическихъ остановокъ и продолжительность ихъ даны въ слѣдующей таблицѣ I. См. таблицу I на стр. 15.

Изъ разсмотрѣнія кривыхъ охлажденія слѣдуетъ:

1) что на нихъ ясно отмѣчены.

- a) Точки линіи *AB*—начала затвердѣванія сплавовъ.
- b) Точки линіи *EC*, опредѣляющей конецъ затвердѣванія эвтектиki
- и с) Точки линіи *PK*—образованія перлита.

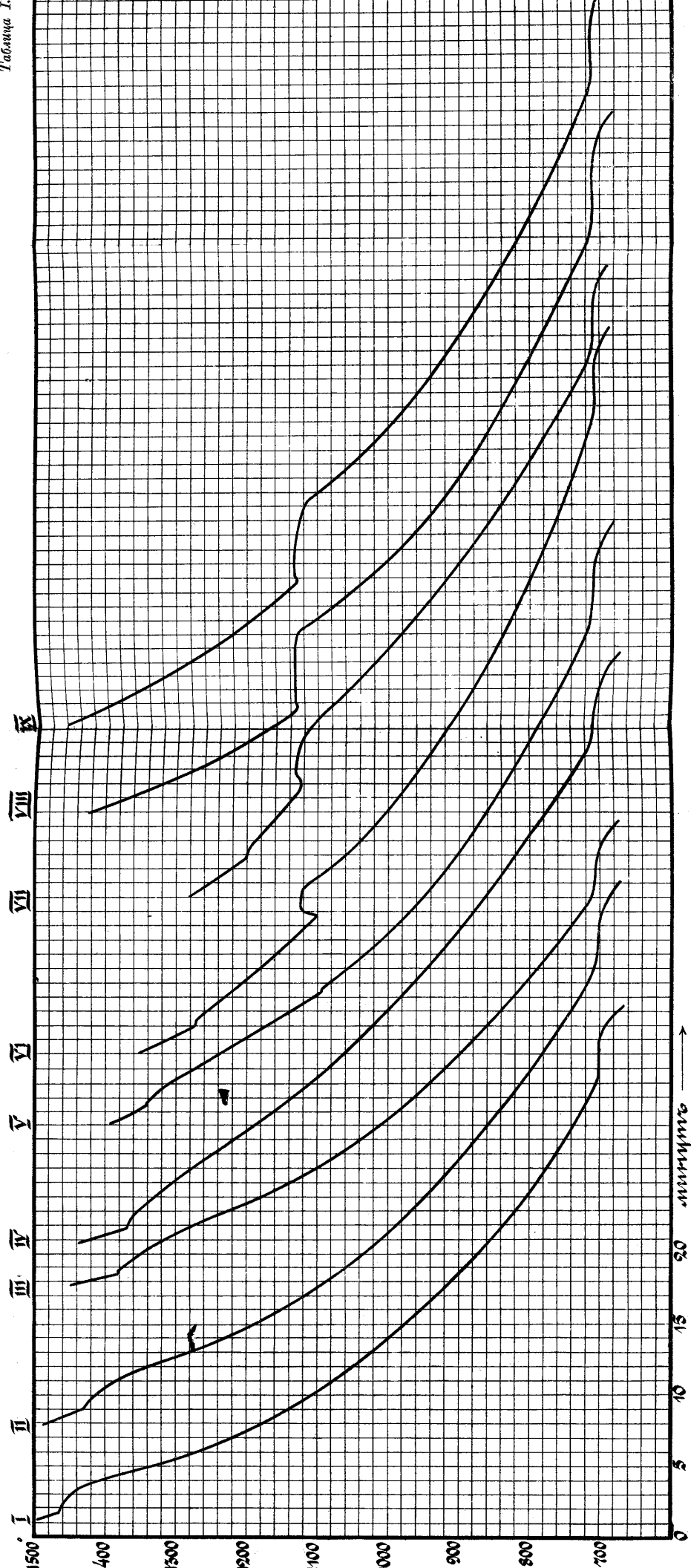
2) что кривыя не даютъ никакихъ указаній относительно:

- a) температуръ начала затвердѣванія гиперэвтектическихъ сплавовъ (линія *BD*).
- и b) температуръ конца затвердѣванія доэвтектическихъ сплавовъ отъ  $0^{\circ}/0$  до  $2^{\circ}/0\ C$  (линія *AE*).

\*.) Въ настоящихъ опытахъ послѣднее приспособленіе не использовалось, такъ какъ планка велась въ атмосферѣ воздуха.

\*\*) Описаніе смотр. *Gorelius* (17) стр. 16.

Таблица I.



Н. Гутовский. К теории системы: землю-титан.

Фиг. 6.

Токсъ, Техн.-лит. Соб. Тр. Пет. Акад.

ТАБЛИЦА I\*)

№	Химический состав.						Температура остановок°С.						Краткое описание строения сплавов.					
	Весь	C	Графитъ	Si	Mn	P	S	Al.	Более старое изделие.	Более позднее изделие.	Греконитъ (Grekonit).	Липаритъ (Liparite).	Минералы или минералообразующие вещества.	Форма зерен.				
I	0,577	—	0,028	0,132	0,030	0,005	1465°	—	701°	—	7	ферритъ и перлитъ.						
II	1,071	—	0,030	0,125	0,032	0,005	1429°	—	703°	—	8	Перлитъ.						
III	1,632	—	0,041	0,141	0,028	0,006	1381°	—	708°	—	9	Перлитъ и вторичный цементитъ.						
IV	1,762	—	0,045	0,143	0,026	0,005	1369°	—	710°	—	10	Перлитъ съ вторичнымъ цементитомъ. Слѣды ледебуита.						
V	2,165	0,282	0,045	0,160	0,022	0,006	1340°	1093°	709°	25	11	Количество ледебуита увеличивается.						
VI	2,795	0,611	0,060	0,171	0,024	0,006	1272°	1123°	709°	110	12	Бѣлый чугунъ.						
VII	3,677	2,263	0,064	0,172	0,023	0,007	1199°	1130°	710°	250	13	Сѣрый чугунъ.						
VIII	4,626	3,413	0,090	0,181	0,024	0,007	—	1134°	710°	260	14	Сѣрый чугунъ. Грубая графитовая пластинки.						
IX	4,940	3,910	0,091	0,180	0,024	0,007	—	1134°	715°	225	15	Сѣрый чугунъ.						

\*) Строеніе сплавовъ I—IX представлено на табличахъ микрографій (фиг. 7—15).

Отсутствие на кривыхъ охлажденія критическихъ остановокъ для построенія линій *BD* и *AE* фактъ давно наблюдаемый. Этихъ остановокъ совсѣмъ не было въ опытахъ автора, несмотря на тщательную съемку кривыхъ при пользованіи самыми тонкими изъ кварца предохранительными трубками, при медленномъ охлажденіи и достаточно большомъ количествѣ сплава.

1) Причина отсутствія критическихъ точекъ начала затвердѣванія гиперэвтектическихъ сплавовъ можетъ быть объяснена различно.

а) Если придерживаться теоріи графитообразованія *Goereus'a* и принять во вниманіе утвержденіе *Osmond'a* объ эндотермичности реакцій распаденія карбіда желѣза, то отсутствіе критическихъ остановокъ можно объяснить тѣмъ, что теплота освобождающаяся при выдѣленіи кристалловъ карбіда, компенсируется теплотой, идущей на ихъ распаденіе, которое совершается тотчасъ по ихъ выдѣленіи. Но утвержденіе *Osmond'a* объ эндотермичности реакціи распаденія карбіда подлежитъ сомнѣнію, такъ какъ большинство изслѣдователей (*Moissan, Mylius, Schoene* и *Förster, Saniter, Frost, Hautfeuille*) считаютъ эту реакцію экзотермической, а потому и вышеуказанное объясненіе справедливо только постольку, поскольку является вѣрнымъ утвержденіе *Osmond'a*.

б). Разсмотрѣніе теоретическаго процесса затвердѣванія сплавовъ даетъ нѣкоторыя указанія, позволяющія утверждать, что точки начала затвердѣванія гиперэвтектическихъ сплавовъ должны быть выражены на кривыхъ охлажденія слабо, а поэтому онѣ обыкновенно и ускользаютъ отъ термического анализа.

Дѣйствительно, критическая точка начала затвердѣванія, или такъ называемый переломъ кривой, обусловливается исключительно выдѣленiemъ теплоты кристаллизациі. Само собой понятно, что этотъ переломъ будетъ тѣмъ яснѣе, чѣмъ больше выдѣляется теплоты въ начальный моментъ и въ періодъ кристаллизациі. Количество же этой теплоты зависитъ отъ слѣдующихъ факторовъ:

- 1) отъ теплоты кристаллизациі даннаго тѣла,
- 2) отъ способности тѣла къ переохлажденію,
- 3) отъ состава сплава и наклона *liquidus'a*.

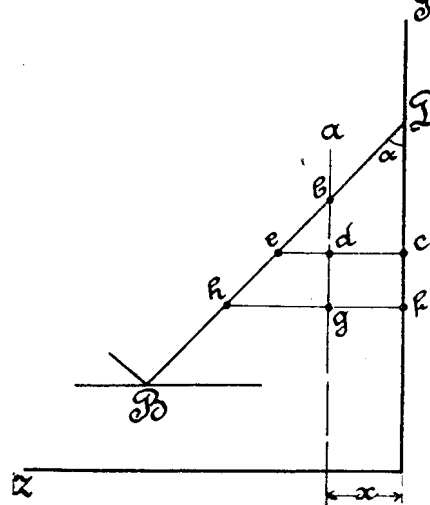
Относительно первого изъ этихъ факторовъ по отношенію къ жѣзо-углерод-сплавамъ точно ничего неизвѣстно. Отсутствіе критическихъ точекъ заставляетъ предполагать, что теплота кристаллизациі карбіда желѣза незначительна.

Отсутствіе критическихъ точекъ говоритъ и за то, что гиперэвтектическіе сплавы въ моментъ затвердѣванія не склонны къ переохла-

жденію. А такъ какъ переохлажденіе тѣль зависитъ отъ двухъ причинъ: отъ незначительной величины скорости самопроизвольной кристаллизациі (с. с.  $k.$ )<sup>\*</sup> и отъ малой скорости развитія кристаллизациі (с.  $k.$ ), а также отъ относительного положенія *maxitum'a* с. с.  $k.$  относительно кривой с.  $k.$ , то надо полагать, что с. с.  $k.$  и с.  $k.$  карбіда значительны, а положеніе *maxitum'a* с. с.  $k.$  находится при температурѣ, при которой величина с.  $k.$  достаточно велика, чтобы переохлажденіе не имѣло мѣста.

5° Наконецъ по поводу третьяго фактора необходимо указать слѣдующее:

Допустимъ\*\*) для простоты разсмотрѣнія, что *liquidus*  $BD$  представляетъ собою прямую линію, составляющую уголъ  $\alpha$  съ осью ординатъ (фиг. 16); пусть  $bd = dg = 1^{\circ}$ . тогда  $ed = \operatorname{tg} \alpha$ ,  $gh = 2 \operatorname{tg} \alpha$ , и количества кристалловъ, выдѣляющихся изъ сплава  $a$ , при охлажденіи его на одинъ и на два градуса, выразится слѣдующимъ образомъ:



Фиг. 16.

и при охлажденіи на  $n^{\circ}$ :

$$\frac{ntg x}{ntg \alpha + x}.$$

Послѣднее выраженіе показываетъ, 1) что при данномъ составѣ  $x$  количество кристалловъ, выдѣляющихся при охлажденіи сплава на  $1^{\circ}$ , постепенно уменьшается; 2) что при перемѣнномъ составѣ сплава количество кристалловъ, выдѣляющихся въ первый моментъ затвердѣванія тѣмъ больше, чѣмъ  $x$  меньше, т. е. чѣмъ ближе сплавъ по своему составу приближается къ чистому компоненту, и 3), что количество кристалловъ, выдѣляющихся въ первый моментъ затвердѣванія, тѣмъ больше, чѣмъ больше уголъ  $\alpha$ , т. е. чѣмъ положе протекаетъ *liquidus*.

Само собой понятно, что переломъ на кривой охлажденія выражается тѣмъ яснѣе, чѣмъ больше выдѣляется кристалловъ въ первые моменты затвердѣванія.

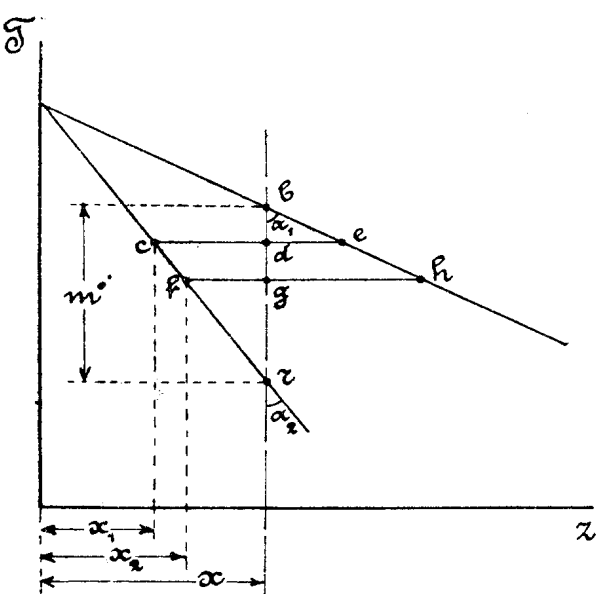
Въ гиперэвтектическихъ желѣзо-углерод-сплавахъ перелома на кривыхъ охлажденія не наблюдается, и это необходимо приписать тому, что *исследуемые* сплавы находятся недалеко отъ эвтектическог

точки (условіе 2-е) и что, повидимому, *liquidus* круто подымается вверхъ (условіе 3). Хотя положеніе *liquidus*'а точно и не опредѣлено, но ему на діаграммахъ придаютъ видъ круто подымающейся вверхъ линіи, что и должно отвѣтить дѣйствительности.

Какъ разъ оба указанныя обстоятельства обусловливаютъ незначительное количество кристалловъ, выдѣляющихся въ первые моменты затвердѣванія; теплота выдѣленія такого незначительного количества кристалловъ недостаточна для того, чтобы дать ясный переломъ на кривой охлажденія, и поэтому методъ термического анализа для определенія линіи *BD* не даетъ положительныхъ результатовъ.

2) Отсутствіе перелома на кривыхъ охлажденія для определенія конца затвердѣванія доэвтектическихъ сплавовъ, т. е. для построенія линіи *AE*, находитъ свое объясненіе въ слѣдующихъ соображеніяхъ.

Прослѣдимъ подобно предыдущему теоретической ходъ затвердѣванія сплавовъ, образующихъ твердые растворы\*). Допустимъ, что *liquidus* и *solidus* представляютъ изъ себя прямые линіи (фиг. 17). Пусть  $bd = dg = 1^\circ$ , тогда:  $de = \operatorname{tg} \alpha_1$ ,  $gh = 2 \operatorname{tg} \alpha_1$  и количества смѣшанныхъ кристалловъ, выдѣляющихся при охлажденіи на  $1^\circ$  и  $2^\circ$ , послѣдовательно равны:



Фиг. 17.

$$\frac{de}{ec} = \frac{\operatorname{tg} \alpha_1}{\operatorname{tg} \alpha_1 + (x - x_1)} \quad \text{и} \quad \frac{gh}{fh} = \frac{2 \operatorname{tg} \alpha_1}{2 \operatorname{tg} \alpha_1 + (x - x_2)}$$

и количество кристалловъ, выпадающихъ при пониженіи температуры на  $n^\circ$  отъ точки *b*, равно:

$$\frac{n \operatorname{tg} \alpha_1}{n \operatorname{tg} \alpha_1 + (x - x_n)}.$$

Изъ чертежа фиг. 17 слѣдуетъ, что:

$x - x_1 = (m - 1) \operatorname{tg} \alpha_2$ ;  $x - x_2 = (m - 2) \operatorname{tg} \alpha_2$  и  $x - x_n = (m - n) \operatorname{tg} \alpha_2$ . Подставивъ значения  $x - x_1$ ,  $x - x_2$  и  $x - x_n$  въ первыя три равенства, получимъ:

\* ) См. (14) стр. 283.

$$\frac{de}{ec} = \frac{\operatorname{tg} \alpha_1}{\operatorname{tg} \alpha_2 \left[ m - \left(1 - \frac{\operatorname{tg} \alpha_1}{\operatorname{tg} \alpha_2}\right) \right]}; \quad \frac{gh}{fh} = \frac{2 \operatorname{tg} \alpha_1}{\operatorname{tg} \alpha_2 \left[ m - 2 \left(1 - \frac{\operatorname{tg} \alpha_1}{\operatorname{tg} \alpha_2}\right) \right]} \text{ и}$$

$$\frac{n \operatorname{tg} \alpha_1}{\operatorname{tg} \alpha_2 \left[ m - n \left(1 - \frac{\operatorname{tg} \alpha_1}{\operatorname{tg} \alpha_2}\right) \right]}.$$

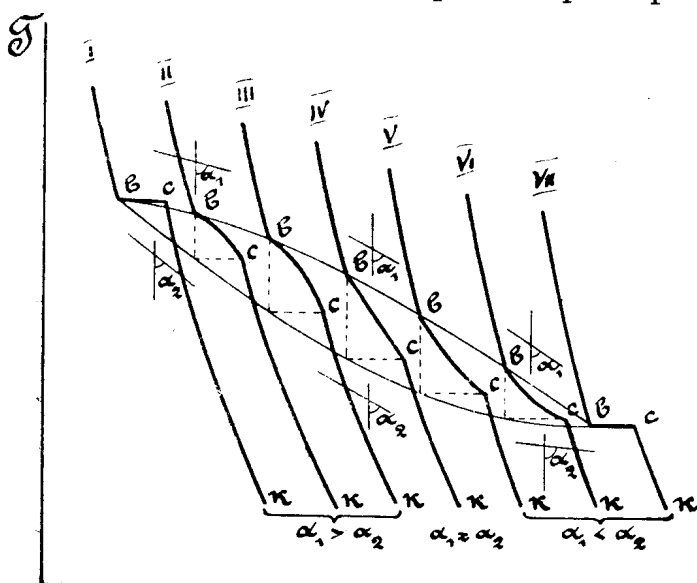
Изъ этихъ выражений видно, что количество кристалловъ, выдѣляющихся во время процесса затвердѣванія, зависитъ отъ угловъ  $\alpha_1$  и  $\alpha_2$ , т. е. отъ характера и взаимнаго положенія *liquidus'a* и *solidus'a*.

Если  $\alpha_1 > \alpha_2$ , то величина  $1 - \frac{\operatorname{tg} \alpha_1}{\operatorname{tg} \alpha_2}$  меньше единицы и поэтому знаменатель въ рассматриваемыхъ выраженияхъ по мѣрѣ пониженія температуры увеличивается, т. е. количества кристалловъ, выпадающихъ при пониженіи температуры сплава на  $1^\circ$ , послѣдовательно уменьшаются.

При  $\alpha_1 < \alpha_2$  наблюдается обратное явленіе: знаменатель дробей уменьшается, а потому количества выпадающихъ кристалловъ при пониженіи температуры на  $1^\circ$  увеличиваются. И, наконецъ, если  $\alpha_1 = \alpha_2$ , то количество кристалловъ, выдѣляющихся при пониженіи температуры на  $1^\circ$  остается постояннымъ во все время процесса затвердѣванія и равно:

$$\frac{1}{m}.$$

Вліяніе угловъ  $\alpha_1$  и  $\alpha_2$  на характеръ переломовъ кривыхъ охла-



жденія графически представлено на фиг. 18, на которой помѣщенъ рядъ теоретическихъ кривыхъ охлажденія для системы двухъ элементовъ, обладающихъ полной растворимостью другъ въ другъ какъ въ жидкому, такъ и въ твердомъ состояніи.

Фиг. 18.

Для первыхъ трехъ кривыхъ  $\alpha_1 > \alpha_2$ , т. е. вѣтви *liquidus'a* и *solidus'a* расходятся, поэтому нарастаніе кристалловъ въ теченіе процесса

затвердѣванія  $bc$  количественно уменьшается. Слѣдствіемъ этого является: ясно выраженное начало затвердѣванія (точка  $b$ ), выпуклый относительно оси  $z$  переломъ кривой ( $bc$ ) и мало замѣтный переходъ перелома  $bc$  въ кривую  $ck$ .

Кривая IV отвѣчаетъ равенству угловъ  $\alpha_1$  и  $\alpha_2$  и поэтому переломъ  $bc$  получается на ней въ видѣ *прямой* линіи.

Наконецъ, кривыя V—VII отвѣчаютъ области діаграммы, гдѣ вѣтви *liquidus*'а и *solidus*'а сходятся, т. е. углы  $\alpha_1 < \alpha_2$ , а слѣдовательно нарастаніе кристалловъ по мѣрѣ пониженія температуры возрастаетъ. Переломы  $bc$  на кривыхъ получаются вогнутыми къ оси  $z$ . Точка начала затвердѣванія  $b$  обозначается на кривыхъ охлажденія *неясно*, наоборотъ, конецъ затвердѣванія (точка  $c$ ) отмѣчается болѣе *рѣзко*, чѣмъ въ кривыхъ первой категоріи.

Изъ изложенного слѣдуетъ, что опредѣленіе *solidus*'а при помощи кривыхъ охлажденія возможно только въ такихъ участкахъ діаграммы состоянія, гдѣ кривыя *liquidus*'а и *solidus*'а сходятся. Если эти кривыя *расходятся*, то теплота кристаллизациіи въ послѣдніе моменты затвердѣванія такъ незначительна, что переломъ  $bc$  *незамѣтно* переходитъ въ кривую  $ck$ , и точка конца затвердѣванія *не получается* отчетливо.

Въ желѣзо-углерод-сплавахъ *liquidus* и *solidus* являются расходящимися линіями, и поэтому совершенно понятно, что на кривыхъ I—IV фигуры 6 совершенно нѣтъ точекъ конца затвердѣванія.

Профес. *Tammann*<sup>\*)</sup> предлагаетъ для опредѣленія конца затвердѣванія по кривымъ охлажденія пользоваться точкой перегиба кривой, которая получается при переходѣ выпуклой части  $bc$  въ вогнутую  $ck$  и несомнѣнно лежитъ близко отъ теоретического конца затвердѣванія. Но такъ какъ этотъ перегибъ, согласно указаніямъ *Tammann*'а всегда лежитъ на кривой немного *ниже* конца затвердѣванія, то онъ предлагаетъ уменьшать наблюдаемый на кривыхъ интервалъ кристаллизациіи (отъ начала кристаллизациіи до точки перегиба) на *нѣкоторую* величину  $\Delta J$ , опредѣляемую изъ слѣдующей формулы:

$$\Delta J = \frac{1}{100} [(100 - x) J_A + x J_B],$$

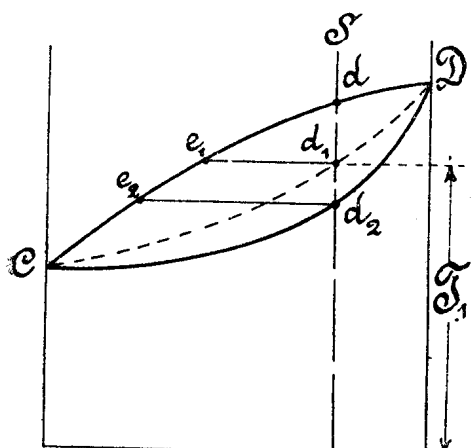
въ которому:  $J_A$  и  $J_B$  обозначаютъ кажущіеся интервалы затвердѣванія чистыхъ компонентовъ и  $x$ —составъ сплава въ вѣсовыхъ частяхъ элемента  $B$ .

Однако способъ *Tammann*'а въ приложеніи къ желѣзо-углерод-сплавамъ непримѣнимъ, потому что для нихъ неизвѣстенъ интервалъ затвердѣванія карбида желѣза.

<sup>\*)</sup> см. (12) стр. 292

Непримѣнимъ этотъ способъ, по мнѣнію автора, и еще потому, что вообще на кривыхъ охлажденія невозможно точно опредѣлить точку перегиба: при определеніи температуры конца затвердѣванія по точкѣ перегиба легко сдѣлать ошибку въ десятки градусовъ. Кромѣ того, положеніе точки перегиба на кривой охлажденія зависитъ, по мнѣнію автора\*), отъ взаимоотношенія между массой изслѣдуемаго сплава и массой тигля и печи, въ которыхъ производятся опыты, и эта точка можетъ менять свое положеніе въ зависимости отъ условій опыта, при чмъ точка перегиба по изслѣдованію автора, лежитъ всегда *выше* конца затвердѣванія сплава.

Къ вышезложеному о непримѣнимости термического анализа для отысканія *solidus*'а  $AE$  въ діаграммѣ желѣзо-углерод-сплавовъ необходимо еще добавить, что кривая  $AE$ , если бы ее и можно было отыскать при помощи термического анализа, соотвѣтствовала бы концу затвердѣванія сплавовъ только въ томъ случаѣ, если процессъ затвердѣванія протекаетъ *идеально*, т. е. когда этотъ процессъ совершается настолько медленно, что выдѣляющіеся смѣшанные кристаллы имѣютъ достаточно времени, чтобы принять составъ, соотвѣтствующій равновѣсному состоянію между ними и остающейся жидкой фазой сплава. Для установленія такого равновѣсія требуется особенно медленное охлажденіе. При снятіи же кривыхъ охлажденія нельзя уменьшить скорость охлажденія ниже некоторой определенной величины, иначе на кривыхъ охлажденія не могутъ быть обнаружены критическія точки. Такимъ образомъ, идеальная условія охлажденія изъ чисто экспериментальныхъ соображеній никогда въ дѣйствительности не могутъ быть выполнены, въ результатаѣ чего температура конца кри-



Фиг. 19.

сталлизациі, опредѣляемая по кривымъ охлажденія, будетъ *ниже* той, при которой кристаллизация *теоретически должна* окончиться. Послѣднее находитъ себѣ объясненіе въ слѣдующемъ.

На фиг. 19 линія  $CdD$  представляетъ *liquidus* системы  $C + D^{**}$ ). Пунктирная линія  $Cd_1D$  — *solidus* въ его теоретическомъ положеніи. При идеальныхъ условіяхъ охлажденія какой-нибудь сплавъ  $S$  долженъ окончательно затвердѣть въ точкѣ  $d_1$ , и составъ жидкой фазы

\* ) Изслѣдованіе автора: „Теоретическая и практическая кривые охлажденія“ подготовляется къ печати.

\*\*) См. (14) стр. 287.

сплава въ моментъ окончанія затвердѣванія опредѣлится точкой  $c_1$ . Но вслѣдствіе недостаточно медленнаго охлажденія все теоретически необходимое количество кристалловъ не успѣетъ въ интервалѣ  $d - d_1$  выдѣлиться, а первоначально выдѣлившіеся кристаллы не уравняютъ свой составъ съ кристаллами послѣдняго момента затвердѣванія, въ разультатѣ чего при температурѣ  $T_1$  останется нѣкоторое количество жидкой фазы и процессъ затвердѣванія не окончится въ точкѣ  $d_1$  а будетъ продолжаться до нѣкоторой точки  $d_2$ . Иными словами, *solidus Cd<sub>2</sub>D*, полученный экспериментально на основаніи кривыхъ охлажденія, будетъ выпуклѣе теоретического и будетъ указывать температуры окончанія затвердѣванія *ниже тѣхъ*, которыя должны быть при идеальныхъ условіяхъ охлажденія.

Всѣ вышеуказанныя соображенія относительно непримѣнимости термического метода для опредѣленія *solidus'a AE* побудили автора воспользоваться для послѣдней цѣли металлографическимъ методомъ — *методомъ закалки*, позволяющимъ путемъ быстраго охлажденія фиксировать строеніе сплавовъ при высокихъ температурахъ и изучать его подъ микроскопомъ.

## II. Методъ закалки.

Методъ закалки для опредѣленія конца затвердѣванія сплавовъ, образующихъ твердые растворы, впервые успѣшино примѣнили *Heycock* и *Neville*<sup>\*)</sup>) при изученіи сплавовъ мѣди и олова. Имъ пользовались также *Scherpherd*<sup>\*\*) (Cu + Zn), Carpenter и Edwards<sup>\*\*\*)</sup> (Cu + Al) и *Guillet*<sup>\*\*\*\*)</sup> (сплавы аллюминія), такъ какъ во всѣхъ этихъ случаяхъ кривыя охлажденія не давали достаточныхъ данныхъ для построенія *solidus'a*.</sup>

Возможность опредѣлить положеніе *solidus'a* при помощи метода закалки основана на слѣдующемъ. Очень быстрое охлажденіе задерживаетъ измѣненія структуры, происходящія при медленномъ охлажденіи. Такимъ образомъ, закаливъ испытуемый образецъ при какой-нибудь высокой температурѣ, можно получить ту его структуру, которую образецъ имѣлъ при температурѣ закалки. Въ твердыхъ растворахъ плавленіе происходитъ въ опредѣленномъ интервалѣ температуръ. Начало плавленія характеризуется либо оплавленіемъ кристалловъ по-

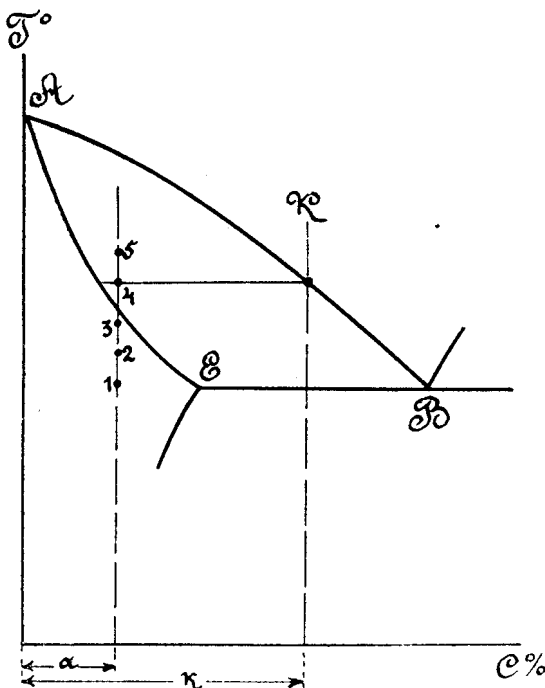
<sup>\*)</sup> *Heycock* и *Neville. Phylos. Trans.* 1903 (202) стр. 1.

<sup>\*\*) Scherpherd. Journ. of phys. Chem. VII (1904) стр. 421.</sup>

<sup>\*\*\*) Carpenter и Edwards. 2 Raport au Comit  des alliages 1907, янв.</sup>

<sup>\*\*\*\*) Guillet. Revue de M tall. 1906 стр. 567.</sup>

поверхности, либо появленіемъ капель жидкости въ самихъ кристаллахъ. Поэтому, если произвести рядъ послѣдовательныхъ закалокъ (фиг. 20) при постепенно повышающейся температурѣ, нагрѣвая образецъ при каждой данной температурѣ достаточное время для того,



Фиг. 20.

чтобы процессъ плавленія могъ начаться, то всегда можно найти двѣ такія температуры (точки 3 и 4), при которыхъ: въ точкѣ 3 плавленіе еще не началось, а въ точкѣ 4—процессъ плавленія ясно обнаружился. Тогда температура начала плавленія будетъ находиться между точками 3 и 4, или, другими словами, между этими точками пройдетъ линія *solidus'a*.

Этотъ методъ имѣеть преимущество передъ термическимъ методомъ

въ томъ отношеніи, что онъ не даетъ ложнаго положенія *solidus'a*, какъ это было указано при разсмотрѣніи фиг. 19. Дѣйствительно, если сплавъ, отъ котораго взятъ испытуемый образецъ, охлаждался недостаточно медленно, вслѣдствіе чего либо смѣшанные кристаллы получились неоднороднаго состава, либо въ сплавахъ лѣвѣе точки *E* (фиг. 20) появилась эвтектика *B*, то при достаточное продолжительномъ нагрѣвѣ образца во время опыта закалки, составъ смѣшанныхъ кристалловъ, выравниается, эвтектика разсосется, и структурно-составляющія сплава будутъ находиться при температурѣ закалки въ томъ близкомъ къ теоретическому равновѣсіи, которое необходимо для определенія начала плавленія и точнаго построенія линіи *AE*.

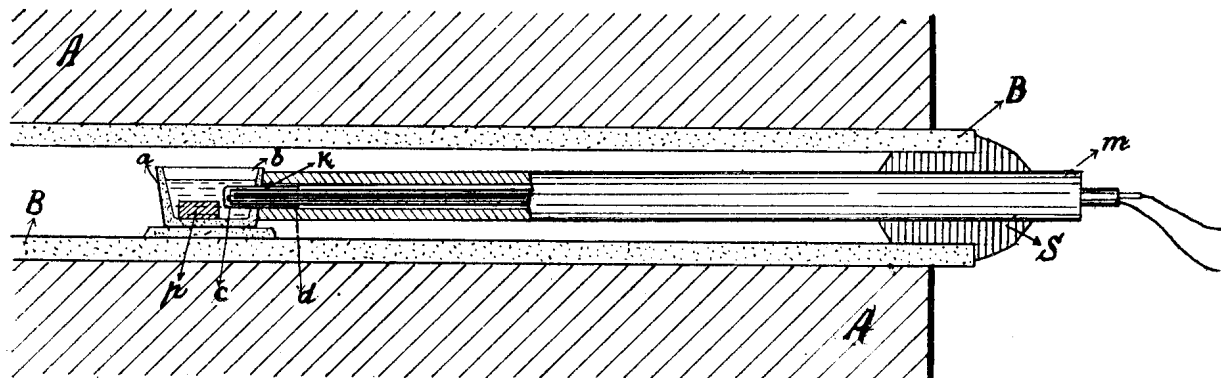
Опыты закалки можно было бы производить и инымъ путемъ, приближающимъ ихъ болѣе къ способу определенія *solidus'a* при помощи кривыхъ охлажденія, а именно: можно было бы нагрѣвать испытуемый образецъ до расплавленія и затѣмъ очень медленно охлаждать его до температуры закалки.

Съ теоретической точки зрењія нѣтъ разницы между этими двумя способами, преслѣдующими одну и ту же цѣль—полученіе равновѣснаго состоянія сплава въ моментъ закалки, потому что совершено безразлично, какъ установится равновѣсіе системы при данной температурѣ, путемъ ли постепенного нагрѣванія образца до этой

температуры, или посредствомъ медленного охлажденія его отъ нѣкоторой высшей температуры. Но практически второй способъ предстаетъ непреодолимыя экспериментальныя трудности: для него требуется высокая первоначальная температура нагрѣва, при которой трудно избѣжать измѣненія состава образца отъ окисленія. Для сплавовъ съ незначительнымъ содержаніемъ углерода такой высокой температуры нельзя достичь въ горизонтальныхъ печахъ *Heraeus'a*, которыми приходится пользоваться для опытовъ закалки, такъ какъ печи другихъ системъ по своей конструкціи не позволяютъ обставить опыты закалки всѣми мѣрами предосгорожности, необходимыми для предотвращенія измѣненія состава образца и охлажденія его во время закалки. Кроме того, невозможно практически осуществить идеально медленное и во всѣхъ опытахъ равномѣрное охлажденіе образца до температуры закалки, а несоблюденіе послѣдняго условія лишаетъ этотъ способъ закалки всякаго его значенія.

Наоборотъ, первый способъ закалки не представляетъ затрудненій для своего практическаго осуществленія: въ печахъ *Heraeus'a* легко точно установить температуру и держать ее долгое время постоянной. Когда температура печи установилась, въ нее можно быстро внести испытуемый образецъ, подержать его въ печи при постоянной температурѣ определенное время и затѣмъ быстро закалить.

1) *Опыты закалки* были примѣнены авторомъ впервые при изученіи процесса затвердѣванія чугуновъ въ связи съ графитовыдѣленіемъ и дали удовлетворительные результаты. Однако принятый ранѣе порядокъ производства опытовъ\*) въ настоящей работе несколько видоизмѣненъ съ цѣлью увеличить точность определенія температуры закалки и предотвратить случайное окисленіе образцовъ.



Фиг. 21.

Устройство лодочки для опытовъ закалки представлено на фиг. 21. На ней буквою *A* схематически изображена часть горизонтальной

\*) См. (20) и (15)

электрической печи *Heraeus'a*. *B*—труба изъ глазированнаго фарфора, вставленная въ печь для предохраненія нагрѣвающаго цилиндра печи отъ случайныхъ поврежденій и для возможности производить нагрѣвъ образцовъ въ атмосферѣ азота. Лодочка *ab*—размѣромъ:  $12 \times 12 \times 17$  mm слѣдана изъ платины; съ правой стороны въ нее впаяна платиновая трубка *cd*, лѣвый конецъ которой *c* запаянъ. Въ эту трубку плотно входитъ предохранительная трубка термоэлемента, внешній діаметръ которой равенъ  $d_1 = 3$  mm. и внутренній  $-d_2 = 1,2$  mm. Въ нее вставленъ термоэлементъ *Le Chatelier*, платиновая проволока котораго помѣщена, во внутреннюю изолирующую трубку размѣра:  $d'_1 = 0,8$  mm.  $d'_2 = 0,4$  mm. Конецъ внешней предохранительной трубки не запаянъ и такимъ образомъ спай термоэлемента остается открытымъ, что въ большой степени повышаетъ точность измѣренія температуръ. Концы проволокъ термоэлемента соединены съ милливольтметромъ *Simens* и *Halscke*. На выступающей правый конецъ *d* платиновой трубки плотно надѣта фарфоровая толстостѣнная трубка *m*, исполняющая роль ручки для держанія платиновой лодочки; на концѣ трубки *m* намотана изъ азбестового шнура пробка *S* для правильной установки лодочки въ серединѣ печи. Лодочка съ внутренней стороны обмазана слоемъ магнезіи.

Для предотвращенія окисленія образцовъ (пробъ), нагрѣвъ ихъ производился подъ прикрытиемъ слоя расплавленной соли. Для опытовъ въ зависимости отъ температуры закалки примѣнялись:

<i>KCl</i>	температура плавленія*)	$T = 790^\circ$
<i>NaCl</i>	"	$T = 820^\circ$
<i>BaCl<sub>2</sub></i>	"	$T = 960^\circ$ .

Опыты закалки велись слѣдующимъ образомъ: въ печь, нагрѣтую до опредѣленной температуры, осторожно вводилась лодочка, наполненная соответствующею солью. Когда соль расплавлялась и температура  $T^\circ$  печи точно устанавливалась, лодочка вынималась изъ печи, въ нее помѣщалась проба *p* (фиг. 21), и лодочка вдвигалась обратно. Во время этой манипуляціи температура лодочки опускалась на  $100^\circ - 200^\circ$ , затѣмъ въ 3—4 минуты достигала прежней величины  $T^\circ$ . Пробы при этой *постоянной* температурѣ продерживались въ печи въ теченіе 7 минутъ, затѣмъ лодочка быстро вынималась и содержимое ея (проба и соль) опрокидывалось въ сосудъ съ водою ( $6^\circ C^{**}$ ), стоящей непосредственно у отверстія печи. Сосудъ для воды представлялъ изъ

\*) *Physikalisch-Chemische Tabellen v. Landolt-Börnstein* 1907 г.

\*\*) Температура воды въ водопроводѣ зимою.

себя цилиндръ въ 10 см. діаметромъ и въ 1 м. высотою. Общее расположение приборовъ во время опытовъ закалки изображено на фиг. 22.

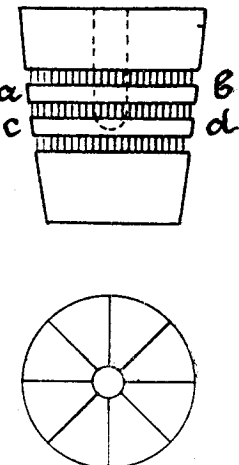
Для полученія быстрой и полной закалки необходимо, чтобы пробы были возможно наименьшихъ размѣровъ, достаточныхъ лишь для изготошенія шлифа и притомъ пробы такой формы, которая при данномъ объемѣ представляетъ наибольшую поверхность охлажденія\*).

Пробы въ настоящихъ опытахъ вѣсили около 1 г. Онѣ получались изъ корольковъ I—VII отрѣзаніемъ отъ нихъ на токарномъ станкѣ двухъ шайбъ: *ab* и *cd* (фиг. 23) толщиною въ 2 mm. и разрѣзаніемъ этихъ шайбъ на 8 частей. Стружки, получавшіяся при отрѣзаніи шайбъ (заштрихованыя части на фиг. 23), шли для опредѣленія химическаго состава корольковъ.

Для проверки пригодности и точности предложенаго способа измѣренія температуры закалки пробъ, а также для нахожденія времени нагрѣва пробъ, необходимаго для установленія равновѣсія, были продѣланы предварительные опыты.

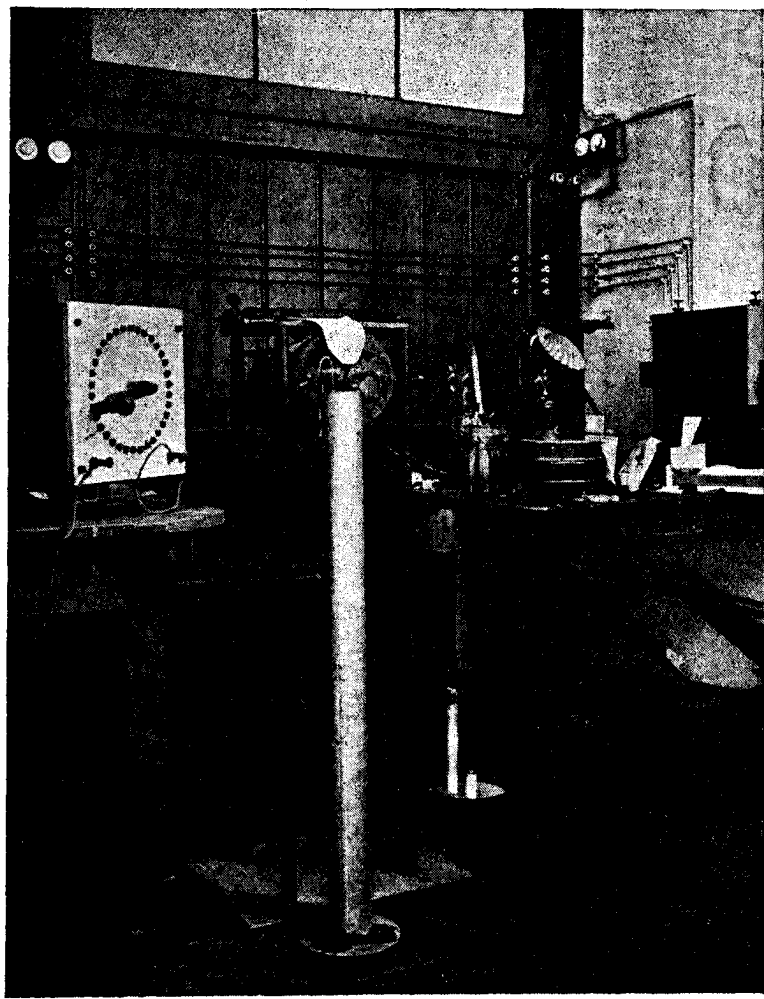
Устройство лодочки гарантировало, что температура пробы соотвѣтствуетъ температурѣ расплавленной соли; температура же соли измѣрялась термоэлементомъ, спай котораго находился у самаго конца платиновой трубочки *cd*, окруженнай расплавленной солью. Возникалъ вопросъ, не успѣваетъ ли пробы во время выниманія лодочки изъ печи (до момента погруженія пробы въ воду) немножко охладиться. Наблюденія за стрѣлкой милливольтметра показали, что во время этой операции, продолжавшейся менѣе  $\frac{1}{2}$  сек., стрѣлка не давала колебанія. Это должно служить доказательствомъ, что охлажденія всего закалочнаго прибора, а слѣдовательно и пробы,—охлажденія, которое могъ бы зарегистрировать примѣнявшійся для опытовъ точной милливольтметръ, не было, слѣдовательно, закалка производилась *практически точно* при измѣряемой термоэлементомъ температурѣ.

Благодаря нагрѣву пробы въ средѣ расплавленной соли, а также пропусканію струи азота въ трубку *B* (фиг. 21) не имѣло также мѣста окисленіе, т. е. измѣненіе состава пробы, что было провѣreno



Фиг. 23.

\*<sup>1</sup>) Примѣненіе большихъ образцовъ для закалки, (работы *Heup'a* и *Bayer'a* и *Goerens'a*), имѣеть своимъ слѣдствіемъ частичный отпускъ во время самой закалки, сопровождающійся появленіемъ въ закаленныхъ образцахъ тростита. Троститъ, свидѣтельствуя о неполной закалкѣ, затемняетъ и искажаетъ строеніе металла, которое послѣдній долженъ бы имѣть при данной температурѣ при условіи идеально быстрой закалки. Въ опытахъ закалки автора троститовая структура не наблюдалась.



Фиг. 22.

какъ анализомъ пробъ послѣ закалки, такъ и микроскопическимъ изслѣдованіемъ шлифованной поверхности нѣсколькихъ пробъ послѣ закалки.

На основаніи предшествующихъ работъ автора продолжительность нагрѣва пробъ при температурѣ закалки была принята въ 7 минутъ.

Для проверки, является ли семиминутный нагрѣвъ достаточнымъ для установлія структурнаго равновѣсія пробъ, были сдѣланы слѣдующіе опыты. Послѣ того, какъ для сплава IV (при 7-минутномъ нагрѣвѣ) была установлена температура плавленія  $T_l$  и ниже ея лежащая температура  $T_s$ , при которой проба не начинала плавиться, былъ продѣланъ рядъ закалокъ при температурахъ  $T_l$  и  $T_s$  съ нагрѣвомъ пробъ въ теченіе 1, 3, 5, 7, 10, 20 и 30 минутъ. Эти опыты показали, что при температурѣ  $T_s$  начало плавленія не наступило и послѣ получасового нагрѣва пробы и, наоборотъ, при температурѣ  $T_l$  процессъ плавленія обнаруживался послѣ трехъ минутъ нагрѣва и вполнѣ устанавливался послѣ 5 минутъ. Принятый нагрѣвъ въ 7 минутъ являлся такимъ образомъ вполнѣ достаточнымъ, такъ какъ нагрѣвы болѣе продолжительные никакихъ измѣненій въ строеніе пробы не вносили.

Подобной же проверкѣ съ продолжительностью въ 15 минутъ были одвергнуты при температурахъ  $T_l$  и  $T_s$  и остальные сплавы.

Для опытовъ закалки былъ взятъ новый термоэлементъ *Le Chatelier* съ свидѣтельствомъ отъ Королевской Физической Лабораторіи въ Берлинѣ. Въ теченіе опытовъ послѣ каждыхъ пяти закалокъ термоэлементъ повѣрялся на золото (температура плавленія  $1063^{\circ}$ ). Соответствующія корректуры вносились въ отчитываемыя температуры, а также принималась во вниманіе температура холоднаго спая термоэлемента, помѣщенного въ стеклянныхъ трубкахъ въ проточную воду.

При соблюденіи всѣхъ вышеуказанныхъ предосторожностей были произведены 35 опытовъ закалки, результаты которыхъ сведены въ слѣдующую таблицу II: См. табл. II на 28 стр.

*Примѣчаніе:* Какъ показываетъ нумерація пробъ, первая серія опытовъ была произведена надъ сплавомъ IV, при чёмъ начальная температура закалки была выбрана выше теоретической линіи *AE* (ср. фиг. 4). Полученные результаты были проверены и подтверждены опытами серіи II. Затѣмъ были произведены опыты серіи III и IV. Опытовъ этихъ четырехъ серій было достаточно для определенія положенія *solidus'a AE*, но для болѣе точнаго нахожденія выпуклости *solidus'a* былъ приготовленъ сплавъ X съ  $0,827\%$ .

ТАБЛИЦА II.

Серия №	Проба №	То Температура чтобы въ моментъ закалки.	Фигура №	П р и м ъ ч а н і я .	
				Снаружи оплавлена, подъ микроскопомъ частичное плавление.	Частичное плавление только подъ микроскопомъ.
Сплавъ IV $1,7620\%$ С.	1	1227	25	Снаружи оплавлена, подъ микроскопомъ частичное плавление.	Частичное плавление только подъ микроскопомъ.
	2	1204			
	3	1185			
	4	1167			
	5	1153			
	6	1143			
	7	<b>1140</b>			
	8	<b>1130</b>			
	9	1120			
Сплавъ III $1,6320\%$ С.	10	1218	27	Снаружи оплавленъ, подъ микроскопомъ частичное плавление.	Плавление подъ микроскопомъ.
	11	1198			
	12	1172			
	13	1154			
	14	<b>1139</b>			
	15	<b>1130</b>			
Сплавъ II $1,0710\%$ С.	16	1310	30	Снаружи оплавлена, подъ микроскопамъ частичное плавление.	Частичное плавление только подъ микроскопомъ.
	17	1300			
	18	1285			
	19	1265			
	20	1243			
	21	1228			
	22	1207			
	23	<b>1186</b>			
	24	<b>1170</b>			
	25	1150			
Сплавъ I $0,5770\%$ С.	26	1130	29	Слѣды процесса плавленія.	Плавленія вѣтъ.
Сплавъ X $0,8270\%$ С.	27	1365	34	Снаружи оплавлена.	Плавление подъ микроскопомъ.
	28	1345			
	29	<b>1318</b>			
	30	<b>1290</b>			
	31	1270			
V	32	1248		Плавление подъ микроскопомъ.	Слѣды процесса плавленія.
	33	<b>1228</b>			
	34	<b>1208</b>			
	35	1186			

*C*, и съ этимъ сплавомъ было произведено еще четыре опыта серіи V.

2) *Микроскопическое изслѣдованіе*. Въ пробахъ, температура закалки которыхъ лежала значительно выше линіи *AE*, процессъ плавленія можно было установить по внѣшнему виду пробъ, такъ какъ поверхность ихъ представляла совершенно ясные слѣды наружного оплавленія (пробы № 1, 10, 16 и 27.) Въ остальныхъ пробахъ наружный осмотръ не давалъ заключенія о началѣ процесса плавленія; для установления его всѣ пробы были отшлифованы, протравлены 4 % расстворомъ азотной кислоты въ амильялкоголѣ и изслѣдованы подъ микроскопомъ. Это изслѣдованіе дало возможность точ о установить начало процесса плавленія и показало, что плавленіе смѣшанныхъ кристалловъ совершается какъ съ поверхности, такъ и въ толщѣ ихъ. Въ послѣднемъ случаѣ возникаютъ особья *точки* или *центры плавленія*, которые, увеличиваясь и нарастая въ радиальномъ направлениі, образуютъ капли. Расплавленныя части пробъ представляютъ очертаніе разливающейся жидкости, имѣютъ въ большинствѣ случаевъ эвтектическую структуру и поэтому совершенно ясно отличаются отъ еще нерасплавившагося металла.

Нѣкоторые наиболѣе характерные примѣры строенія пробъ, до и послѣ начала процесса плавленія, представлены на фиг. 24—34 (фот. таблицы III и IV). Фиг. 24 представляетъ структуру пробы № 9, закаленной при 1120°. Шлифъ состоитъ изъ большихъ кристалловъ (аустенита), пронизанныхъ бѣлыми ланцетовидными включеніями (мартенсита). Между кристаллами аустенита наблюдаются трещины (черныя полосы на фиг. 24), возникшія вслѣдствіе быстрой закалки. Строеніе пробы № 9 характерно для стали, быстро закаленной при высокой температурѣ. Никакихъ признаковъ процесса плавленія на фиг. 24 нетъ. Фиг. 25 представляетъ структуру той же пробы послѣ закалки при 1167°. На ней совершенно ясно выраженъ процессъ плавленія смѣшанныхъ кристалловъ (аустенита). Съ лѣвой стороны видна вертикально расположенная полоса эвтектическаго вида. По своему строенію (эвтектика) и по внѣшнему очертанію она несомнѣнно представляеть расплавившуюся часть шлифа. Въ серединѣ фиг. 25 и немнogo ниже середины видны два центра плавленія. Правый нижній указываетъ радиальное распространеніе процесса плавленія въ толщѣ кристалловъ; полоса слѣва—оплавленіе кристалловъ съ поверхности (*междукристалльное плавленіе*). Фиг. 25 ясно доказываетъ, что при температурѣ въ 1167°, т. е. при температурѣ лежащей ниже теоретического *solidus'a AE*, процессъ плавленія уже начался.

Структура фиг. 26 принадлежитъ пробѣ № 15, закаленной до начала процесса плавленія ( $T$  зак. =  $1130^{\circ}$ ) и представляетъ изъ себя переходную стадію отъ аустенита къ мартенситу. На фиг. 27 изображено строеніе той же пробы № 15 послѣ закалки при  $1154^{\circ}$  (значительно ниже теоретической линіи  $AE$ ). Въ центрѣ микрофотографіи находится ясно очерченное, отличающееся отъ структуры остального поля шлифа, свѣтлое включение. Такія включения наблюдаются по всему шлифу. Очертаніе этого включения характерно для жидкаго металла. При увеличеніи въ 800 разъ (фиг. 28) строеніе включения—эвтектическое. Это показываетъ, что включение представляетъ собой расплавившуюся часть пробы. Такимъ образомъ, фиг. 27 и 28 доказываютъ, что при температурѣ закалки въ  $1154^{\circ}$  процессъ плавленія, въ видѣ поверхностнаго оплавленія кристалловъ, уже начался.

Фиг. 29 изображаетъ строеніе пробы № 25, закаленной передъ началомъ процесса плавленія при температурѣ  $1150^{\circ}$ . Фиг. 30 представляетъ строеніе той же пробы, закаленной при  $1228^{\circ}$ . На послѣдней видны четыре островка бѣлаго цвѣта, по своимъ очертаніямъ несомнѣнно принадлежащіе расплавившемуся металлу. Строеніе этихъ островковъ не представляется, однако, эвтектическимъ. Характернымъ въ нихъ является бахромовидное очертаніе контура, которое наблюдается какъ на фиг. 30, такъ и на слѣдующихъ двухъ фиг. 31 и 32, изображающихъ строеніе пробы № 29, закаленной при  $1318^{\circ}$ . Бахромовидные края островка особенно ясны на послѣдней фиг., снятой при увеличеніи въ 600 разъ. Это явленіе въ связи съ отсутствиемъ эвтектическаго строенія островковъ находитъ себѣ объясненіе въ слѣдующемъ: процессъ плавленія, какъ это было указано выше, состоитъ въ томъ, что сплавъ опредѣленного состава распадается на кристаллы съ меньшимъ содержаніемъ углерода и жидкую фазу съ большимъ содержаніемъ углерода, чѣмъ у сплава.

Это распаденіе твердаго раствора совершается вслѣдствіе диффузіи не моментально; проявляясь преимущественно съ поверхности кристалловъ, оно распространяется внутрь ихъ постепенно. Поэтому въ плоскостяхъ спайности кристалловъ появляются первыя капли жидкости, а сами кристаллы съ поверхности становятся бѣднѣе углеродомъ.

Такимъ образомъ, какой-нибудь сплавъ съ  $a\%$  углерода (фиг. 20) при нѣкоторой температурѣ 4 выдѣлитъ жидкую фазу состава  $k\%$  углерода. При быстромъ охлажденіи (при закалкѣ) жидкая фаза не успѣетъ разсосаться твердыми кристаллами и потому будетъ затвердѣвать такъ, какъ затвердѣвалъ бы сплавъ  $K$ , т. е. будетъ выдѣлять

смѣшанные кристаллы, приближаясь сама къ эвтектическому составу *B*. Этотъ прѣцессъ затвердѣванія совершается очень быстро и настолько быстро, что его, какъ это показали опыты, не можетъ предотвратить и закалка. Выдѣляющиеся въ жидкой фазѣ смѣшанные кристаллики, а равнымъ образомъ и кристаллики эвтектики притягиваются окружающими ихъ мощными кристаллами твердаго металла и пристаютъ къ послѣднимъ, вслѣдствіе чего микроскопически маленькая капля жидкости теряетъ эвтектическую структуру, а края ея, нося слѣды перемѣщенія кристалловъ, становятся бахромовидными.

Если это объясненіе сираведливо, то застывшая капля должна представлять по своей структурѣ вторую составляющую эвтектику, т. е. цементитъ, который по теоріи сплавовъ не можетъ появляться *какъ структурно составляющая* въ сплавахъ съ содержаніемъ углерода меньшимъ, чѣмъ  $0,9\%$ .

Для проверки высказаннаго предположенія о природѣ бѣлыхъ островковъ, видимыхъ на фигурахъ 30, 31 и 32, все пробы на которыхъ такие островки были обнаружены, подвергались травленію специальнымъ для цементита реактивомъ: пикратомъ натрія,\*<sup>\*)</sup> который окрашиваетъ цементитъ въ чернокоричневый цветъ. На фиг. 33 представлены снимки шлифовъ фиг. 30 и 31 послѣ протравки пикратомъ натрія. На ней ясно видно, что упомянутые островки, приняли черную окраску<sup>\*\*)</sup>). Это является доказательствомъ, что островки состоять изъ цементита. Появленіе цементита въ сплавахъ съ меньшимъ, чѣмъ  $0,9\%$ , содержаніемъ углерода есть результатъ нарушенія правильнаго хода процесса затвердѣванія вслѣдствіе закалки.

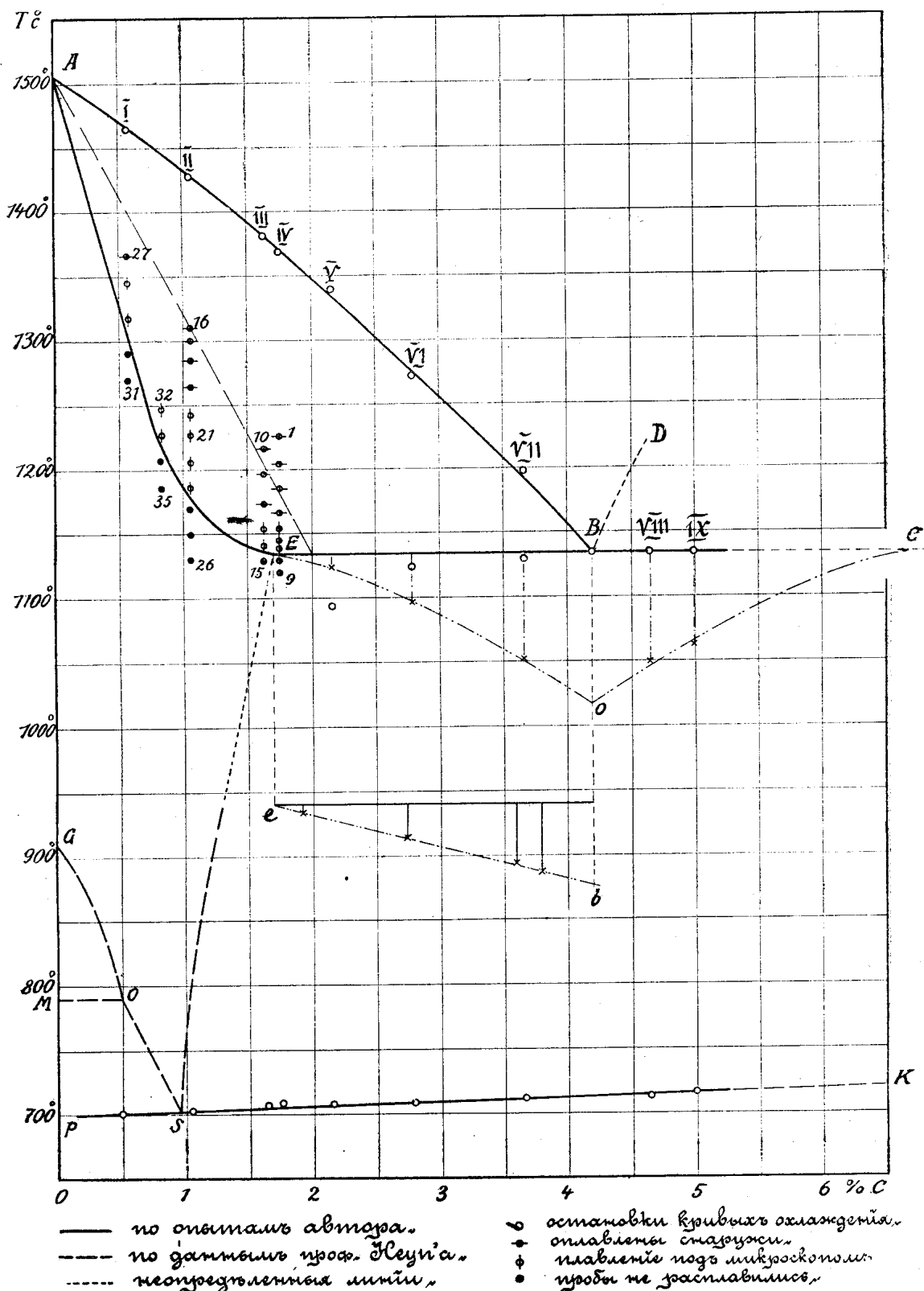
Фиг. 32 и 34 представляютъ наглядное доказательство *теоріи образования жидкой фазы на счетъ углерода смѣшанныхъ кристалловъ*: на фиг. 32 островокъ расплавившагося металла окруженъ свѣтлой каймой бѣднаго углеродомъ желѣза. Еще яснѣе это видно на фиг. 34, на которой сфотографировано такое мѣсто шлифа, въ которомъ процессъ плавленія только начинается: кристаллы по поверхности обезуглерожены, и между ними образуются участки раздробленныхъ кристалличковъ, которые въ дальнѣйшемъ плавятся.

3) *Діаграмма состоянія желеzо-углерод-сплавовъ*. На основаніи кривыхъ охлажденія фиг. 6 и результатовъ опытовъ закалки построена діаграмма состоянія желеzо-углерод-сплавовъ, изображенная на фиг. 35.

<sup>\*</sup>) См. (17) стр. 119.

<sup>\*\*)</sup>). На правой части фиг. 33 удалось сфотографировать точно середину фиг. 31.

Сплошные линии диаграммы представляютъ результаты опытовъ автора. Линии штрихового пунктира проведены по даннымъ проф. Heyn'a (21)



Фиг. 35.

и пунктиръ мелкими черточками представляетъ линии экспериментально еще неустановленные.

Для точки плавленія чистаго желяза принята на діаграммѣ температура въ  $1505^{\circ}C$ , согласно даннымъ Carpenter'a<sup>(22)</sup> и Müller'a<sup>(23)</sup>.

Положеніе эвтектической точки *B* провѣрено и установлено при  $4,2\%$  С. Для послѣдней цѣли авторъ получилъ отъ проф. Goerens'a сплавъ съ хорошо выраженной эвтектической структурой, изображенной на фиг. 36.

Анализъ этого сплава далъ слѣдующіе результаты:

1. 4,144      4. 4,174

2. 4,240      5. 4,213

3. 4,239      6. 4,182

въ среднемъ:  $4,194 = \infty 4,20\% C$ .

Температура эвтектической линіи *EC*, въ согласіи съ предшествующими изслѣдованіями автора, получена при  $1134^{\circ}$ .

Положеніе точки *E* установлено при  $1,70\% C$ , что значительно отличается отъ принятаго до сихъ поръ положенія точки *E* при  $2\% C$ , и приближается къ первоначальнымъ даннымъ R. Austen'a. Для перемѣщенія точки *E* влѣво служили слѣдующія основанія.

Микроскопическое изслѣдованіе сплава IV съ  $1,762\% C$  обнаружило слѣды эвтектики (см. фиг. 37 и 10), характеризующейся своеобразнымъ для эвтектики скопленіемъ пластинокъ цементита. Совершенно ясно такія эвтектическія скопленія наблюдаются въ сплавѣ V съ  $2,165\% C$  (фиг. 11), въ которомъ, согласно до сихъ поръ принимаемому положенію точки *E* при  $2\% C$ , должны были бы находиться лишь слѣды эвтектики. Однако, нахожденіе эвтектики въ этихъ сплавахъ не можетъ еще считаться достаточнымъ основаніемъ для перемѣщенія точки *E* влѣво, такъ какъ, согласно объясненію B. Roogezoom'a\*), въ сплавахъ, близкихъ къ  $2\% C$  можно иногда наблюдать эвтектику, появляющуюся вслѣдствіе недостаточно медленного охлажденія сплава: такое охлажденіе препятствуетъ выравненію состава смѣшанныхъ кристалловъ; жидкая фаза остается въ избыткѣ и можетъ наблюдаться въ такихъ сплавахъ, въ которыхъ теоретически она существовать не должна (ср. объясненіе на стр. 21 и 22 къ фиг. 19).

Однако, сплавъ съ такой эвтектикой находится въ неустойчивомъ равновѣсіи, и она необходимо должна разсосаться при нагревѣ сплава до опредѣленной температуры.

Для того чтобы решить вопросъ, является ли эвтектика въ сплавахъ съ  $2\% C$  структурно-составляющей или продуктомъ недостаточно медленного охлажденія, былъ сдѣланъ слѣдующій повѣрочный опытъ: былъ приготовленъ сплавъ съ  $2\% C$  и изъ него вырѣзанъ

\* ) См. (4) стр. 444.

плоскій шлифъ. Строение шлифа представлено на фиг. 38 и показываетъ несомнѣнное присутствіе эвтектики. Надъ одной половиной этого шлифа былъ произведенъ химическій анализъ, который далъ содержаніе углерода  $C = 2,006\%$ , а другая половина была разрѣзана на четыре части и подверглась слѣдующей термической обработкѣ. Всѣ четыре пробы были помѣщены въ печь *Heraeus'a*, нагрѣты въ струѣ азота до  $1140^\circ$  и при этой температурѣ продержаны 15 минутъ. Затѣмъ одна проба закалена, а остальные оставлены медленно охлаждаться. Черезъ 5 минутъ при температурѣ  $1135^\circ$  закалена 2-я проба, еще черезъ пять минутъ при  $1130^\circ$  закалена 3-я проба, четвертая же оставлена медленно охлаждаться вмѣстѣ съ печью. Всѣ четыре пробы показали присутствіе эвтектики въ томъ же количествѣ, въ какомъ она находится на фиг. 38, а это служитъ доказательствомъ того, что въ сплавѣ съ  $2\% C$  эвтектика является структурно составляющей, т. е. что точка *E* лежитъ лѣвѣе  $2\% C$  углерода.

Для болѣе точнаго опредѣленія положенія точки *E* былъ примѣненъ кромѣ микроскопическаго изслѣдованія и термическій методъ *Tammann'a*<sup>(24)</sup>. Со сплавовъ V, VI и VII и чугуна съ  $3,868\% C$  были сняты кривыя охлажденія. Опыты производились въ криптолевой печи *Friedrich'a*. \*)

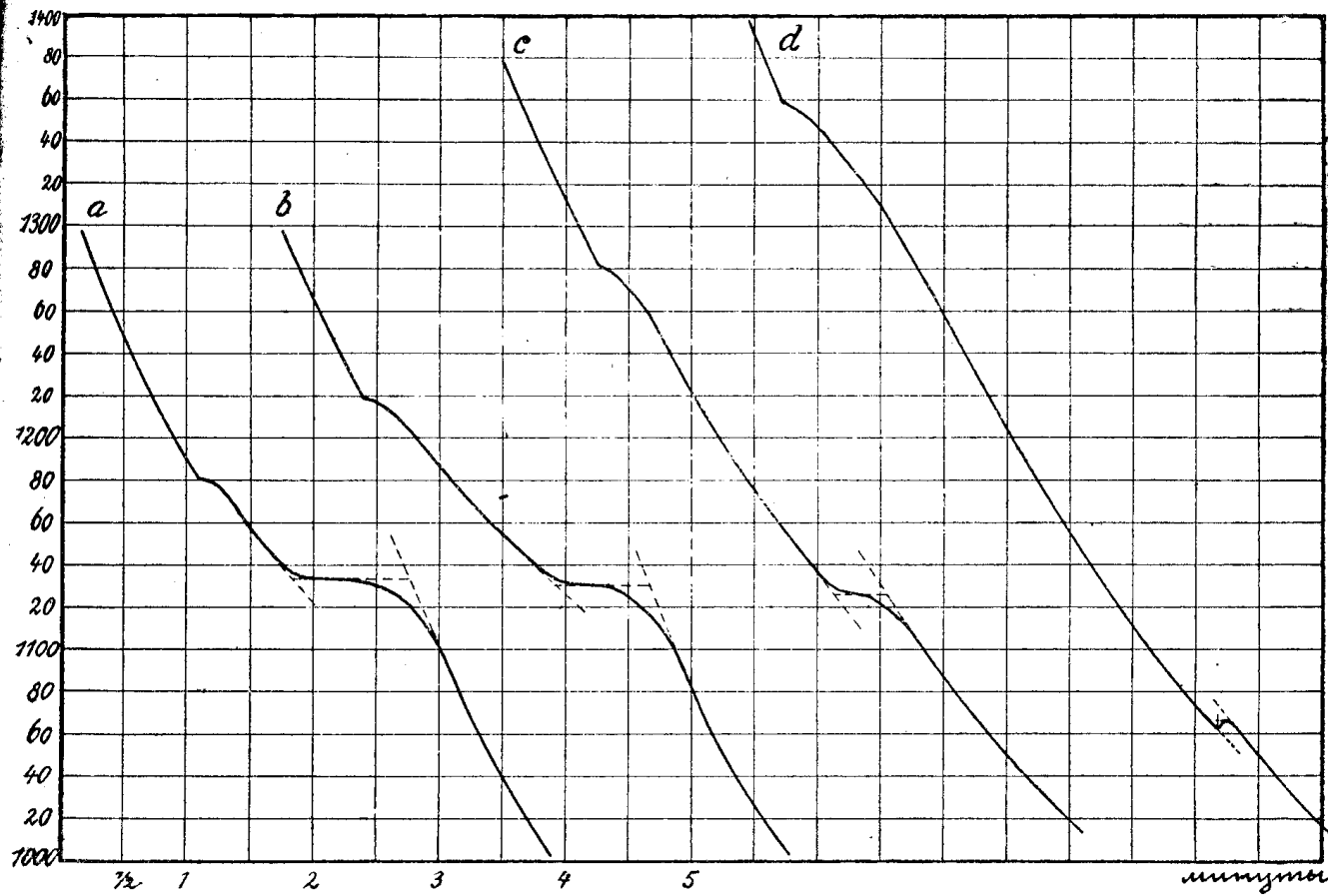
Вѣсъ корольковъ равнялся 30 gr. Для снятія кривыхъ были применены самыя тонкія предохранительныя трубки, изготавляемыя въ институтѣ проф. *Tammann'a*. Отчетъ температуры совершался черезъ каждыя 10 секундъ. Данныя этихъ опытовъ сведены въ таблицу III; кривыя схлажденія изображены на фиг. 39. При опредѣленіи продол-

ТАБЛИЦА III.

Сплавъ.	Содержаніе углерода. %	Остановки. Температура $^\circ C$ .			Продолжи- тельность эв- тектической остановки въ секундахъ.
		Начало затвердѣванія.	Эвтектика.	Эвтектоидъ ( $\text{Ar}_1$ ).	
<i>a</i>	3.801	1180	1134	706	110
<i>b</i>	3.596	1199	1130	707	92
<i>c</i>	2.742	1282	1125	708	52
<i>d</i>	1.913	1358	1066	710	13

\*) См. описание въ *Metallurgie* 1907 стр. 781 и 1908 стр. 530.

жительности эвтектической остановки кривая охлаждения были идеализированы, какъ это видно изъ фиг. 39.



Фиг. 39.

Полученные величины остановокъ нанесены въ видѣ ординатъ на фиг. 35. Соединяющая концы ординатъ прямая *be* почти точно приходитъ въ пунктъ *E* съ содержаніемъ углерода въ 1.7%.

Подобная проверка положенія точки была сдѣлана и по кривымъ охлажденія исходныхъ сплавовъ V—IX, но при пользованіи этими кривыми она является менѣе точной, такъ какъ вѣсъ сплавовъ не былъ совершенно одинаковъ, почему для полученія продолжительности эвтектическихъ остановокъ пришлось ввести соответствующую корректуру. Проведенная на фиг. 35 подъ эвтектической линіей *EC* двѣ кривые *Eo* и *oC* представляютъ измѣненіе продолжительности эвтектическихъ остановокъ сплавовъ V—IX. Кривая *Eo* показываетъ, что точка *E* несомнѣнно лежитъ лѣвѣ 2% углерода.

Результаты только что описанныхъ опытовъ и упомянутыхъ выше данныхъ микроскопического изслѣдованія послужили основаніемъ для установленія точки *E* при 1,7% углерода.

Обращаясь къ діаграммѣ фиг. 35, необходимо указать, что эвтектическая линія *EC* проведена на ней согласно теоретическимъ требованіямъ горизонтально при температурѣ  $1134^{\circ}$  хотя эвтектическія остановки на кривыхъ V, VI и VII (фиг. 6), (тоже и на кривой *d* фиг. 39) получились при болѣе низкихъ температурахъ.

Что эти остановки являются действительно эвтектическими, следует съ несомнѣнной ясностью изъ микроскопического изслѣдованія сплавовъ, принадлежащихъ упомянутымъ кривымъ: во всѣхъ сплавахъ съ такой остановкой наблюдалась эвтектика: смѣшанные кристаллы +  $Fe_3C$  (ледебуритъ); понижение же эвтектической остановки необходимо объяснить переохлажденіемъ\*), которое обнаруживается тѣмъ рѣзче, чѣмъ менѣе содержаніе углерода въ сплавѣ. Явленіе переохлажденія въ бѣлыхъ чугунахъ фактъ общезвестный. Можно думать, что такія пониженныя эвтектическія остановки были приняты *Carpenter'омъ* и *Keeling'омъ* за точки, принадлежащиа кривымъ  $aE$  и  $E'F'$  (фиг. 2).

Что касается линіи  $BD$ , то цѣлый рядъ опытовъ закалки для определенія этой линіи не далъ положительныхъ результатовъ, поэтому на діаграммѣ фиг. 35 она, какъ неизвестная, проведена пунктиромъ\*\*).

Заканчивая этимъ описание опытовъ закалки, необходимо указать, что принятый методъ закалки далъ возможность определить только неизвестную линію  $AE$ , положеніе которой установлено при значительно низшихъ температурахъ, чѣмъ это до сихъ поръ принималось. Точность сдѣланного определенія, конечно, находится въ непосредственной зависимости отъ точности измѣренія температуры закалки и отъ того, насколько удалось въ примѣненномъ методѣ достичь структурно-равновѣснаго состоянія пробъ, т. е. полной однородности смѣшанныхъ кристалловъ.

Абсолютной точности въ исполненіи обоихъ условій достичь невозможно. Практически же они были выполнены: конструкція закалочнаго аппарата гарантировала возможную точность измѣренія температуры закалки; микроскопическое изслѣдованіе пробъ показало ихъ полную однородность, а поэтому экспериментально определенная линія начала плавленія сплавовъ отъ 0% до 1,7% С должна отличаться отъ истиннаго положенія *solidus'a AE* лишь незначительно, и во всякомъ случаѣ не болѣе, чѣмъ и прочія экспериментально определенные линіи діаграммы состоянія желѣзо-углерод-сплавовъ.

Если принять во вниманіе, что существующіе сорта углеродистой стали никогда не обладаютъ теоретически необходимой однородностью структуры, то полученная авторомъ линія  $AE$  практически точно опредѣляетъ температуры начала плавленія стали. Новое пониженное положеніе линіи  $AE$  имѣеть большое практическое значеніе въ вопро-

\* ) Подобное явленіе переохлажденія наблюдалъ и *Goecke* при изслѣдованіи системы  $Fe + P$  (*Metallurgie* 5, 1908 стр. 624).

\*\*) Для нахожденія этой линіи авторомъ производятся дальнѣйшіе опыты.

съ безопаснаго нагрѣва стали, такъ какъ согласно теоріи *Stansfield'a* (25) пережогъ стали обнаруживается съ того момента, когда сталь начинаетъ плавиться, т. е. переходитъ черезъ линію *AE* въ область *AEB* діаграммы (фиг. 35).

### *B. Опыты цементации.*

I. Въ процессахъ плавленія и затвердѣванія жалѣзо-улерод-сплавовъ цементація и распаденіе карбида жалѣза играютъ важную роль, такъ какъ отъ нихъ существенно зависитъ перемѣнныій при высокихъ температурахъ составъ смѣшанныхъ кристалловъ, образующихъ основную массу стали и чугуна.

Согласно діаграммѣ состоянія жалѣзо-улерод-сплавовъ (фиг. 35) максимальное количество „улерода“, которое способно растворить въ твердомъ состояніи  $\gamma$ —жалѣзо, опредѣляется линіей *SE*. Положеніе этой линіи до сихъ поръ остается невыясненнымъ, такъ какъ въ вопросѣ о растворимости „улерода“ мнѣнія изслѣдователей расходятся въ зависимости отъ того, принимаютъ ли они двѣ діаграммы или одну діаграмму для жалѣзо-улерод-сплавовъ.

Въ первомъ случаѣ, вслѣдствіе того, что элементарный углеродъ, какъ стабильная форма, долженъ обладать меньшей растворимостью въ жалѣзѣ, чѣмъ метастабильная форма—карбидъ жалѣза, необходимо должны существовать и двѣ линіи растворимости углерода въ  $\gamma$ —желѣзѣ: *S'E'* и *SE*: первая, указывающая предѣль растворимости элементарного углерода и вторая—карбида жалѣза въ  $\gamma$ —желѣзѣ, при чѣмъ линія *S'E'*, согласно вышеуказанному, должна протекать на всемъ протяженіи лѣвѣе линіи *SE*.

Во второмъ случаѣ предполагается, что элементарный углеродъ не растворяется непосредственно въ жалѣзѣ, а образуетъ карбидъ жалѣза, который и входитъ въ твердый растворъ. При такомъ предположеніи для опредѣленія растворимости „улерода“ въ жалѣзѣ достаточно одной линіи *SE*, представляющей собою предѣль насыщенія  $\gamma$ —желѣза карбидомъ жалѣза, такъ какъ науглероживаніе жалѣза элементарнымъ углеродомъ, т. е. цементація, въ предѣлахъ температуръ отъ  $700^{\circ}$  до  $1134^{\circ}$  возможна лишь въ такой мѣрѣ, въ какой жалѣзо способно растворить образующейся во время цементаціи карбидъ жалѣза.

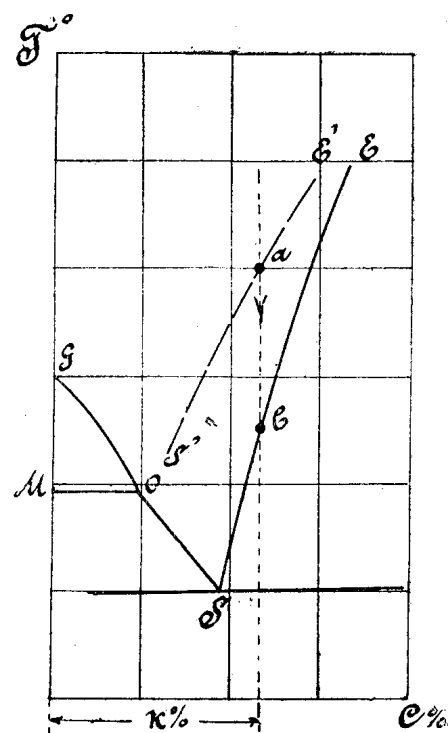
Объясненіе процесса цементаціи, основанное на теоріи „двухъ діаграммъ“, представляетъ неясности. Трудно, напримѣръ, объяснить, почему углеродъ, растворившись въ жалѣзѣ какъ таковой, выдѣляется при послѣдующемъ охлажденіи изъ раствора въ видѣ карбида жалѣза.

Проф. *Howe* \*), защитникъ рассматриваемой теоріи, считаетъ „естественнымъ“, что выдѣленіе растворенного элементарного углерода совершається въ видѣ метастабильной формы цементита. Онъ пишеть: „первоначально возникающія маленькія частички графита, которыя образуются при обратномъ выдѣленіи его изъ раствора, производятъ сильное давленіе на окружающую ихъ среду, вслѣдствіе чего\*\*) дальнѣйшее выдѣленіе углерода происходитъ уже въ формѣ цементита. Превращеніе графита въ цементитъ обозначаетъ только то, что часть элементарного углерода при нагреваніи растворяется (какъ та-ковая), а при послѣдующемъ охлажденіи снова выдѣляется въ формѣ цементита“.

Если изобразить предполагаемый *Howe* процессъ выдѣленія цементита графически, то онъ долженъ представиться въ слѣдующемъ видѣ (фиг. 40):

Положимъ, что желѣзо, растворившее въ себѣ определенное количество  $k\%$  элементарного углерода, начинаетъ охлаждаться. Тогда въ точкѣ *a* произойдетъ выдѣленіе „маленькихъ частичекъ графита“. Затѣмъ, вслѣдствіе возникшаго отъ выдѣленія графита давленія, начнетъ выдѣляться цементитъ. Но выдѣленіе цементита не можетъ начаться только въ точкѣ *b*, въ которой ордината сплава пересѣчтъ линію *SE*. Такимъ образомъ, предполагаемый *Howe* процессъ выдѣленія цементита требуетъ, чтобы цементированная гиперэвтектическая сталь содержала *графитъ* (выдѣлившійся на участкѣ *a, b*) и цементитъ. Однако, многочисленныя наблюденія надъ цементированной сталью свидѣтельствуютъ объ отсутствіи въ ней графита, что является опроверженіемъ предлагаемаго *Howe* объясненія процесса образованія цементита.

Дальнѣйшимъ затрудненіемъ въ объясненіи процеса цементаціи съ точки зрењія теоріи двухъ діаграммъ является тотъ фактъ, что желѣзо во время цементаціи поглощаетъ больше углерода, чѣмъ это соотвѣтствуетъ предѣлу насыщенія его элементарнымъ углеродомъ, т. е.



Фиг. 40.

\*) См. (13) стр. 106.

\*\*) Вліяніе давленія на образованіе цементита. *Howe* основываетъ на известномъ законѣ *Le Chatelier* (см. (13) сноска 16 на стр. 79).

линії  $S'E'$ , а при нѣкоторыхъ уловіяхъ получается даже чистый карбидъ желѣза.

Для объясненія этихъ явлений *Howe* предлагаетъ новую теорію процесса цементациі, которая сводится къ слѣдующему. Цементациі совершаются волнообразно, вслѣдствіе происходящихъ незначительныхъ колебаній температуры. При пониженіи температуры изъ насыщенаго цементирующими веществомъ (графитомъ) аустенита происходитъ выпаденіе цементита, вслѣдствіе чего аустенитъ перестаетъ быть насыщеннымъ относительно графита. При послѣдующемъ повышеніи температуры аустенитъ, ненасыщенный теперь относительно графита, вновь растворяетъ его. Опять слѣдуютъ пониженіе температуры съ выпаденіемъ цементита, повышеніе съ раствореніемъ графита и т. д.

Во время періодовъ повышенія температуры происходитъ также и обратное раствореніе выпавшаго цементита, но въ слояхъ, соприкасающихся съ цементирующими веществомъ, это раствореніе количественно болѣе, чѣмъ въ послѣдующихъ слояхъ, а это заставляетъ цементитъ диффундировать отъ поверхности къ центру при каждомъ повышеніи температуры. Результатомъ такихъ колебаній температуры и связанного съ ними поглощенія графита внѣшними слоями и передачи цементита отъ периферіи къ центру получается науглероживаніе желѣза въ степени большей, чѣмъ это слѣдуетъ по діаграммѣ состоянія для стабильной системы.

Относительно изложенной теоріи *Howe* необходимо сказать слѣдующее. Она основана на двухъ предположеніяхъ: 1) что во время цементациі происходятъ постоянныя незначительныя колебанія температуры и 2) что во время періода повышенія температуры выпавшій цементитъ не успѣваетъ раствориться и поэтому аустенитъ получаетъ возможность вновь растворить нѣкоторое количество графита.

Оба эти предположенія не подтверждены экспериментально. Обращаясь къ фиг. 40, мы видимъ, что насыщенный графитомъ внѣшній слой цементируемаго предмета (точка *a*) можетъ начать выдѣленіе цементита, согласно вышеизложеному объясненію *Howe*, только въ точкѣ *b*. Интервалъ температуръ между точками *a* и *b* при большомъ разстояніи между линіями  $S'E'$  и  $SE$ , какъ это принимаетъ *Howe*, долженъ быть значительнымъ. Значительныя (постоянныя) колебанія температуры при процессѣ цементациі едва ли могутъ имѣть мѣсто. Кроме того, во время повышенія температуры отъ *b* до *a*, даже въ томъ случаѣ если бы выдѣлившійся цементитъ не успѣлъ вновь раствориться, все же аустенитъ поверхностнаго слоя не можетъ растворять графита, т. к. во всемъ интервалѣ *b—a* онъ является относительно

графита пересыщеннымъ. Такое раствореніе можетъ произойти только при повышениі температуры выше точки *a*, но это невозможно, такъ какъ температура цементациі предполагается постоянной.

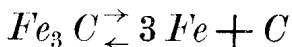
Второе предположеніе о томъ, что цементитъ во время периода повышенія температуры не успѣваетъ раствориться и что вслѣдствіе этого успѣваетъ раствориться графитъ въ аустенитъ противорѣчить даннымъ практики закалки и цементациі стали, изъ которыхъ известно что раствореніе цементита въ желѣзѣ (переходъ перлита въ аустенитъ) происходитъ гораздо быстрѣе, чѣмъ раствореніе (по *Howe*) элементарнаго углерода въ желѣзѣ (процессъ цементациі).

Изложенную теорію цементациі *Howe* предложилъ главнымъ образомъ для объясненія возможности получения карбіда  $Fe_3C$  изъ чистаго желѣза путемъ цементациі (опыты *Margueritte*<sup>(26)</sup>, *P. Charpy*<sup>(27)</sup>, *Howe* и *Offerhaus'a*\*). Но какъ разъ къ этимъ опытаамъ изложенная теорія не можетъ имѣть примѣненія, такъ какъ она рассматриваетъ явленія цементациі, т. е. науглероживанія элементарнымъ углеродомъ при температурахъ выше  $700^{\circ}$ , при которыхъ вопросъ о растворимости углерода въ желѣзѣ играетъ первенствующую роль, между тѣмъ какъ въ упомянутыхъ опытахъ науглероживаніе производилось не элементарнымъ углеродомъ, а окисью углерода и цианистымъ калиемъ при температурѣ ниже  $700^{\circ}$ , т. е. въ той области температуръ, где цементитъ совершенно не растворимъ въ желѣзѣ. Полученіе цементита при этихъ условіяхъ необходимо разсматривать какъ опредѣленную химическую реакцію образованія карбіда желѣза, не имѣющую отношенія къ теоріи цементациі проф. *Howe*.

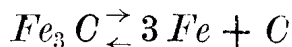
Процессъ цементациі получаетъ удовлетворительное объясненіе, если, какъ это было указано выше, предположить, что раствореніе элементарнаго углерода въ желѣзѣ происходитъ путемъ образованія карбіда желѣза. Въ такомъ случаѣ, цементациія желѣза при данной температурѣ между  $700^{\circ}$  и  $1134^{\circ}$  можетъ происходить лишь до тѣхъ поръ, пока желѣзо не будетъ насыщено карбидомъ желѣза, т. е. перемѣщеніе фигуративной точки состава желѣза слѣва направо будетъ продолжаться до встрѣчи ея съ линіей *SE*. Этого требуетъ теорія одной діаграммы, это подтверждаютъ и нѣкоторая экспериментальная данныя.

Предлагаемое объясненіе процесса цементациі не находится въ противорѣчіи и съ тѣмъ обстоятельствомъ, что карбидъ желѣза при температурахъ выше  $700^{\circ}$  является нестойкимъ соединеніемъ, т. е. что реакція:

\*) *Metallurgie* т. VI (1909) стр. 82.



при температурѣ выше  $700^{\circ}$  можетъ итти слѣва направо. Дѣйствительно, *свободный карбидъ* при температурѣ выше  $700^{\circ}$  распадается; (на этомъ основанъ процессъ получения ковкаго чугуна), но карбидъ, находящійся въ растворѣ, распаденію не подвергается, и поэтому образованіе карбида выше  $700^{\circ}$  можетъ происходить при условіи, если образующійся карбидъ растворяется въ окружающемъ его желѣзѣ. Такой ходъ не противорѣчитъ законамъ химіи. Такимъ образомъ, движение реакціи:



справа налѣво можетъ итти до тѣхъ поръ, пока все желѣзо не окажется насыщеннымъ карбидомъ. Движеніе же реакціи слѣва направо, т. е. распаденіе цементита, возможно только для цементита свободнаго, не находящагося въ растворѣ\*).

II. Изъ высказаннаго положенія о процессѣ цементаціи слѣдуетъ, что науглероживаніе желѣза при данной температурѣ (между  $700^{\circ}$  и  $1134^{\circ}$ ) должно окончиться въ тотъ моментъ, когда желѣзо окажется насыщеннымъ по отношенію цементита.

На діаграммѣ состоянія (фиг. 35) линія *SE*, показывающая предѣль растворимости цементита въ  $\gamma$ -желѣзѣ, опредѣлена проф. *Heup'omъ* только на протяженіи, обозначенномъ удлиненнымъ пунктиромъ. Дальнѣйшее теченіе этой линіи неизвѣстно. Если соединить точку *E*, опредѣленную авторомъ при  $1,7\%$  *C*, съ концомъ линіи *Heup'a*, то получается плавная кривая *SE*, которая и должна опредѣлять конецъ цементаціи для различныхъ температуръ.

Для провѣрки положенія неизвѣстной части вѣтви линіи *SE* были произведены опыты цементаціи и отжига, имѣвшіе своей цѣлью опредѣлить то максимальное количество связаннаго углерода, которое можетъ

\*) Это распаденіе имѣетъ мѣсто при графитообразованіи, а также и при отжигѣ бѣлаго чугуна. Оно совершаются тѣмъ быстрѣе, чѣмъ выше температура и только до тѣхъ поръ, пока имѣется свободный цементитъ. Бѣлый чугунъ послѣ отжига долженъ представлять изъ себя конгломератъ изъ углерода отжига и металлической массы, содержащей въ себѣ столько связаннаго углерода, сколько соответствуетъ предѣлу насыщенія желѣза цементитомъ при температурѣ отжига. Если въ практикѣ наблюдаются случаи, гдѣ ковкія отливки содержать значительно меньшее связанныго углерода, чѣмъ этого требуетъ діаграмма состоянія, или совсѣмъ не содержать его, то это объясняется вліяніемъ кремнія (опыты *Wüst'a*<sup>28</sup>), который способствуетъ распаденію карбида, понижая способность желѣза растворять его, а также непосредственнымъ выгораніемъ карбида изъ твердаго раствора при окислительному отжигѣ (теорія *Hadfield'a*<sup>29</sup>). Распаденію карбида способствуетъ, повидимому, уменьшеніе давленія среды, на что указываютъ опыты отжига чугуна въ безвоздушномъ пространствѣ (*Wüst*<sup>30</sup>).

образоваться въ желѣзѣ путемъ цементаціи его элементарнымъ углеродомъ. При этомъ для подтвержденія высказанныхъ положеній интересно было прослѣдить различныя формы цементаціи, а именно: внѣшнюю цементацію — при помощи цементирующего вещества (углерода) и внутреннюю — посредствомъ графита въ сѣромъ чугунѣ и посредствомъ углерода отжига — въ бѣломъ отожженномъ чугунѣ, — въ послѣднемъ случаѣ для провѣрки предѣла распаденія свободнаго цементита.

Поэтому для опытовъ цементаціи были взяты слѣдующіе материалы:

- 1) Шведское желѣзо (*N. E.*):  $C = 0,041\%$ ,
- 2) Бѣлый шведскій чугунъ (*S. R.*):  $C = 3,746\%$ ; граф. =  $0\%$ ;

3) Сѣрий мелкографитистый чугунъ, полученный изъ предыдущаго бѣлаго путемъ переплавки; \*)  $C = 3,674\%$ ; граф. =  $2,263\%$  и связ.  $C = 1,411\%$ .

Опыты цементаціи производились въ горизонтальной печи *Heraeus'a*. Результаты опытовъ сведены въ слѣдующую таблицу IV: См. таб. IV на стр. 43.

Въ опытахъ № 36—41 производилась цементація (графитомъ) желѣзныхъ цилиндриковъ ( $d = 8$  mm.,  $h = 20$  mm), помѣщенныхъ въ графитовые тигли. Эти опыты не дали положительныхъ результатовъ. Они лишь показали, что цементація при условіяхъ опытovъ идетъ очень медленно и что она тѣмъ сильнѣе, чѣмъ выше температура цементаціи \*\*).

Въ опытахъ 42—43 былъ примѣненъ костяной уголь, и цементаціи подвергались одновременно всѣ три материала. Въ этихъ двухъ опытахъ цементація цилиндриковъ оказалась также незначительной, несмотря на 24-часовой нагрѣвъ, и поэтому опыты съ цилиндриками были оставлены. Опытъ 42 показалъ, что цементитъ бѣлаго чугуна не разложился при  $1080^{\circ}$  даже послѣ 3-хъ часового нагрѣва, это, въ согласіи съ опытами *Tiemanns'a* (\*), указываетъ, что распаденіе цементита ниже  $1100^{\circ}$  идетъ медленно. Въ опытѣ 43 послѣ 24-хъ часового нагрѣва цементитъ распался, и какъ показало микроскопическое изслѣдованіе, весь безъ остатка, при чѣмъ количество связаннаго углерода получилось по анализу равнымъ  $1,607\%$ , что согласно линіи *SE*, соотвѣтствуетъ растворимости цементита въ желѣзѣ при  $1080^{\circ}$ .

\*) При переплавкѣ намѣренно былъ ускоренъ интервалъ затвердѣванія и замедлено послѣдующее охлажденіе, вслѣдствіе чего графитъ получился въ видѣ тонкихъ и мелкихъ пластинокъ.

\*\*) Вліяніе температуры на скорость цементаціи подробно изслѣдовали *Giolitti* и *Carnevali* (*Giess.-Zeit.* 1909 № 1 и 2).

ТАБЛИЦА IV.

Опыт №	Материалъ.	Продолжительность опыта въ часахъ.	Температура опыта $T^{\circ} C.$	Анализъ.			Способъ охлаждения.	П р и м ъ ч а н і я.
				Общій С. %	Графітъ. С. %	Связ. С. %		
36	N. E.	1	1050	—	—	—		Нецементированъ.
37	N. E.	3	1040—50	—	—	—		Немного цементированъ съ краю.
38	N. E.	17	1040—50	—	—	—		Цементированъ съ краю.
39	N. E.	1	1100	—	—	—		Немного цементированъ съ краю.
40	N. E.	3	1100—05	—	—	—		” ” ”
41	N. E.	24	1100—10	—	—	—		Цементація не проникла до середины.
	N. E.							
42	S. R.	3	1080—90	—	—	—		Немного цементированъ съ краю.
	G. R.			3,672	2,084	1,592		Цементитъ не разложился.
	N. E.			0,559	—	—		Цементированъ только съ краю.
43	S. R.	24	1080—90	3,726	2,119	1,607		Полное разложение цементита.
	G. R.			—	—	—		Обогрѣль съ краевъ.
44	N. E.	1	1115—20	1,635	—	1,635		
	N. E.			1,659	—	1,659		
45	G. R.	3	1115—20	3,672	2,021	1,651		
	N. E.			—	—	—		При опытахъ цементації № 41—51 (со стружками) микроскопическое исследование пробъ не могло быть произведено.
46	N. E.	5	1110—20	1,661	—	1,661		
47	N. E.	3	940—50	1,213	—	1,213		
48	N. E.	8	940—50	1,258	—	1,258		
49	N. E.	13	940—50	1,257	—	1,257		
50	N. E.	15	1020—30	1,455	—	1,455		
51	N. E.	15	1060—70	1,595	—	1,595		
63	S. R.	1/4	1135	3,531	1,818	1,713		Цементитъ разложился, начало плавленія.

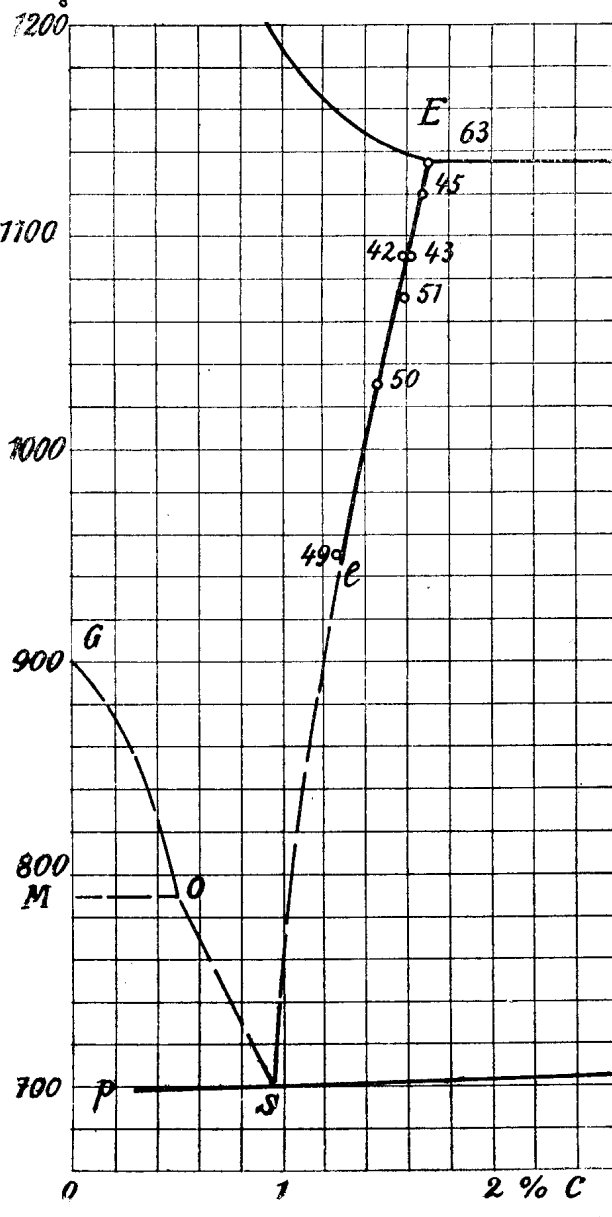
Въ опытахъ 44—51 для ускоренія процесса цементації примѣнялась смѣсь и 60% сахарнаго угля и 40% углекислаго барія и цементированію подвергались желѣзныя стружки\*).

Эти опыты показали, что (въ условіяхъ опыта) цементація при  $940^{\circ}$ — $950^{\circ}$  достигаетъ своего предѣла въ теченіе 8 часовъ (опыты 46—48), такъ какъ при цементаціи въ продолженіи 13 часовъ количество поглощенаго углерода не увеличилось. Цементація при температурѣ  $1115^{\circ}$ — $1120^{\circ}$  заканчивается черезъ три часа (опыты 44—46). Опыты 50 и 51, какъ контрольные, были произведены продолжительностью въ 15 час., но и при этихъ условіяхъ количество поглощенаго углерода оказалось соотвѣтствующимъ линіи SE.

Въ опытахъ 42 (G. R.) и 45 (G. R.) цементація произошла главнымъ образомъ насчетъ графита чугуна: содержаніе графита уменьшилось, количество связанныго углерода ( $1,411\%$ ) возросло: въ первомъ случаѣ до  $1,592\%$  и во второмъ до  $1,651\%$ . Эти два опыта въ сравненіи съ опытами 36—41 показали, что внутренняя цементація идетъ значительно быстрѣе внѣшней, что и понятно, такъ какъ цементирующее вещество—графитъ въ первомъ случаѣ распределенъ по всей массѣ металла.

Наконецъ, опыты 43 (S. R.) и 63 (изъ слѣдующей серии) удостовѣрили: 1), что распаденію подвергается только свободный цементитъ: въ опытѣ 43 (S. R.) количество оставшагося въ чугунѣ связанныго углерода (цементита) соотвѣтствуетъ предѣлу насыщенія желѣза цементитомъ при данной температурѣ, и 2) что распаденіе цементита происходитъ гораздо быстрѣе при высокихъ температурахъ ( $1135^{\circ}$ ), чѣмъ при болѣе низкихъ, напримѣръ ( $1080^{\circ}$ ).

Результаты опыта № 42, 43, 45, 46, 49, 50, 51 изображены графически на фиг. 41,



Фиг. 41.

\* ) исключая опыта 45 (G. R.), въ которомъ, какъ и въ опыте 42 (G. R.) чугунъ былъ въ видѣ цилиндра указанныхъ размѣровъ.

изъ которой видно, что точки, представляющія количество углерода, поглощенаго желѣзомъ при цементаціи, расположились по кривой, которая практически точно является продолженіемъ кривой *Se*, послѣдняя же по опытамъ *Heup'a* представляетъ линію предѣла растворенія цементита въ  $\gamma$ -желѣзѣ.

Результаты описанныхъ опытовъ, подтверждая высказанное положеніе о ходѣ процесса цементаціи, находятся въ согласіи съ изслѣдованіемъ *Royston'a*<sup>(32)</sup>, который подвергая внутренней цементаціи при температурѣ  $1030^{\circ}$  ковкій чугунъ и производя при той же температурѣ отжигъ бѣлаго чугуна получилъ въ обоихъ случаяхъ содержаніе связанного углерода, равное  $1,5\%$ . Они, однако, значительно отличаются отъ результатовъ опытовъ другихъ изслѣдователей, напримѣръ, *Charpy* и *Grenet*<sup>(33)</sup>, *Heup* и *Bauer*<sup>(34)</sup>, *Charpy*<sup>(35)</sup>, *Benedicks*<sup>(36)</sup> и *Hadfield*<sup>(29)</sup>.

По даннымъ перечисленныхъ авторовъ (кромѣ *Hadfield'a*), растворимость элементарнаго углерода меньше, по даннымъ *Hadfield'a* больше, чѣмъ въ опытахъ автора.

Относительно изслѣдованій *Charpy* и *Grenet*, *Heup'a* и *Bauer'a* необходимо указать, что материалы, которыми они пользовались, содержали значительное количество кремнія, который, какъ известно, понижаетъ растворимость цементита въ желѣзѣ, поэтому полученные ими данныя не могутъ служить для опредѣленія линіи *SE*.

Въ опытахъ *Charpy*<sup>(35)</sup> не указаны условия опытовъ. Необходимость снятія передъ анализомъ въ опытахъ (*a*) слоя въ 2 mm толщиною позволяетъ предположить, что во время нагрева произошло окисленіе (обезуглероживание). О такомъ окисленіи упомянуто при описаніи опытовъ серіи *b*. Такъ какъ при окислительномъ отжигѣ по теоріи *Hadfield'a* выгораетъ непосредственно цементитъ, то можно предположить, что окисленіе въ опытахъ уменьшило содержаніе связанного углерода въ чугунѣ, вслѣдствіе чего „растворимость графита въ желѣзѣ при  $1000^{\circ}$ “ получилась только въ  $1,00\% C$ .

*Benedicks* не опредѣлялъ въ своихъ опытахъ растворимость графита въ желѣзѣ аналитически. Для температуры въ  $910^{\circ} \pm 10^{\circ}$  онъ считаетъ ее по виду структуры равной отъ  $0,9\%$  до  $1,2\% C$ . Послѣдняя цифра близко подходитъ къ даннымъ автора.

Наконецъ, по опредѣленію *Hadfield'a* растворимость цементита въ желѣзѣ при  $960^{\circ}$  равна  $1,63\% C$ , что значительно превышаетъ данную автора. Однако, едва ли эта цифра правильна: *Hadfield* цементировалъ сталь съ  $1,64\% C$  въ древесномъ углѣ при температурѣ  $960^{\circ}$ . По окончаніи цементаціи содержаніе связанного углерода въ стали

не измѣнилось, откуда *Hadfield* заключаетъ, что  $1,63\%$  C (данное анализа послѣ цементациі) и есть предѣлъ насыщенія желѣза цементитомъ. Если, однако, принять во вниманіе, что сталь съ  $1,64\%$  C при температурѣ  $960^{\circ}$  можетъ состоять изъ аустенита, насыщенаго цементитомъ при данной температурѣ и *избыточнаго* цементита, не вошедшаго въ растворъ, то естественно, что количество углерода, не могло быть увеличено цементацией. Анализъ же стали не могъ дать истинной величины растворимости цементита въ аустенитѣ, такъ какъ въ количество углерода  $1,63\%$  вошло неизвѣстное количество углерода цементита, оставшагося въ избыткѣ.

#### IV. Теорія плавлення и затвердівання желязо-углерод-сплавовъ.

Послѣ всѣхъ вышеизложенныхъ опытовъ, имѣвшихъ своею цѣлью провѣрку діаграммы состоянія желязо-углерод сплавовъ, отысканіе недостающихъ въ ней линій и разсмотрѣніе явлений цементаціи и отжига, какъ процессовъ участвующихъ въ плавленіи и затвердіваніи чугуна и стали, представляется возможнымъ перейти къ изслѣдованию самихъ процессовъ плавленія и затвердіванія.

По настоящее время въ литературѣ извѣстны двѣ теоріи плавленія и затвердіванія чугуна: теорія *Heupn'a* и теорія *Goerens'a*.

Эти двѣ теоріи согласуются другъ съ другомъ въ разсмотрѣніи процесса плавленія и затвердіванія бѣлаго чугуна. Оба названныхъ автора признаютъ этотъ процессъ обратимымъ, вслѣдствіе чего они принимаютъ, что температуры плавленія и затвердіванія бѣлаго чугуна совпадаютъ другъ съ другомъ.

По отношенію къ сѣрому чугуну обѣ теоріи хотя и признаютъ процессы плавленія и затвердіванія сѣраго чугуна необратимыми, но совершенно различно излагають самый ходъ этихъ процессовъ.

##### а) Теорія *Heupn'a*.

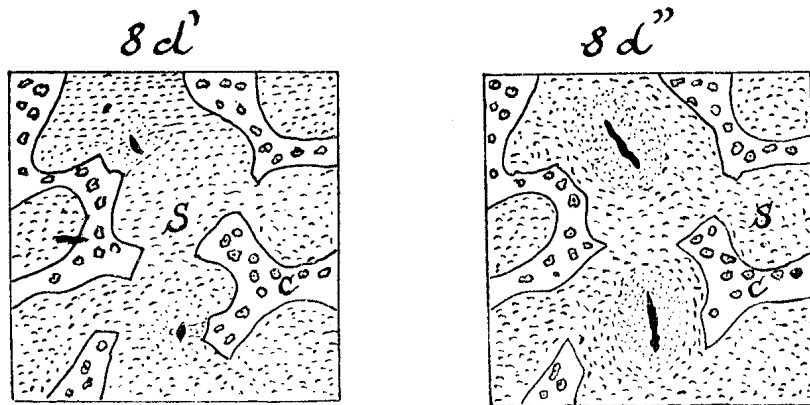
Проф. *Heupn*<sup>(37)</sup> предложилъ въ 1906 году объясненіе процессовъ плавленія и затвердіванія бѣлаго и сѣраго чугуновъ и въ 1907 году въ работѣ совмѣстно съ *Bauer'omъ*<sup>(34)</sup> развилъ высказанныя ранѣе положенія, подкрѣпивъ ихъ экспериментальными данными.

Въ работѣ 1906 года *Heupn* слѣдующимъ образомъ излагаетъ процессы затвердіванія чугуновъ.

Бѣлый чугунъ затвердѣваєтъ съ переохлажденіемъ, слѣдуя діаграммѣ состоянія, т. е. первоначально выдѣляются смѣшанные кристаллы (случай гипоэвтектическаго чугуна), затѣмъ затвердѣваєтъ при  $1130^{\circ}$  эвтектика: смѣшанные кристаллы + цементитъ, далѣе изъ смѣшанныхъ кристалловъ выдѣляется вторичный цементитъ и наконецъ, при  $700^{\circ}$  образуется перлитъ.

Сѣрий же чугунъ обнаруживаетъ значительныя отклоненія отъ теоретическаго хода затвердіванія, вслѣдствіе образованія графита: при затвердіваніи его сначала выдѣляются смѣшанные кристаллы, затѣмъ при температурѣ  $1130^{\circ}$  ( $t_2$ ) затвердѣваєтъ эвтектика: смѣшанные кристаллы + цементитъ. Въ виду же того, что цементитъ какъ

*свободный*, такъ и находящійся въ растворѣ не подвергается разложе-  
нію только при температурахъ  $t_x^*$ ), высшихъ чѣмъ  $t_2$ , то существованіе  
его при температурахъ низшихъ  $t_2$  возможно только вслѣдствіе пере-  
охлажденія, которое предотвращаетъ его отъ распаденія на графитъ  
и желѣзо (бѣлые чугуны). Это распаденіе (т. е. графитовыдѣленіе)  
можетъ быть полнымъ или частичнымъ, если переохлажденіе при по-  
мощи какого-нибудь фактора (*Anreiz*) будетъ уничтожено. *Heup* пред-  
полагаетъ, что разрушеніе переохлажденія, т. е. начало графитовы-  
дѣленія происходитъ при температурѣ ниже  $t_2$ , т. е. послѣ затвердѣ-  
ванія эвтектики, и изображаетъ этотъ моментъ рисункомъ 8 d' (фиг. 42):  
въ массѣ мартенсита (*S*) появляются два зародыша (*Keim*) графита.



Фиг. 42.

При дальнѣшемъ пониженіи температуры эти маленькия пластинки гра-  
фита растутъ, вытягивая углеродъ изъ окружающаго ихъ мартенсита;  
вслѣдствіе этого вокругъ нихъ образуется площадка бѣднаго углеро-  
домъ желѣза (рис. 8 d''). Наростаніе пластинокъ графита продолжается  
до температуры  $700^{\circ}$  (а быть можетъ и еще ниже).

Въ работе 1907 года *Heup*, подтверждая вышеизложенныя положенія, останавливается болѣе подробно на процессахъ плавленія чу-  
гуновъ, иллюстрируя ихъ діаграммой, представленной на фиг. 43.

*Heup* (<sup>9</sup>) различаетъ двѣ системы:

устойчивую *b*: желѣзо + графитъ  
и неустойчивую *a*: желѣзо + карбидъ.

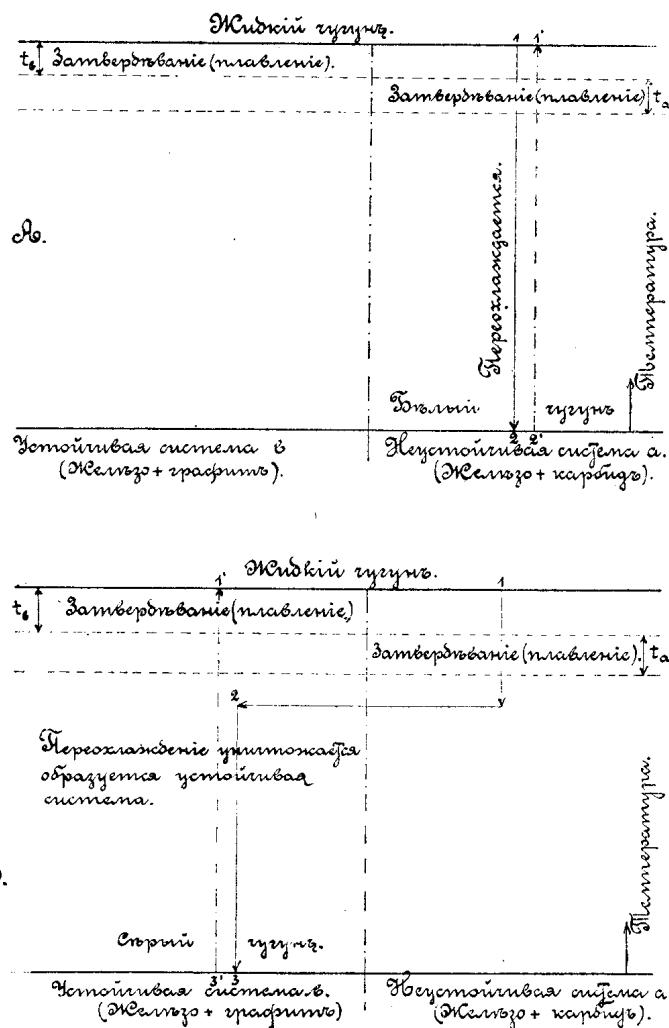
Сѣрый чугунъ представляетъ изъ себя устойчивую систему, бѣ-  
лый—неустойчивую.

Процессы плавленія и затвердѣванія согласно діаграммѣ фиг. 43  
происходятъ слѣдующимъ образомъ:

Жидкій чугунъ долженъ быть затвердѣть въ области темпера-  
туръ  $t_b$  въ видѣ устойчивой системы *b*. „Однако при этой температу-

<sup>9</sup>) См. (37) стр. 1389.

рѣ  $t_b$  обстоятельства, повидимому, неблагопріятны для выдѣленія графита, поэтому чугунъ переохлаждается и затвердѣваетъ въ нѣсколько ниже лежащей области температуръ  $t_a$  въ видѣ неустойчивой системы  $a''$ .



Фиг. 43.

турѣ, т. е. они будуть обратимыми.

Если же послѣ затвердѣванія чугуна въ неустойчивую систему появится факторъ, который уничтожить переохлажденіе, (съ графитовыданѣемъ) пойдетъ по сплошной стрѣлкѣ 1—2—3 (фиг. 43 B), въ результатѣ чего получится устойчивая система  $b$ —сѣрий чугунъ.

Плавленіе сѣраго чугуна будетъ происходить по пунктирной стрѣлкѣ 3'—1', т. е. цѣликомъ въ области устойчиваго равновѣсія, такъ какъ нѣть никакихъ основаній для того, чтобы сѣрий чугунъ перешелъ въ область неустойчиваго разновѣсія, а потому температура плавленія сѣраго чугуна (область  $t_b$ ) будетъ выше температуры его затвердѣванія ( $t_a$ ), что и согласуется съ данными практики.

Существенными чертами вышеприведенной теоріи *Нейп'*а являются слѣдующія:

- 1) Плавленіе и затвердѣваніе бѣлаго чугуна слѣдуетъ діаграммѣ состоянія.

2) Плавленіе и затвердѣваніе сѣраго чугуна отклоняется отъ нея вслѣдствіе графитовыдѣленія.

3) Графитовыдѣленіе начинается *послѣ* затвердѣванія эвтектики смѣшанные кристаллы + цементитъ, является слѣдствіемъ уничтоженія переохлажденія при помощи нѣкотораго фактора и оканчивается около 700°.

4) Пластиинки графита зарождаются въ смѣшанныхъ кристаллахъ (мартенситъ) и растутъ насчетъ углерода послѣдніихъ.

5) Эвтектика: смѣшанные кристаллы + цементитъ, повидимому, совсѣмъ не принимаетъ участія въ графитообразованіи или же участвуетъ въ немъ косвенно, отдавая свой цементитъ черезъ толщину кристалловъ пластинкамъ графита.

Изложенная теорія, не освѣщающая достаточно ясно разныхъ сторонъ процессовъ плавленія и затвердѣванія чугуновъ, возбуждаетъ, по мнѣнію автора, сомнѣніе въ правильности нѣкоторыхъ своихъ положеній, такъ какъ:

1) она не подтверждена въ надлежащей мѣрѣ экспериментально,

2) не принимаетъ во вниманіе двухъ существенныхъ факторовъ: цеметаціи и скорости нагрѣва (и охлажденія), несомнѣнно вліяющихъ на процессы плавленія и затвердѣванія чугуновъ,

и 3) такъ какъ опытныя изслѣдованія *Goerens'a* и автора по вопросу о графитообразованіи, находятся въ противорѣчіи съ пунктами 3, 4 и 5, утверждающими, что *графитъ зарождается въ мартенситъ послѣ затвердѣванія* эвтектики, цементитъ которой только *косвенно* участвуетъ въ образованіи пластинокъ графита.

#### *b) Теорія Goerens'a.*

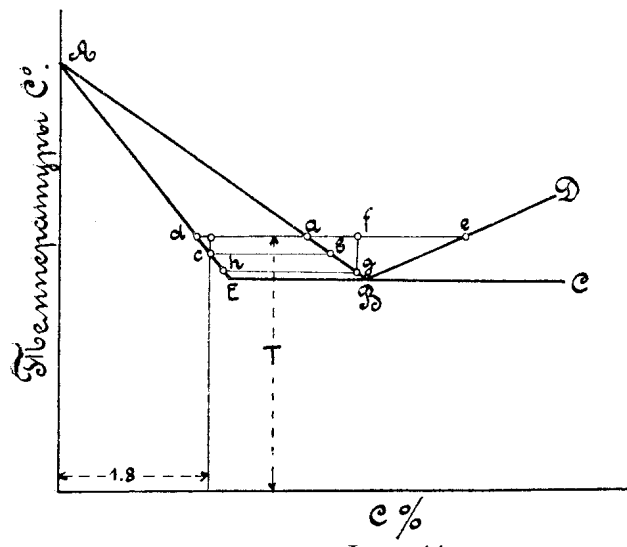
Проф. *Goerens* рассматриваетъ процессъ плавленія и затвердѣванія бѣлаго чугуна, какъ обратимый и протекающей теоретически правильно. Полученіе бѣлаго чугуна (въ чистыхъ желѣзо-углерод-сплавахъ) возможно, однако, только при условіи быстраго охлажденія, которое препятствуетъ распаденію цементита на составныя части: желѣзо и графітъ.

Если же охлажденіе идетъ медленно, то цементитъ, выдѣляющійся во время затвердѣванія эвтектики (а также первичный цементитъ, выдѣляющійся по линіи *BD*), подвергается распаденію и, въ зависимости отъ скорости охлажденія, получается или сѣрий, или половинчатый чугунъ.

Такимъ образомъ, согласно теоріи *Goerens'a*, *графитовыдѣленіе есть распаденіе цементита* и, главнымъ образомъ, цементита эвтектики, такъ какъ распаденіе первичнаго цементита даетъ графитъ въ

формѣ такъ называемой „спѣли.“ Графитовыдѣленіе поэтому *сопутствуетъ съ интерваломъ затвердѣванія эвтектики*, и, чѣмъ этотъ интервалъ продолжительнѣе, чѣмъ, слѣдовательно, охлажденіе медленнѣе, тѣмъ полнѣе совершается графитовыдѣленіе, тѣмъ грубѣе, т. е. больше по величинѣ, получаются пластинки графита. Если распаденіе цементита въ періодъ затвердѣванія эвтектики, несмотря на медленное охлажденіе, не произошло полностью, то возможно распаденіе его и послѣ окончанія затвердѣванія эвтектики, но тогда продуктомъ распаденія будетъ углеродъ въ формѣ углерода отжига.

Для процесса плавленія сѣраго чугуна *Goerens* предлагаетъ слѣдующее объясненіе (фиг. 44):



Фиг. 44.

Металлическая масса сѣраго чугуна представляетъ изъ себя сталь, по этому температура плавленія чугуна должна зависѣть отъ количества содержащагося въ немъ связанного углерода.

Положимъ, что имѣется чугунъ съ 1, 8 % связанныго углерода. При нагреваніи такого чугуна онъ начнетъ плавиться въ точкѣ *c*, т. е. въ

точкѣ пересѣченія ординаты состава съ линіей *AE*. Съ этого момента онъ вступаетъ въ область *ABE*, въ которой смѣшанные кристаллы находятся въ равновѣсіи съ богатой углеродомъ жидкой фазой. При незначительномъ повышеніи температуры, напримѣръ, до *T<sup>0</sup>*, однородная твердая масса распадается на жидкую фазу съ *a* % С и на смѣшанные кристаллы съ *d* % С. Такъ какъ при температурѣ *T<sup>0</sup>* жидкая фаза можетъ растворить до *e* % С, то она будетъ имѣть стремленіе растворять графитъ, образуя при этомъ карбидъ. Вслѣдствіе этого создавшееся для температуры *T<sup>0</sup>* равновѣсіе нарушится; оно можетъ возстановиться только въ томъ случаѣ, если смѣшанные кристаллы тоже будутъ измѣнять свой составъ до тѣхъ поръ, пока они не окажутся въ равновѣсіи съ жидкой фазой новаго состава.

Если предположить, что жидкая фаза *a* растворить въ себѣ углеродъ до содержанія его въ *f* %, то съ жидкостью такого состава могутъ находиться въ равновѣсіи только смѣшанные кристаллы, содержащіе *h* % С, что ясно изъ графического построенія, сдѣланнаго на фиг. 44.

Такимъ образомъ, для возстановленія равновѣсія, нарушенаго тѣмъ, что жидкая фаза растворила нѣкоторое количество графита, смѣшаныя кристаллы должны увеличить содержаніе углерода, растворивъ часть карбida, заключающагося въ жидкой фазѣ. Вслѣдствіе этого жидкая фаза станетъ бѣднѣе углеродомъ и получитъ снова возможность растворить нѣкоторое количество графита и т. д.

Такой кругооборотъ будетъ повторяться до тѣхъ поръ, пока для данной температуры не установится нѣкоторое равновѣсное состояніе.

Само собою понятно, что чѣмъ меньше сѣрый чугунъ будетъ содержать связанного углерода, тѣмъ выше будетъ лежать точка *c*, т. е. тѣмъ выше будетъ температура плавленія даннаго чугуна, что и согласуется съ опытными ислѣдованіями.

Въ основѣ изложенной теоріи плавленія сѣраго чугуна лежитъ предположеніе, что для установленія равновѣсія между смѣшанными кристаллами и жидкой фазой температура сплава должна то опускаться, то подыматься. Если принять во вниманіе, что насыщеніе жидкой фазы углеродомъ отъ *a* до *f* не можетъ, какъ это предполагаетъ *Goerens*, совершаться при посторонней температурѣ, такъ какъ жидкий сплавъ въ данномъ случаѣ находится въ области *ABD*, т. е. въ области діваріантнаго равновѣсія, то размахи колебанія температуры должны быть больше, чѣмъ на это указываетъ *Goerens*, а это едва-ли отвѣчаетъ дѣйствительности. Кромѣ того, въ теоріи *Goerens*'а не принята во вниманіе скорость нагреванія, которая не можетъ не отражаться на ходѣ внутренней цементациіи. Оба эти обстоятельства заставляютъ сомнѣваться, чтобы плавленіе сѣраго чугуна дѣйствительно совершилось такъ, какъ это предполагаетъ *Goerens*.

Теорія *Heupn'*а и особенно *Goerens*'а даютъ много важныхъ указаній для уясненія процессовъ плавленія и затвердѣванія чугуновъ. Онѣ, однако, въ нѣкоторыхъ своихъ положеніяхъ не подтверждены экспериментально, онѣ высказываютъ предположенія, которыя едва-ли имѣютъ мѣсто въ дѣйствительности, онѣ, наконецъ, не принимаютъ во вниманіе вліянія скорости нагрева въ процессѣ плавленія сѣрыхъ чугуновъ. Все это вмѣстѣ взятое лишаетъ эти теоріи ихъ полной приложимости для разъясненія нѣкоторыхъ вопросовъ въ процессахъ плавленія и затвердѣванія чугуновъ и требуетъ дальнѣйшаго изученія упомянутыхъ процессовъ.

Съ означенной цѣлью авторомъ были произведены слѣдующіе опыты.

*с) Опытное изслѣдованіе процесса плавленія чугуновъ.*

Изслѣдованіе измѣненія структуры и химического состава бѣлаго и сѣраго чугуновъ при постепенномъ нагреваніи ихъ вплоть до рас-

плавленія было произведено при помощи метода закалки. Обстановка опытовъ была такая же, какъ и при опредѣлениі линіи *AE*; пробы (для выполненія химическаго анализа), вѣсили 10 gr.

Матеріалы, примѣненные для опытовъ, были слѣдующаго состава:

Бѣлыи шведскій чугунъ;

$C = 3,746\%$ ;  $Si = 0,032\%$ ;  $Mn = 0,18\%$ ;  $P = 0,024\%$  и  $S = 0,0076\%$  и сѣрый чугунъ:

общее  $C = 3,674\%$  и граф.  $= 2,263\%$

полученный переплавкой\*) бѣлаго чугуна указаннаго состава.

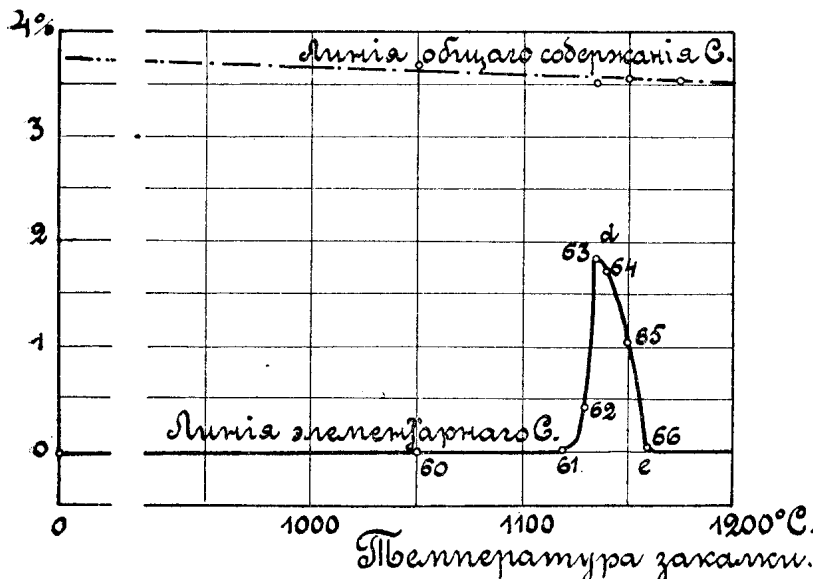
Продолжительность нагрѣва пробъ при различныхъ температурахъ была установлена на основаніи предыдущихъ опытовъ автора (15) при изслѣдованіи процесса графитовыданенія.

Всѣ пробы послѣ закалки были отшлифованы и изслѣдованы подъ микроскопомъ и затѣмъ въ нихъ было опредѣлено химическимъ анализомъ общее содержаніе углерода и графита.

Данныя и результаты опытовъ сведены въ таблицу V: См. таб. V на стр. 54.

Результаты опытовъ изображены также графически на фиг. 45 и 46

Кривая фиг. 45 представляетъ измѣненіе содержанія графита въ



Фиг. 45.

сѣромъ чугунъ при медленномъ нагрѣвѣ его вплоть до расплавленія. Эта кривая съ несомнѣнностью указываетъ, что количество графита постепенно убываетъ, т. е. что во время процесса нагрѣванія и плавленія чугуна происходитъ внутренняя цементация. Изъ фиг. 45

видно также, что при скорости нагрѣванія, имѣвшей мѣсто въ опытахъ, металлическая масса чугуна не мѣняетъ своего состава вплоть до  $1000^{\circ}$ . Начиная съ этой температуры, наблюдается цементирующее

\*) См. сноска на стр. 42.

ТАБЛИЦА V.

Опытъ №	Температура пробы въ моментъ закалки $T^{\circ} C.$	Продолжительность нагрѣва при $T^{\circ}$ въ минутахъ.	Анализъ.			Фигура №	Структура закаленныхъ пробъ.	
			Общий С % /%	Гра- фитъ % /%	Свя- занный С % /%			
Сѣрия I	52	1000	30	3,593	2,212	1,381		Мартенситъ и графитъ.
	53	1070	25	—	2,011	—		„ „
	54	1120	20	3,498	1,794	1,704		Аустенитъ и графитъ.
	55	1130	15	—	1,643	—	47	X-структура и графитъ.
	56	1140	12	—	1,485	—		X-структура, графитъ и ледебуритъ.
	57	1150	12	3,506	0,726	2,780	48	Количество ледебурита увеличилось.
	58	1160	10	—	Слѣды	—		Бѣлый чугунъ.
	59	1175	10	3,496	Нѣть	3,496		„ „
Сѣрия II	60	1050	40	3,621	Нѣть	3,621		Бѣлый чугунъ.
	61	1120	20	—	Слѣды	—		„ „
	62	1130	15	—	0,420	—		„ „
	63	1135	15	3,531	1,818	1,713	49	X-структура и элем. углеродъ.
	64	1140	12	—	1,741	—		X-структура, элем. углеродъ и ледебуритъ.
	65	1150	12	3,560	1,024	2,536	50	Количество ледебурита увеличилось.
	66	1160	10	—	Слѣды	—		Бѣлый чугунъ.
	67	1175	10	3,561	Нѣть	3,561		„ „

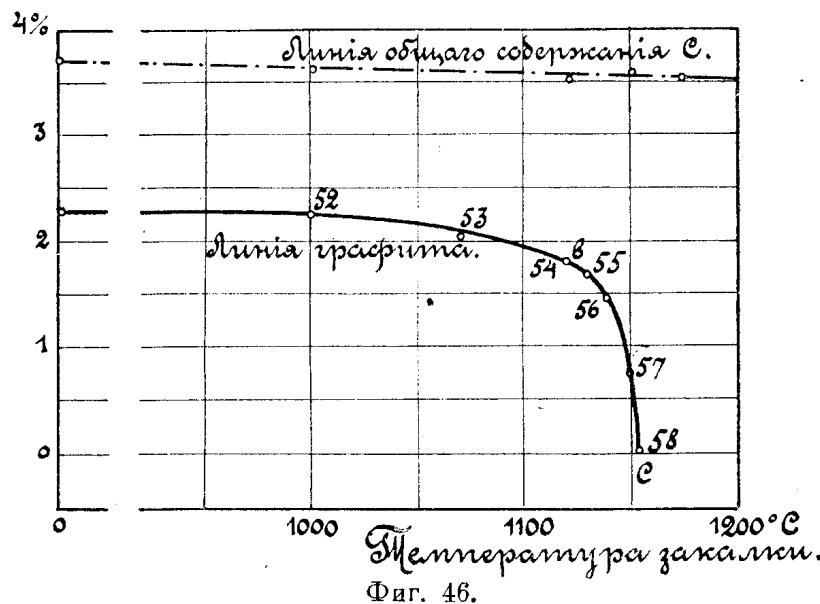
дѣйствие графита\*), которое проявляется тѣмъ сильнѣе, чѣмъ выше температура, достигая своего *maxitum'a* между  $1120^{\circ}$ — $1150^{\circ}$ .

Фиг. 47 (опытъ 55) представляетъ строеніе сѣраго чугуна передъ началомъ плавленія. Чугунъ состоитъ изъ маленькихъ пластинокъ графита, лежащихъ въ основной массѣ, напоминающей собою аустенитъ. Структура этой массы, представляющая собою однородные кристаллы, пронизанные правильно расположеннымъ тонкими коричневаго цвѣта иглами, была названа въ предшествующей работѣ *Goerens'a* и автора (<sup>15</sup>) „чисто аустенитовой“. Въ виду того, однако, что эта структура значительно отличается отъ недавно опубликованныхъ *Maurer'* омъ (<sup>38</sup>) структуръ нормального аустенита, и въ тоже время непохожа ни на одинъ изъ известныхъ уже структурныхъ элементовъ жельзо-углерод-сплавовъ, — она въ дальнѣйшемъ будетъ именоваться *X* структурой.

Фиг. 48 (опытъ 57) показываетъ строеніе сѣраго чугуна въ періодъ плавленія ( $T$  зак. =  $1150^{\circ}$ ). Характерная структура сѣраго чугуна пропала. Вмѣсто нея на фиг. 48 видны смѣшанные кристаллы и ледебуритъ, т. е. структура бѣлаго чугуна.

Анализъ пробы опыта 58 далъ слѣды графита, что указываетъ на окончаніе при температурѣ около  $1160^{\circ}$  внутренняго процесса цементациі.

Итакъ, настоящая серія опытовъ доказываетъ, что при плавленіи сѣраго чугуна идетъ внутренній процессъ цементаціи графитомъ. Образованіе цементита и раствореніе его въ  $\gamma$ -жельзѣ совершаются какъ въ области твердыхъ растворовъ, т. е. въ площади *AESGA* на фиг. 35 (опыты 52—55), такъ и во время періода плавленія, когда чугунъ находится въ  $\Delta ABE$  (опыты 56—58).



Изслѣдованіе процесса плавленія бѣлаго чугуна показало, что въ условіяхъ опыта цементитъ бѣлаго чугуна при температурѣ, близкой къ эвтектической ( $1134^{\circ}$ ) распадается на свои составные части. Это явленіе наглядно изображаетъ фиг. 46. На ней видно, что линія,

\* ) Понятно, что цементація должна проявляться тѣмъ больше, чѣмъ медленнѣе идетъ нагреваніе. Возможно, что при болѣе медленномъ чѣмъ въ опытахъ нагревъ цементирующее дѣйствіе графита зачинается ниже  $1000^{\circ}$ .

представляющая содержание элементарного углерода въ бѣломъ чугунѣ дѣлаетъ при  $1120^{\circ}$  рѣзкій скачокъ вверхъ, т. е. что до  $1120^{\circ}$  бѣлый чугунъ не содержалъ элементарного углерода, а, начиная съ этой температуры, химическій анализъ обнаружилъ появленіе элементарного углерода.

Какъ показали опыты, распаденіе цементита совершаются очень быстро въ интервалѣ  $1120^{\circ}—1135^{\circ}$ .

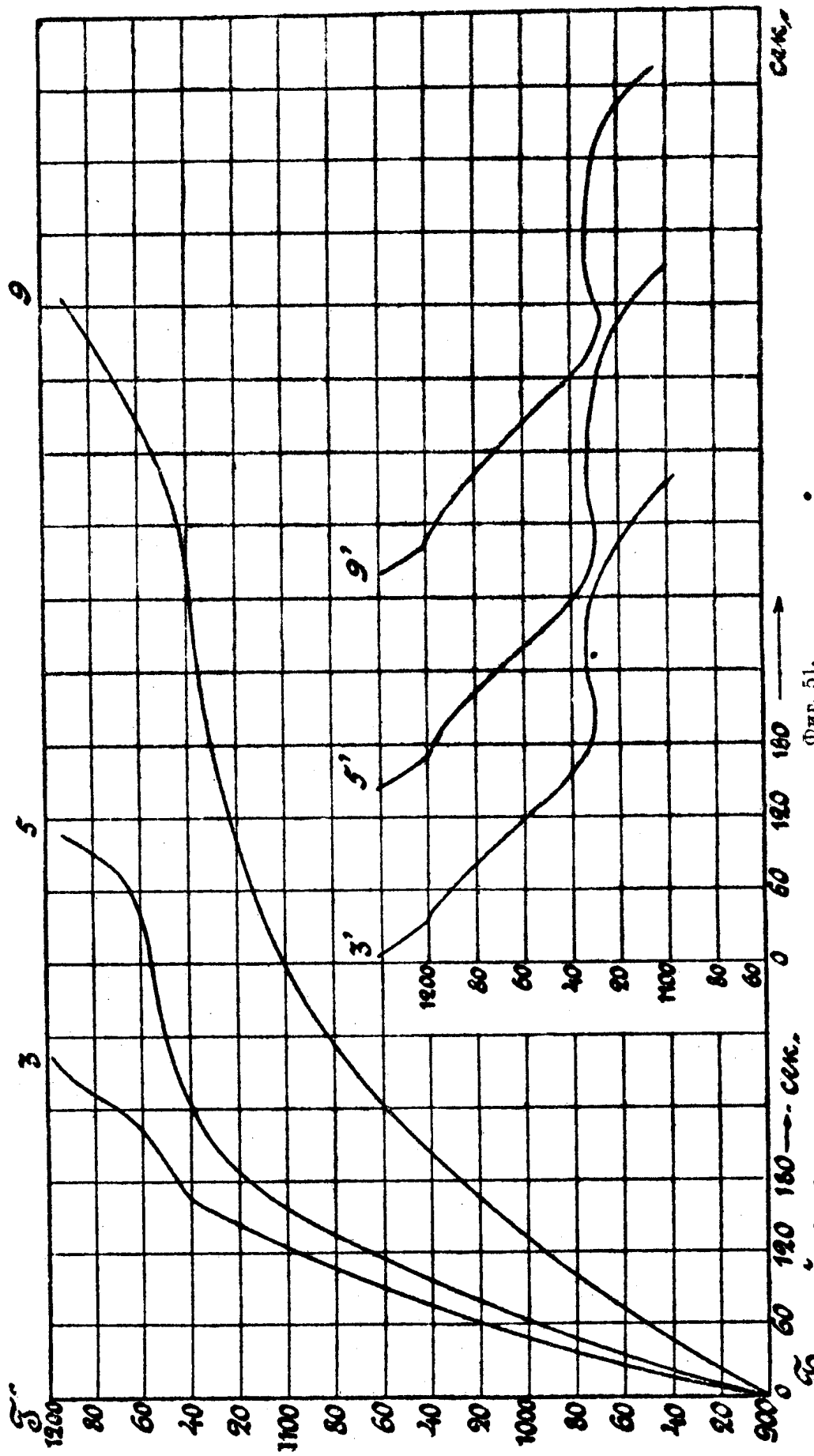
При  $1135^{\circ}$  (опытъ 63), т. е. при температурѣ начала плавленія (эвтектической), весь избыточный цементитъ разложился, такъ какъ количество связанного углерода въ чугунѣ ( $1,713\%$ ) соотвѣтствуетъ предѣлу растворенія цементита въ  $\gamma$ -желѣзѣ при эвтектической температурѣ. Такимъ образомъ, передъ началомъ плавленія бѣлый чугунъ представляетъ изъ себя смѣсь изъ кристалловъ X-структуры и элементарного углерода (графита или углерода отжига), какъ это подтверждаетъ фиг. 49, т. е. *переходитъ въ стадію спраго чугуна*, послѣ чего уже начинается процессъ плавленія. Естественно, что въ дальнѣйшемъ процессъ плавленія бѣлаго чугуна не можетъ отличаться отъ спраго, такъ какъ явленія внутренней цементаціи должны быть въ томъ и другомъ случаѣ одни и тѣ же. Это подтверждаетъ и видъ вѣтви *de* кривой (фиг. 46), которая подобна соотвѣтствующей части *cb* кривой спраго чугуна на фиг. 45. Объ этомъ говорить и структура чугуна на фиг. 50 (опытъ 65,  $T_{зак.} = 1150^{\circ}$ ), которая ничѣмъ не отличается отъ структуры спраго чугуна, изображенной на фиг. 48. ( $T_{зак.} = 1150^{\circ}$ ).

Итакъ, вторая серія опытовъ даетъ указаніе на то, что при плавленіи бѣлаго чугуна въ зависимости отъ скорости нагрѣва можетъ имѣть мѣсто распаденіе цементита (частичное или полное). Надо предполагать, что при медленномъ нагрѣвѣ чугуна въ технической плавкѣ *такое распаденіе цементита совершается*, а потому бѣлый чугунъ при плавленіи проходитъ стадію спраго чугуна и *самый процессъ плавленія не является обратимымъ*, какъ это предполагаютъ теоріи *Heup'a* и *Goerens'a*.

Изъ предыдущихъ опытовъ выяснилось, что передъ плавленіемъ и въ періодъ плавленія чугуна совершаются внутренняя цементація. Такъ какъ процессъ цементаціи требуетъ для своего совершенія определеннаго промежутка времени, то не можетъ подлежать сомнѣнію, что скорость нагрѣва чугуна должна вліять на процессъ плавленія чугуна въ томъ смыслѣ, что плавленіе чугуна, должно начинаться при тѣмъ болѣе низкой температурѣ, чѣмъ медленнѣе идетъ нагрѣваніе.

Для проверки этого положенія были произведены слѣдующіе опыты плавленія чугуна съ различной скоростью.

Таблица II.

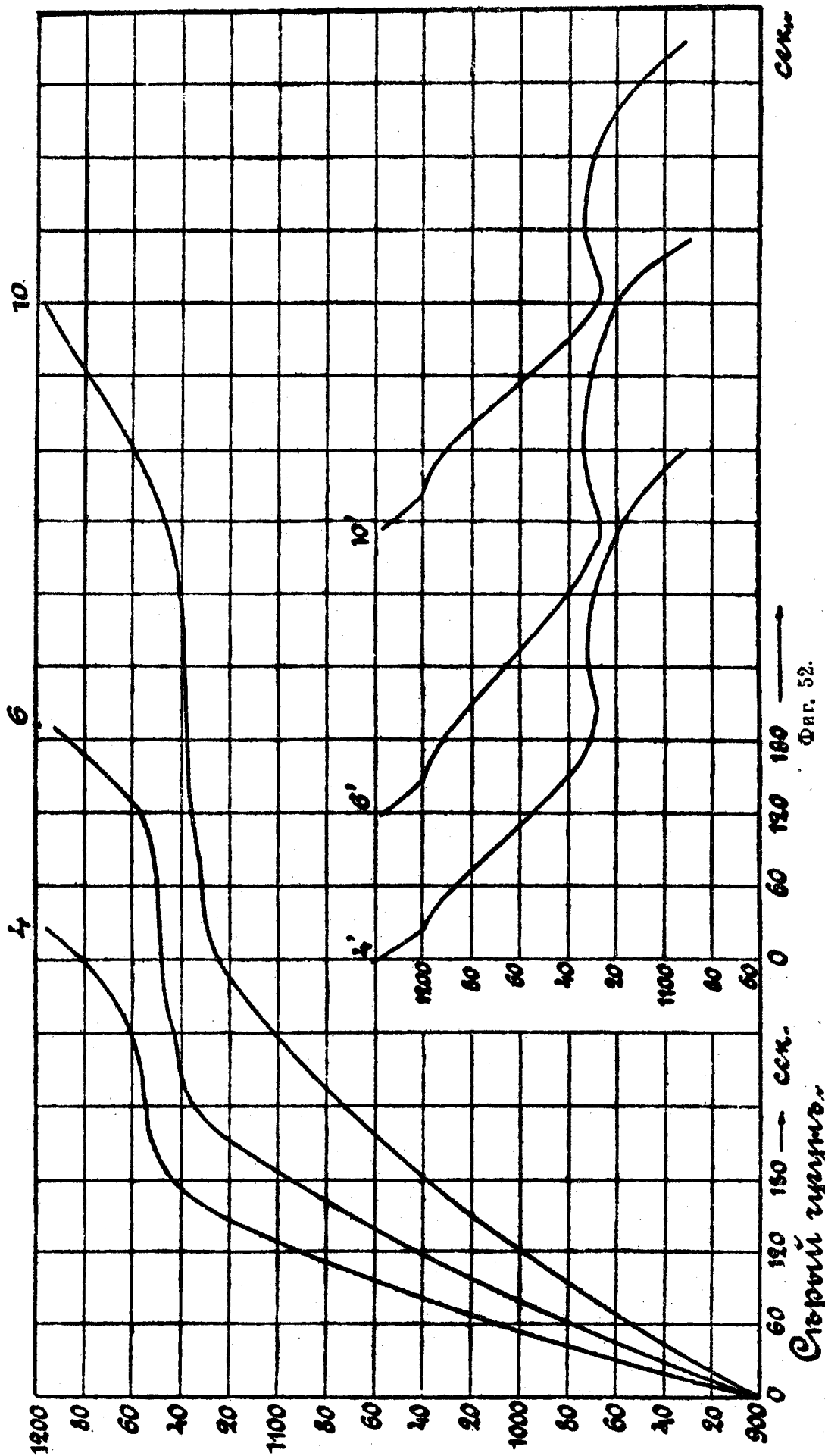


Фиг. 51.

Н. Гутовский. Къ теоріи системы: желеzo-углеродъ.  
Бескрайний углеродъ.

Томскъ, Типо-лит. Спб. Тор. Печ. Дѣла.

Таблица III.



Серный гурунъ.

Н. Гутовский. Къ теории системы: желѣзо-углеродъ.

Фиг. 52.

Томскъ. Типо-лит. Спб. Тов. Ич. Дѣла.

сек.

Въ криптолевую печь, (описанную на стр. 14), нагрѣтую до нѣкоторой постоянной, но различной въ различныхъ опытахъ температуры, помѣщался тигель съ мелкораздробленнымъ бѣлымъ чугуномъ, указанного выше (стр. 53) состава. Температура печи ( $1200^{\circ}$ ,  $1300^{\circ}$ ,  $1400^{\circ}$ ,  $1500^{\circ}$  и  $1600^{\circ}$ ), остававшаяся неизмѣнной во время опыта снятія криевой нагрѣванія, обусловливала опредѣленную скорость процесса плавленія. Послѣ того какъ плавленіе оканчивалось, тигель изъ печи вынимался, помѣщался въ подогрѣтый до  $500^{\circ}$  трипель и съ чугуна снималась кривая охлажденія.

Вслѣдъ за этимъ съ того же чугуна, который вслѣдствіе переплавки дѣлается сѣрымъ\*), при этой же температурѣ печи снималась кривая нагрѣванія и затѣмъ кривая охлажденія.

На фиг. 51 и 52 представлены характерныя кривыя, полученные при этихъ опытахъ, данные о которыхъ помѣщены въ таблицѣ VI.

ТАБЛИЦА VI.

Кривая №	Н а г р ъ в а н і е .					О х л а ж д е н і е .				
	Скорость нагрѣванія въ интервалѣ $900^{\circ}$ — $1100^{\circ}$ С въ секундахъ на $100^{\circ}$ .		Температура начала плавленія °C.		Продолжительность эвтектической остановки въ секундахъ.		Начало затвердѣванія °C.		Температура эвтектической остановки °C.	
	Бѣлый чугунъ.	Сѣрый чугунъ.	Бѣлый чугунъ.	Сѣрый чугунъ.	Бѣлый чугунъ.	Сѣрый чугунъ.	Бѣлый чугунъ.	Сѣрый чугунъ.	Бѣлый чугунъ.	Сѣрый чугунъ.
1	45	—	1145	—	76	—	1194	—	1134	—
2	—	57	—	1150	—	158	—	1198	—	1135
3	61	—	1141	—	68	—	1200	—	1133	—
4	—	64	—	1149	—	172	—	1199	—	1134
5	80	—	1139	—	226	—	1198	—	1132	—
6	—	93	—	1144	—	240	—	1200	—	1134
7	90	—	?	—	216	—	1201	—	1134	—
8	—	105	—	1134	—	240	—	1198	—	1136
9	177	—	?	—	410?	—	1200	—	1134	—
10	—	148	—	1134	—	390	—	1199	—	1132

\* ) Въ чёмъ убѣждались разбитіемъ королька.

Видъ кривыхъ и данныя таблицы VI подтверждаютъ высказанное предположеніе о влінії скорости нагрѣва на процессы плавленія сѣраго и бѣлаго чугуновъ: температура начала плавленія лежитъ тѣмъ выше, чимъ быстрѣе совершаются нагрѣваніе чугуна. Это влініе у сѣраго чугуна выражается рѣзче, чымъ у бѣлага.

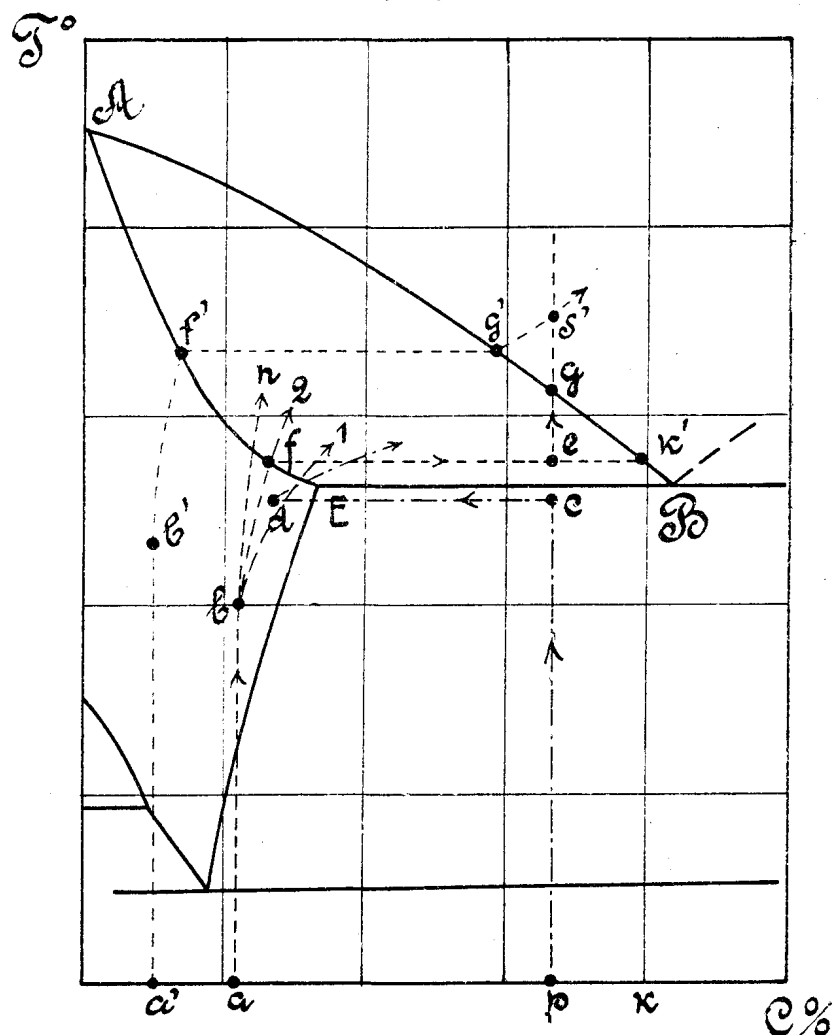
Что касается кривыхъ охлажденія, то они у обоихъ чугуновъ имѣютъ одинаковый видъ, вѣт зависимости отъ скорости ихъ нагрѣванія. Это и естественно, такъ какъ скорость охлажденія во всѣхъ опытахъ была практически одинаковая, такъ что бѣлый чугунъ при данной скорости охлажденія превращался въ сѣрий. (Полученіе бѣлаго чугуна могло бы имѣть мѣсто только при болѣе быстромъ охлажденіи, при которомъ цементитъ не получилъ бы возможности разложиться въ періодъ затвердѣванія эвтектики). \*).

Настоящіе опыты въ связи съ результатами предшествующихъ работъ автора, позволяютъ предложить слѣдующее объясненіе процессовъ плавленія и затвердѣванія чугуновъ.

d) Теорія плавленія и затвердѣванія чугуновъ.

1) Плавленія сѣраго чугуна.

Предположимъ, что чугунъ, подвергающійся плавленію, содержитъ  $p^0/0$  углерода (фиг. 53). Количество химически связан-



Фиг. 53.

\*.) Кроме быстроты охлажденія распаденіе цементита можетъ, по видимому, находиться въ зависимости отъ несовпаденія максимальныхъ величинъ  $C. K.$  и  $C. K.$ , регулирующими собою процессъ кристаллизации [см. Tammann (18)].

наго углерода равняется  $a^{\circ}/_0$ \*\*). Разность  $(p-a)^{\circ}/_0$  представляетъ содержаніе графита.

Такой чугунъ необходимо разсматривать какъ сталь съ  $a^{\circ}/_0 C$ , пронизанную пластинками графита. Если бы графитъ не оказывалъ при высокихъ температурахъ цементирующаго дѣйствія, то начало плавленія разсматриваемаго чугуна произошло бы въ точкѣ пересѣченія ординаты  $a$  съ линіей  $AE$  (теорія Goerens'a). Если бы графитъ и въ дальнѣйшемъ не оказывалъ вліянія, то мы имѣли бы случай плавленія стали, протекающій теоретически правильно, какъ это было изложено на стр. (случай I). Но при нагрѣваніи сѣраго чугуна фактически имѣеть мѣсто внутренняя цементація, поэтому фигуративная точка состава металлической массы чугуна будетъ перемѣщаться по вертикали вверхъ только до нѣкоторой точки  $b$ , начиная съ которой составъ металлической массы чугуна будетъ измѣняться вслѣдствіе внутренней цементаціи, и фигуративная точка состава пойдетъ по одному изъ путей обозначенныхъ цифрами: 1, 2 . . . . .  $n$ . Положеніе точки  $b$  и кривыхъ: 1, 2 . . . . .  $n$  зависитъ отъ скорости нагрѣванія. Чѣмъ скорость нагрѣванія больше, тѣмъ выше лежить точка  $b$ , тѣмъ круче путь  $b-n$ , тѣмъ выше температура начала плавленія чугуна, представляющая изъ себя точку пересѣченія одного изъ путей  $b-n$  съ линіей  $AE$ .

Каковъ бы ни былъ составъ металлической массы сѣраго чугуна (или вообще составъ чугуна), всегда можно предположить такую скорость нагрѣванія, при которой фигуративная точка состава будетъ передвигаться по нѣкоторому пути, пересѣкающему линію  $AE$  въ точкѣ  $E$ , т. е. начало плавленія будетъ совпадать съ эвтектической температурой ( $1134^{\circ}$ ), а потому утвержденіе предыдущихъ теорій, что сѣрый чугунъ всегда плавится при температурѣ высшей, чѣмъ бѣлый, теоретически неправильно.

Съ того момента, когда фигуративная точка перейдетъ въ треугольникъ  $ABE$  (положимъ по пути  $b-2$ ), металлическая масса чугуна начнетъ плавиться, т. е. произойдетъ распаденіе ея на твердую фазу (смѣшанные кристаллы) состава  $f^{\circ}/_0 C$  и жидкую фазу состава  $k^{\circ}/_0 C$ . Въ дальнѣйшемъ процессъ плавленія не можетъ итти, какъ у стали, т. е. по вертикали вверхъ, вслѣдствіе присутствія лишней твердой фазы—графита, проявляющаго свое цементирующее дѣйствіе.

Всѣ кривыя нагрѣванія сѣраго чугуна показали отчетливо остановку съ горизонтальнымъ участкомъ. Такая остановка свидѣтель-

\*\*) Количество связанного углерода въ чугунахъ колеблется. Оно часто бываетъ менѣе  $0,9^{\circ}/_0$  что, однако, не вліяетъ на сущность предлагаемаго объясненія процесса плавленія.

ствуетъ о томъ, что при плавленіи сѣраго чугуна происходитъ нѣкоторый процессъ при постоянной температурѣ, теченіе котораго возможно предположить лишь въ томъ случаѣ, если составъ принимающихъ въ немъ участіе фазъ остается постояннымъ. Слѣдовательно, на горизонтальномъ участкѣ кривыхъ нагреванія составъ фазъ: жидкой  $k'$ , твердой  $f$  и графита не меняться, измѣняются лишь ихъ количества.

Графически этотъ періодъ процесса плавленія изобразится тѣмъ, что фигуративная точка состава будетъ передвигаться по горизонтали отъ  $f$  къ  $e$ , и это движеніе будетъ совершаться до тѣхъ поръ, пока одна изъ фазъ, а именно графитъ, не израсходуется, т. е. пока не окончится внутренняя цементація. Послѣднее совершится въ точкѣ  $e$ , соотвѣтствующей исходному составу чугуна ( $p^{\circ}/_{\text{o}}$  углерода). Начиная отсюда, процессъ плавленія пойдетъ теоретически правильно по вертикали  $eg$  вверхъ. Температура окончанія плавленія чугуна опредѣлится пересѣченіемъ ординаты состава его съ линіей  $AB$ , т. е. точкой  $g$ .

Такимъ образомъ, въ плавленіи сѣраго чугуна слѣдуетъ различать три періода:

- 1) цементація твердаго металла,
- 2) образованіе жидкой фазы путемъ цементаціи,
- 3) собственно плавленіе.

Въ первомъ періодѣ движеніе фигуративной точки состава металлической массы происходитъ отъ  $a$  до  $f$ , во второмъ отъ  $f$  до  $e$  и въ третьемъ отъ  $e$  до  $g$ .

Теченіе процесса внутренней цементаціи въ первомъ періодѣ обусловливаетъ собою температуру (начала) плавленія чугуна, которая является, такимъ образомъ, для чугуна одного и того же состава величиной переменной, зависящей отъ скорости нагреванія.

Температура конца плавленія сѣраго чугуна зависитъ отъ совокупности теченій второго и третьего періодовъ, а такъ какъ въ теченіи этихъ періодовъ возможны нѣкоторыя отклоненія отъ описанного хода, то и температура конца плавленія сѣраго чугуна даннаго состава является также величиной непостоянной.

На самомъ дѣлѣ, въ теченіи второго періода происходитъ образованіе жидкой фазы путемъ цементаціи. Это происходитъ, надо полагать, такъ, что пластинка графита науглероживаетъ окружающей ее смѣшанный кристаллъ (состава  $f$ ) до тѣхъ поръ, пока онъ не достигнетъ состава жидкости фазы  $k$ , послѣ чего смѣшанный кристаллъ плавится. При этомъ нѣкоторыя пластинки графита могутъ оказаться

окруженными только жидкимъ металломъ, а тогда возможно, что онѣ, вслѣдствіе малаго удѣльного вѣса, всплынутъ на поверхность и выдѣлятся въ формѣ спѣли\*). Каждая такая пластинка, всплывавшая на поверхность уменьшаетъ содержаніе углерода въ чугунѣ, поэтому фигуративная точка состава при движеніи отъ  $f$  вправо не дойдетъ до точки  $e$ : третій періодъ начнется раньше, и температура конца плавленія будетъ лежать выше точки  $g$ , т. е. не будетъ уже опредѣляться точкой пересѣченія линіи  $AB$  съ ординатой исходнаго состава чугуна.

Возможны и такие случаи, гдѣ третій періодъ плавленія будетъ отсутствовать:

Безъ нарушенія хода плавленія (если не считать образованія спѣли) это будетъ имѣть мѣсто, напримѣръ, для чугуна состава  $k^{**}$ ) (и правѣе  $k$ ). Для этого чугуна второй періодъ плавленія (движение отъ точки  $f$  вправо) можетъ закончиться какъ разъ въ точкѣ  $k'$ , т. е. съ окончаніемъ второго періода совпадаетъ и конецъ плавленія.

Съ нарушеніемъ описаннаго хода плавленія это можетъ быть въ томъ случаѣ, если первый періодъ (для чугуна состава  $p^{***}$ ), окончится въ какой нибудь точкѣ  $f'$ . Тогда конецъ второго періода произойдетъ въ точкѣ  $g'$ , т. е. лѣвѣе ординаты состава  $p$ . Третій періодъ будетъ отсутствовать. Начиная съ точки  $g'$ , чугунъ будетъ находиться въ области жидкихъ сплавовъ, а потому перемѣщеніе фигуративной точки его состава вплоть до окончанія внутренней цементациіи на счетъ оставшагося графита пойдетъ по нѣкоторому пути  $g's'$ . Конецъ внутренней цементациіи долженъ находиться въ точкѣ  $s'$ , но такъ какъ на пути  $g's'$  несомнѣнно будетъ имѣть мѣсто выдѣленіе спѣли, то положеніе точки  $s'$  является неопределеннымъ.

Указанное выше явленіе выдѣленія спѣли можетъ служить объясненіемъ общезвѣстнаго факта отбѣливанія (обезуглероживанія) сѣраго чугуна при повторной переплавкѣ.

Принимая во вниманіе все сказанное о процессѣ плавленія сѣраго чугуна, необходимо высказать заключеніе, что температуры начала и конца плавленія сѣраго чугуна являются зависимыми отъ количества связанного углерода въ чугунѣ, отъ скорости нагрѣва и отъ неподдающагося учету вліянія—образованія спѣли. Температура начала и конца плавленія чугуна одного и того же состава могутъ меняться въ зависимости отъ двухъ послѣднихъ факторовъ.

\*.) Пластинки спѣли могутъ либо оставаться какъ таковыя, либо сгорѣть, что чаще и бываетъ,

\*\*) въ предположеніи, что первый періодъ плавленія пойдетъ по пути  $b-f$ .

\*\*\*) Количество химически связанного углерода предположено равнымъ  $a'$ .

## 2) Плавленіе бѣлаго чугуна.

Процессъ плавленія бѣлаго чугуна не отличается значительно отъ только что разсмотрѣннаго хода плавленія сѣраго чугуна. При медленномъ нагрѣвѣ, который имѣетъ мѣсто въ технической плавкѣ, должно происходить, какъ это показали опыты, распаденіе цементита\*) передъ началомъ плавленія, т. е. бѣлый чугунъ принимаетъ структурные формы сѣраго чугуна.

Если плавится бѣлый чугунъ состава  $p\% C$  (фиг. 53), то фигура-тивная точка его состава будетъ передвигаться при нагрѣваніи по ординатѣ  $p$  вверхъ вплоть до нѣкоторой точки  $c$ . Въ этой точкѣ начнется распаденіе свободнаго цементита, вслѣдствіе чего бѣлый чугунъ раздѣлится на металлическую массу съ нѣкоторымъ содержаниемъ связаннаго углерода (точка  $d$ ) и элементарный углеродъ. При дальнѣйшемъ нагрѣвѣ начнется внутренній процессъ цементаціи, вслѣдствіе котораго фигура-тивная точка состава пойдетъ по нѣкоторому пути, проведенному въ видѣ наклонной кривой изъ точки  $d$ . Когда эта кривая пересѣчетъ линію  $AE$ , начнется процессъ плавленія, и дальнѣйшій ходъ его будетъ совершаться такъ же, какъ и въ сѣромъ чугунѣ.

Вслѣдствіе того, что скорость нагрѣванія оказываетъ вліяніе на положеніе точекъ  $c$  и  $d$  и на теченіе внутренней цементаціи первого периода, начало температуры плавленія бѣлаго чугуна такъ же, какъ и сѣраго чугуна, зависитъ отъ скорости нагрѣванія, о чмъ и свидѣтельствуютъ кривые нагрѣванія фиг. 51. Однако это вліяніе не должно сказываться рѣзко, такъ какъ составъ металлической массы (положеніе точки  $d$ ) при нормальныхъ скоростяхъ нагрѣванія не можетъ сильно отклоняться отъ точки  $E$ . При медленномъ нагрѣвѣ точка  $d$  можетъ совпадать съ точкой  $E$ , т. е. температура плавленія бѣлаго чугуна совпадетъ съ температурой затвердѣванія его, что часто и наблюдалось (*Heupn, Goerens*).

Что касается температуры окончанія плавленія бѣлаго чугуна, то она въ виду указанныхъ соображеній будетъ опредѣляться точкой пересѣченія ординаты состава чугуна ( $p$ ) съ линіей  $AB$ , если, конечно, въ теченіе второго периода не произойдетъ нарушеній процесса плавленія (выдѣленіе спѣли).

\*) Вопросъ о томъ, происходитъ ли при нѣкоторой большей скорости нагрѣванія плавленіе бѣлаго чугуна безъ распаденія цементита, остается открытымъ. По мнѣнію автора, распаденіе цементита (частичное или полное) всегда должно имѣть мѣсто, такъ какъ скорость нагрѣва технически невозможно значительно увеличить противъ той, которая была въ опытахъ. Плавленіе безъ разложенія возможно, однако, въ присутствіи примѣсей, напримѣръ *Mn*.

Изъ разсмотрѣнія процесса плавленія бѣлаго чугуна вытекаетъ, что этотъ процессъ такъ же, какъ и процессъ плавленія сѣраго чугуна, необратимый.

### 3) Процессы затвердѣванія.

Что касается процессовъ затвердѣванія бѣлаго и сѣраго чугуновъ, то въ объясненіи ихъ авторъ всецѣло присоединяется къ теоріи проф. *Goerens'a*.

Если (чистый) чугунъ затвердѣваетъ (охлаждается) быстро, то цементитъ не распадается, процессъ затвердѣванія слѣдуетъ діаграммѣ состоянія: получается бѣлый чугунъ:  $Fe_c + Fe_3 C$ .

Если чугунъ того же самаго состава затвердѣваетъ медленно, то свободный, выдѣляющійся въ періодъ затвердѣванія ледебурита, цементитъ, распадается—происходитъ графитовыдѣленіе — и чугунъ получается сѣрымъ ( $Fe_c + Fe_3 C$ ) +  $C$ .

Въ гипоэвтектическихъ чугунахъ графитъ является продуктомъ распаденія цементита эвтектики (ледебурита): смѣшанные кристаллы +  $Fe_3 C$ . Въ виду того, что форма и расположение пластинокъ графита напоминаютъ собою эвтектическую структуру, что побудило нѣкоторыхъ изслѣдователей, несмотря на отсутствіе къ этому экспериментальныхъ данныхъ, считать такой графитъ эвтектическимъ, авторъ предлагаетъ называть графитъ, происшедшій отъ распаденія ледебурита, псевдоэвтектическимъ графитомъ.

Въ гиперэвтектическихъ чугунахъ графитъ образуется:

1) Вслѣдствіе распаденія первичнаго, выдѣляющагося по линіи *BD* цементита. Этотъ графитъ предлагается назвать псевдопервичнымъ графитомъ.

2) Вслѣдствіе распаденія цементита ледебурита (псевдоэвтектическій графитъ).

Псевдопервичный графитъ часто появляется въ формѣ спѣли. По предположенію проф. *Goerens'a* это происходитъ слѣдующимъ образомъ: образовавшіяся вслѣдствіе распаденія первичнаго цементита сравнительно крупныя пластинки окружены первоначально продуктомъ своего распаденія  $3 Fe$  и такимъ образомъ могутъ плавать въ жидкому металлу. Но окружающее ихъ желѣзо постепенно науглероживается и расплавляется, поэтому пластинки графита, освободившіяся отъ своей оболочки, подымаются вслѣдствіе малаго удѣльнаго вѣса вверхъ и выдѣляются изъ чугуна въ видѣ спѣли.

Процессъ образованія спѣли долженъ имѣть своимъ слѣдствиемъ измененіе состава чугуна въ сторону уменьшенія общаго содержанія

углерода. Какъ показали опыты автора для определенія линіи *BD* при переплавкѣ маленькихъ количествъ гиперэвтектическаго сѣраго чугуна (въ лодочкѣ) всегда получается чугунъ близкій къ эвтектическому составу, что и подтверждаетъ вышесказанное. Образованіе спѣли, какъ во время плавленія, такъ и во время затвердѣванія и сгораніе ея, ясно наблюдались во время этихъ опытовъ.

Образованіе спѣли можетъ, наоборотъ, послужить причиной и мѣстнаго увеличенія количества углерода.

Если затвердѣвающій чугунъ покрылся коркой, то пластинки спѣли не выходятъ изъ чугуна, а скапляются у его поверхности. Такое скопленіе пластинокъ (иногда вмѣстѣ съ ихъ оболочкою) имѣеть мѣсто и у стѣнокъ тигля. Происходитъ какъ бы явленія *ликвидациіи графита*, которое имѣеть своимъ слѣдствиемъ мѣстное увеличеніе содержания углерода въ сплавѣ и нарушение нормальной его структуры\*).

Согласно изложенному ходу затвердѣванія сѣраго чугуна количество связанного углерода въ немъ, въ случаѣ полнаго распаденія цементита, теоретически должно соотвѣтствовать предѣлу насыщенія желѣза цементитомъ при эвтектической температурѣ, т. е. количественно равняться  $1,7\%$  С. Между тѣмъ въ дѣйствительности количество связанного углерода вообще меныше, а въ техническихъ сѣрыхъ чугунахъ оно бываетъ и меныше  $0,9\%$ , (эти чугуны заключаютъ въ своей структурѣ свободный ферритъ). Послѣднее обстоятельство находитъ свое объясненіе въ слѣдующемъ.

При распаденіи цементита продуктъ распаденія  $3Fe$  можетъ полностью насытиться углеродомъ только при условіи очень медленнаго охлажденія. Практически же охлажденіе идетъ быстрѣе, чѣмъ этого требуютъ теоретическія условія, а потому  $3Fe$  не успѣваетъ насытиться до своего предѣла, и чугунъ содержитъ меныше  $1,7\%$  связанного углерода и больше, чѣмъ это требуется по теоріи, графита. Неполнотѣ насыщенія способствуютъ нѣкоторыя примѣси и особенно кремній, поэтому въ графитистыхъ, а слѣдовательно и кремнистыхъ чугунахъ количество связанного углерода незначительно, что и обусловливаетъ образованіе свободнаго феррита, который имѣеть стремленіе выдѣляться вокругъ включеній вообще, а въ данномъ случаѣ вокругъ пластинокъ графита.

Въ заключеніе авторъ считаетъ возможнымъ упомянуть о двухъ опытахъ (изъ серии опытовъ для определенія линій *BD*), которые иллюстрируютъ процессъ графитовыдѣленія согласно теоріи одной діаграммы:

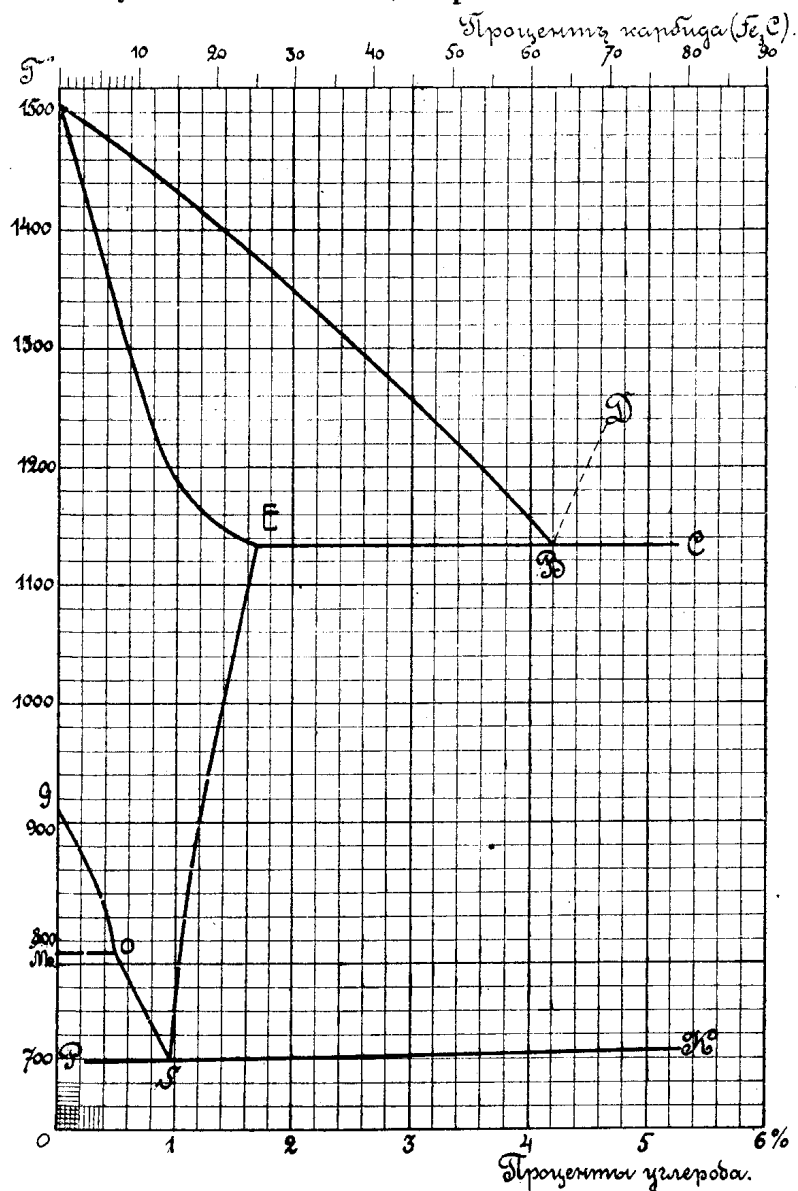
\* ) Повидимому такое мѣстное скопленіе углерода представляетъ образецъ чугуна въ работе *Goevens'a* (11) на фиг. 107, являющейся примѣромъ псевдоэвтектической структуры сѣраго чугуна.

1) Сплавъ съ 5,307% C былъ закаленъ передъ началомъ затвердѣванія. Строеніе его представлено на фиг. 54. Если бы графитъ былъ первичнымъ продуктомъ выдѣленія, то онъ долженъ былъ бы лежать непосредственно въ эвтектикѣ. Фиг. 54 однако ясно показываетъ, что каждая пластинка графита окружена оболочкой изъ углеродистаго желѣза, что говорить за то, что графитъ есть продуктъ распаденія цементита.

2) Были приготовлены два сплава съ 4,611% C и съ 4,513% C. Изъ нихъ первый былъ охлажденъ медленно, а второй быстро. Въ первомъ (фиг. 55) видны крупныя пластинки графита, во второмъ (фиг. 56) кристаллы цементита. Сравненіе величины и взаимнаго положенія кристалловъ цементита и пластинокъ графита на обѣихъ фигурахъ говорить за то, что вторыя, повидимому, произошли изъ первыхъ.

### V. Заключеніе.

Результаты настоящей работы заключаются слѣдующемъ:



Фиг. 57.

1) Путемъ термическаго анализа провѣрены линіи *AB*, *EC* и *PK* діаграммы состоянія же-лѣзо-углерод сплавовъ.

2) При помощи спо-соба закалки положеніе линіи *AE* (при болѣе низкихъ темпера-турахъ, чѣмъ это до сихъ поръ принималось).

3) Точка *E* на осно-ваніи термическихъ и микроскопическихъ из-слѣдований установлена при 1.7% C. Пунктъ *B*—при 4,2% C и эв-тектическая темпера-тура—при 1134°.

4) При помощи опы-товъ цементациіи уста-новлена верхняя часть линіи *SE*.

5) На основаніи дан-ныхъ первыхъ четы-рехъ пунктовъ діаграм-ма состоянія же-лѣзо-углерод сплавовъ имѣ-еть виль, представлена-ный на фиг. 57.

На основанії этой діаграммы составлена слѣдующая таблица (табл. VII) теоретическихъ температуръ затвердѣванія желѣзо-углерод-сплавовъ.

ТАБЛИЦА VII.

Содержание углерода %.	Начало затвердѣванія		Конецъ затвердѣванія °C.
		°C.	
Чистое желѣзо по Stansfield'y.		1505	—
0,5		1472	1329
1,0		1433	1187
1,5		1393	1142
2,0		1348	1134
2,5		1303	1134
3,0		1257	1134
3,5		1209	1134
4,0		1156	1134
4,2		1134	1134
4,5	?		1134

6) На основанії опытовъ установлено, 1) что скорость нагрѣва имѣеть вліяніе на температуру начала плавленія чугуновъ, 2) что во время процесса плавленія совершается внутренняя цементація и 3) что въ бѣломъ чугунѣ передъ началомъ плавленія происходитъ распаденіе свободнаго цементита

и 7) предложена новая теорія плавленія чугуновъ.

Конецъ 1-й части.

Томскъ 21 Мая 1912 г.

## ТАБЛИЦА МИКРОФОТОГРАФІЙ.

Фигура.	Опытъ.	Сплавъ.	Проба.	Температура закалки $T^{\circ} C.$	0,0 C.	П р и м ъ ч а н і я .	
						Охлажденіе медленно.	Закалена.
7	—	I	—	—	0,577		
8	—	II	—	—	1,071	“	“
9	—	III	—	—	1,632	“	“
10	—	IV	—	—	1,762	“	“
11	—	V	—	—	2,165	“	“
12	—	VI	—	—	2,795	“	“
13	—	VII	—	—	3,677	“	“
14	—	VIII	—	—	4,626	“	“
15	—	IX	—	—	4,940	“	“
24	—	—	9	1120	1,762		
25	—	—	4	1167	1,762		
26	—	—	15	1130	1,632		
27	—	—	13	1154	1,632		
28	—	—	13	1154	1,682		
29	—	—	25	1150	1,071		
30	—	—	21	1228	1,071		
31	—	—	29	1318	0,577		
32	—	—	29	1318	0,577		
33	—	—	21 и 29	—	—	Протравлена никратомъ натрія.	
34	—	—	27	1365	0,577		
36	—	—	—	—	—	Вдоль и поперекъ шлифа эвтектики (ледебурита).	
37	—	—	—	—	1,762		
38	—	—	—	—	2,006		
47	55	—	—	1130	—		
48	57	—	—	1150	—		
49	63	—	—	1135	3,531		
50	65	—	—	1150	3,560		
54	—	—	—	—	5,307		
55	—	—	—	—	4,611	Охлаждена медленно.	
56	—	—	—	—	4,513	Закалена.	

**Перечень литературныхъ источниковъ, на которые сдѣланы ссылки  
въ работѣ\*).**

- 1) *Heyn und Bauer.* Metallographie ч. I и II Изд. Goeschen (1909).
- 2) *A. Findlay.* Einführung in die Phasenlehre (1907). Leipzig.
- 3) *Roberts-Austen.* Fifth Report of the alloys Research Committee. The Metallographist II стр. 186.
- 4) *B. Roozeboom.* Stahl und Eisen vom Standpunkte der Phasenlehre. Z. f. phys. Chemie т. 34, 1900 стр. 437.
- 5) *Carpenter und Keeling.* The range of solidification and critical range of iron-carbon alloys. Journ. of the Iron and Steel Inst. 1904 I стр. 224.
- 6) *F. Wüst.* Beitrag zum Kenntniss der Eisenkohlenstofflegierungen höheren Kohlenstoffgehaltes. Metallurgie 1906 стр. 1.
- 7) *C. Benedicks.* Ueber das Gleichgewicht und die Erstarrungsstrukturen des systems Eisen-Kohlenstoff. Metall. 1906 стр. 393.
- 8) *Stanfield.* The present position of the solution theorie of carburised iron. Journ. of the Ir. a. st. Inst. 1900, II, стр. 317.
- 9) *Heyn.* Labile und metastabile Gleichgewichte der Eisenkohlenstofflegierungen. Z. f. Elektrochemie, 1904, стр. 491.
- 10) *G. Charpy.* Sur le diagramme d'équilibre des alliages fer carbon. Comp.-rend. 1905, 141, стр. 948.
- 11) *Goerens.* Ueber den augenblicklichen Stand unserer Kenntnisse der Erstarrungs-und Erkaltungsprozesse der Eisenkohlenstofflegierungen. Metall. 1906, стр. 175 и 1907, стр. 137, 173.
- 12) *Ruer.* Metallographie in der elementaren Darstellung (1907). стр. 212.
- 13) *Howe.* Das Zustandsdiagramm des Eisen-Kohlenstoffs. Metall. 1909, стр. 65.
- 14) *Бимморгъз.* Теорія сплавовъ (1909) С.-Петербургъ.
- 15) *Goerens und Gutowsky.* Experimentelle Studie über den Erstarrungs-und Schmelzvorgang bei Roheisen. Metall. 1908, стр. 137.
- 16) *F. Wüst.* Beitrag zum Einfluss des Phosphors auf das System Eisen-Kohlenstoff. Metall. 1908, стр. 76.
- 17) *Goerens.* Einführung in die Metallographie (1906). Halle.
- 18) *Tammann.* Kristallisieren und Schmelzen (1903) Leipzig.
- 19) *B. Roozeboom.* Heterogene Gleichgewichte т. II (1904). Braunschweig.

\* ) Въ текстъ работы надъ фамиліями изслѣдователей поставлены номера, подъ которыми въ настоящемъ перечоѣ приведено название работы изслѣдователя и мѣсто появленія ея въ печати.

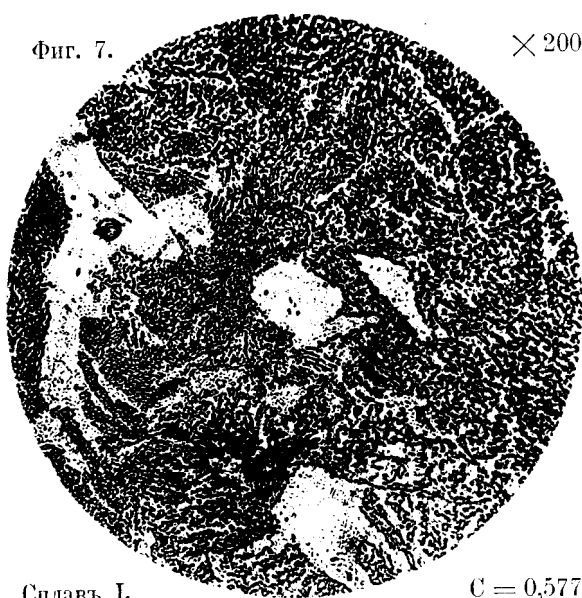
- 20) *Gutowsky*. Experimentelle Untersuchung über den Erstarrungs- und Schmelzvorgang bei technischem Roheisen. Metall. 1908, ctp. 463.
- 21) *Heyn*. Bericht über die mikroskopische Untersuchung der vom Sonderausschuss für Eisenlegierungen des Vereins zur Beförderung des Gewerbefleisses hergestellten Legierungen. Verh. d. Ver. z. Bef. d. Gewerbefl. 1904, ctp. 355.
- 22) *Carpenter*. Der Erstarrungspunkt des Eisens. Metall. 1908, ctp. 679.
- 23) *Müller*. Ueber die Darstellung des Elektrolyteisens, dessen Zusammensetzung und thermische Eigenschaften. Metall. 1909, ctp. 145.
- 24) *Tammann*. Ueber die Anwendung der thermischen Analyse. Z. f. anorg. Ch. 47 (1905) ctp. 289.
- 25) *Stansfield*. The burning and overheating of steel. Journ. of the Ir. a. St. Inst. 1903, II, ctp. 433.
- 26) *Margueritte*. Cémentation du fer par le charbon et par l'oxyde de carbone. Compt.-rend. 59 (1864) ctp. 726.
- 27) *P. Charpy*. Note of cémentation. Ir. and Steel Magaz. 1904, ctp. 305.
- 28) *Wüst und Schlosser*. Der Einfluss von Kohlenstoff, Silicium, Mangan, Schwefel und Phosphor auf die Bildung der Temperkohle im Eisen. Stahl u. Eisen, 1904, ctp. 1120.
- 29) *Hadfield*. Die physikalisch-chemischen Vorgänge, welche mit der Entkohlung von Eisenkohlenstofflegierungen verknüpft sind. Metall. 1909, ctp. 358.
- 30) *F. Wüst*. Ueber Theorie des Glühfrischens. Metall. 1908, ctp. 7.
- 31) *Tiemanns*. The temperatures limits for the Separation of graphite from martensite in pur cast-iron. Metallogr. X (1901) ctp. 319.
- 32) *Royston*. The relation of carbon to iron at high temperatures. Journ. of the Ir. a. St. Inst. 1897, I, ctp. 166.
- 33) *Charpy et Grenet*. Sur l'équilibre des systemes fer-carbone. Bull. de la Soc. de l'encom. p. l'ind. nation. 1902 ctp. 399.
- 34) *Heyn und Bauer*. Zur Metallographie des Roheisens. St. u. Eisen, 1907 r. ctp. 1568.
- 35) *G. Charpy*. Sur la solubité du Graphit dans le fer. Rev. de Métall., 1908, ctp. 77.
- 36) *Benedicks*. Ueber die Löslichkeit des Graphits im Eisen. Metall. 1908, ctp. 41.
- 37) *Heyn*. Metallographische Untersuchung für Giessereiwesen. St. u. Eisen, 1906, ctp. 1295.
- 38) *Maurer*. Untersuchung über das Härtcn und Anlassen von Eisen und Stahl. Metall. 1909, ctp. 33.

## ОПЕЧАТКИ.

Стран.	Строка.	Напечатано.	Слѣдуетъ.
4	7 св.	также	такъ же
5	20 св.	слѣдуетъ	слѣдуетъ
7	5 св.	B. Roozeboom	B. Roozeboom
10 и 14	1 и 3 св.	Goereus	Goerens
17	9 св.	" "	" "
17	12 св.	что	что
29	11 св.	точ о	точно
31	11 св.	эвтектику,	эвтектики
37	1 св.	Stansfield'a	Stansfield'a
39	17 св.	диффундировать	лиффундировать-
41	6 сн.	содержать	содержать
44	6 св.	46—48	47—49
48	6 св.	час чныиъ	частичныиъ
50	19 св.	цеметаціи	цементациі
50	18 сн.	теоретически	теоретически.
52	12 св.	ислѣдованиями	изслѣдованіями-
53	5 сн.	фиг. 45	фиг. 46
55	4 сн.	46	45
55	10 св.	значительво	значительно
58	6 св.	они	онъ
58	9 сн.	плавленія	плавленіе
59	3 св.	чугунъ	чугунъ
59	10 св.	стр.	стр. 4
61	3 св.	всплыавшая	испльвшая
61	15 св.	періода	періода
62	6 св.	принимаемъ	принимаетъ.

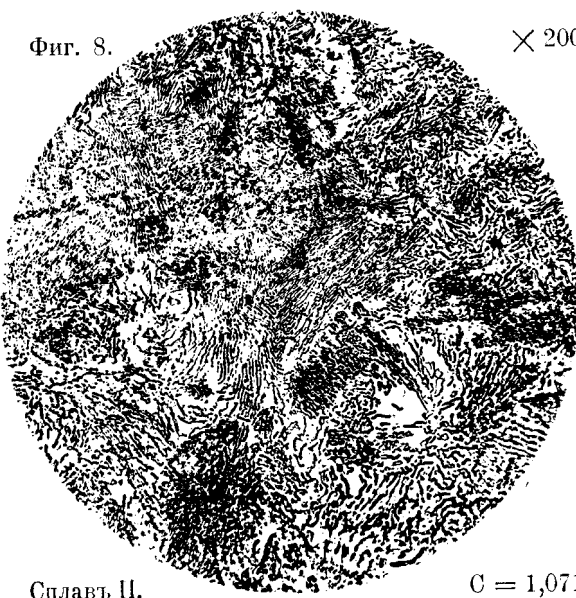
**Н. Гутовский. Къ теоріи системы: желязо-углеродъ.**

Фиг. 7.



× 200

Фиг. 8.



× 200

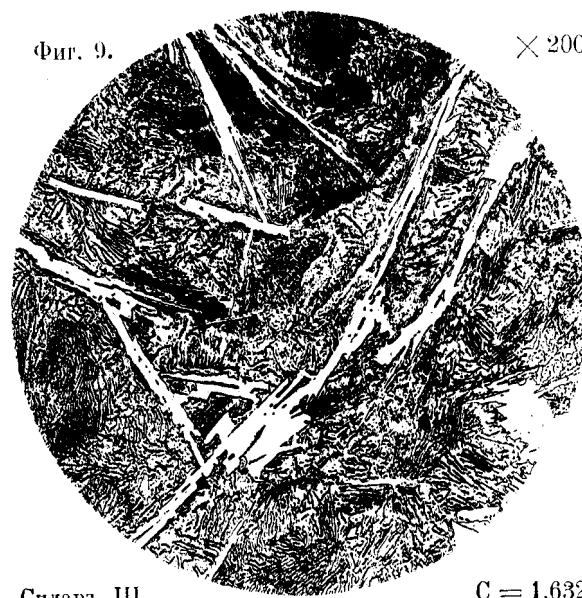
Сплавъ I.

$C = 0,577\%$

Сплавъ II.

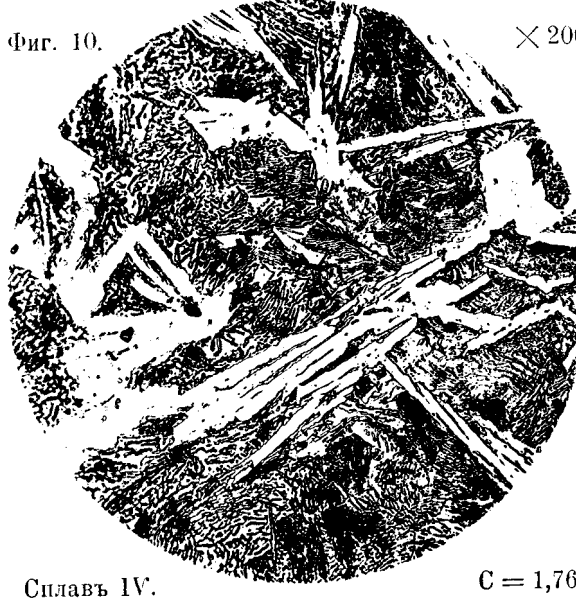
$C = 1,071\%$

Фиг. 9.



× 200

Фиг. 10.



× 200

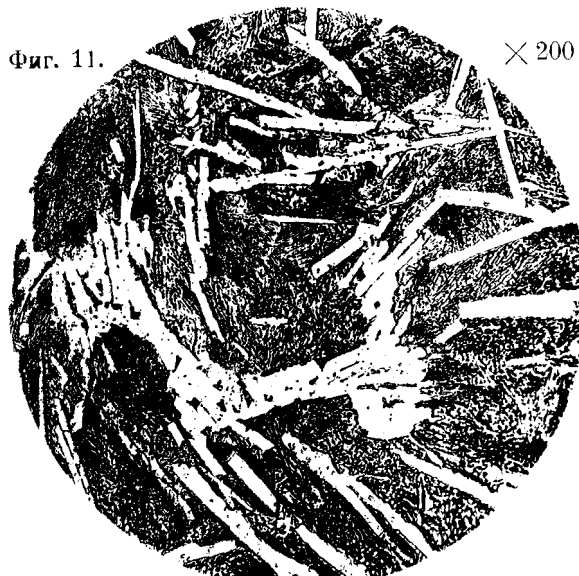
Сплавъ III.

$C = 1,632\%$

Сплавъ IV.

$C = 1,762\%$

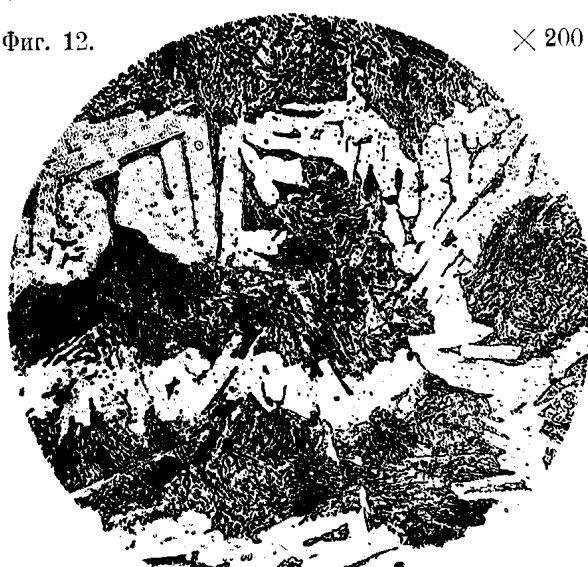
Фиг. 11.



× 200

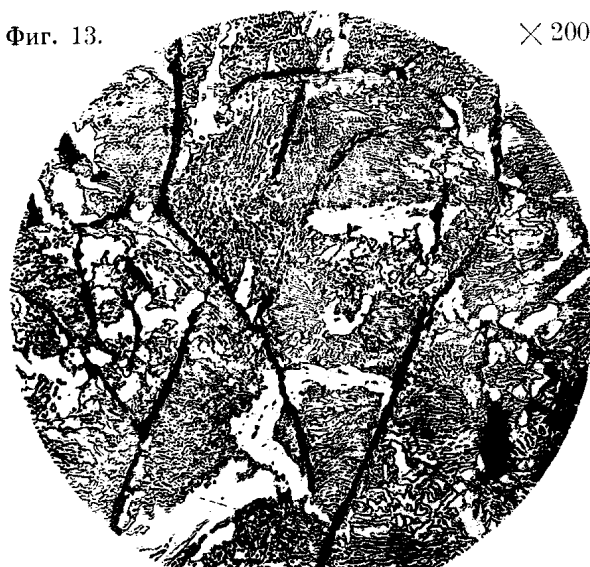
**Н. Гутовский. Къ теории системы: жѣлѣзо-углеродъ.**

Фиг. 12.



× 200

Фиг. 13.



× 200

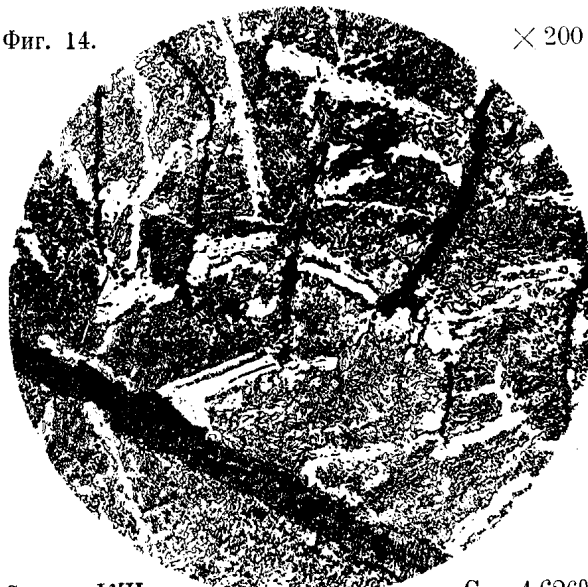
Сплавъ VI.

C = 2,795%

Сплавъ VII.

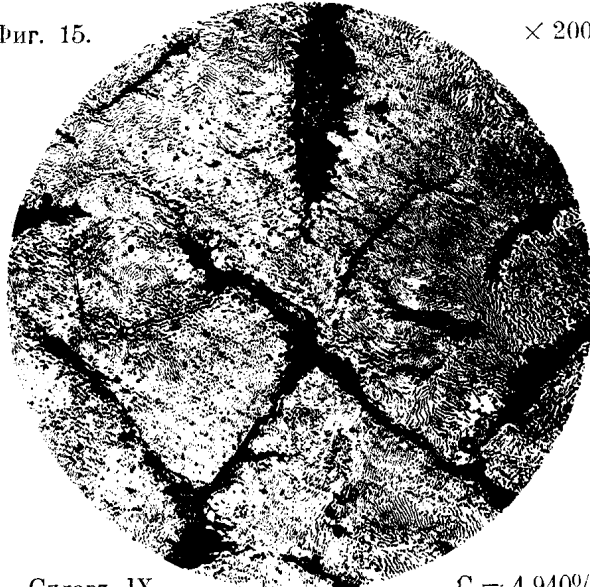
C = 3,677%

Фиг. 14.



× 200

Фиг. 15.



× 200

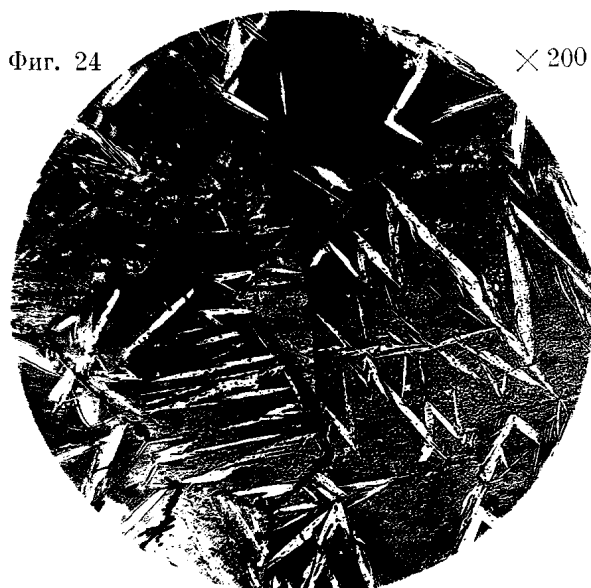
Сплавъ VIII.

C = 4,626%

Сплавъ IX.

C = 4,940%

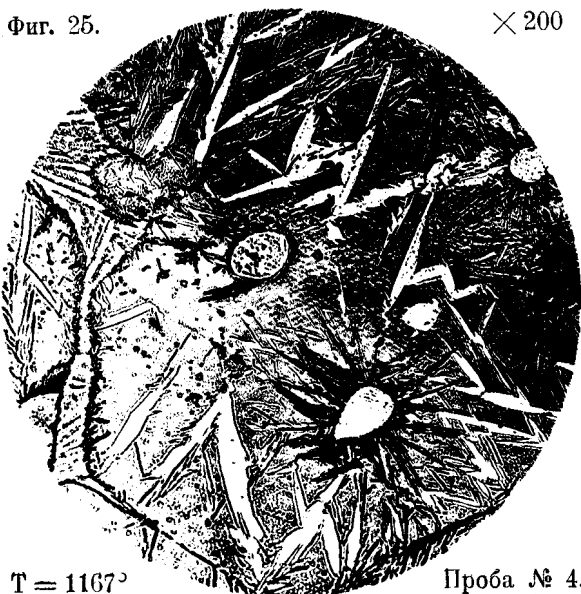
Фиг. 24



× 200

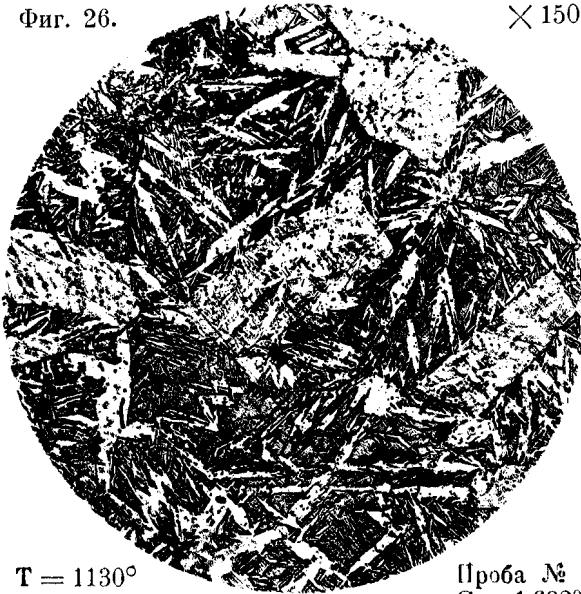
Н. Гутовскій. Къ теоріи системы: желязо-углеродъ.

Фиг. 25.



$\times 200$

Фиг. 26.



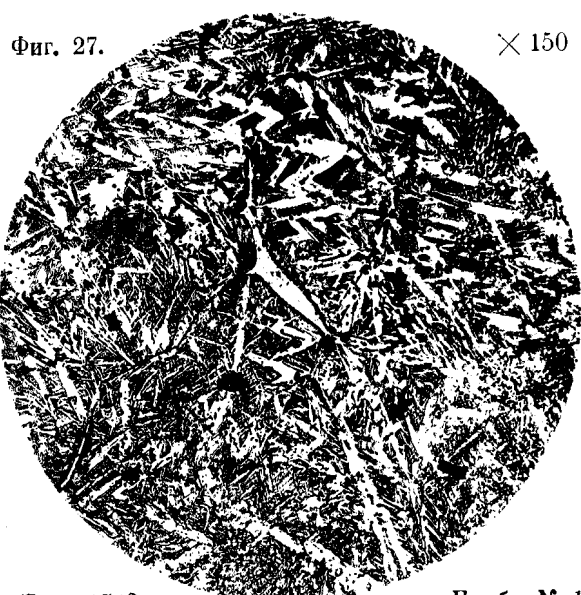
$\times 150$

$T = 1167^\circ$

Проба № 4.  
С = 1,762%.

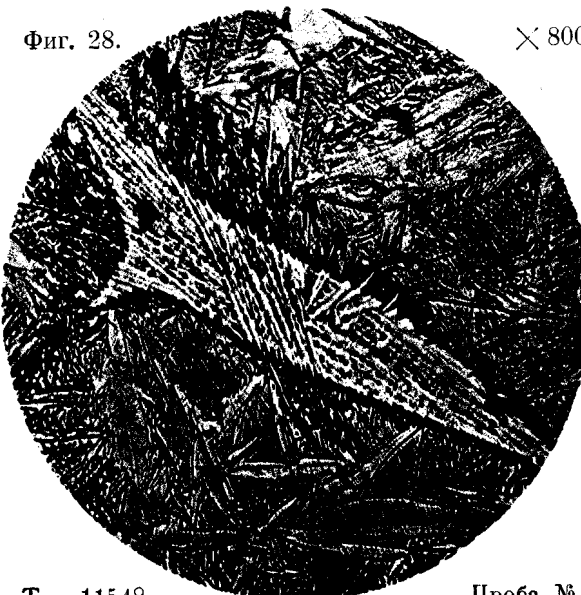
Проба № 15  
С = 1,632%

Фиг. 27.



$\times 150$

Фиг. 28.



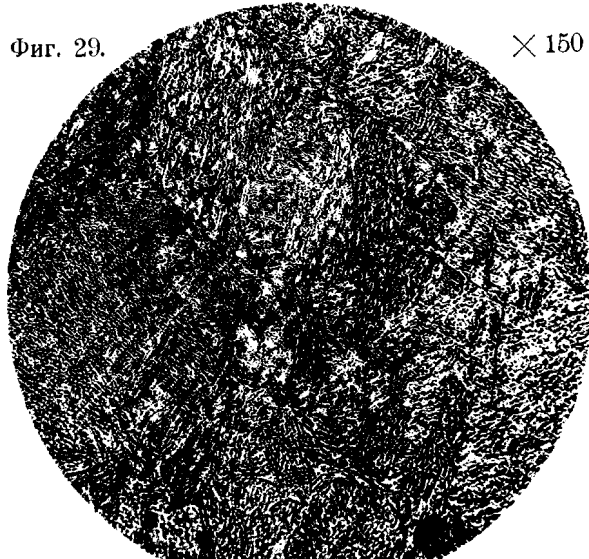
$\times 800$

$T = 1154^\circ$

Проба № 13.  
С = 1,632%.

Проба № 13.  
С = 1,632%

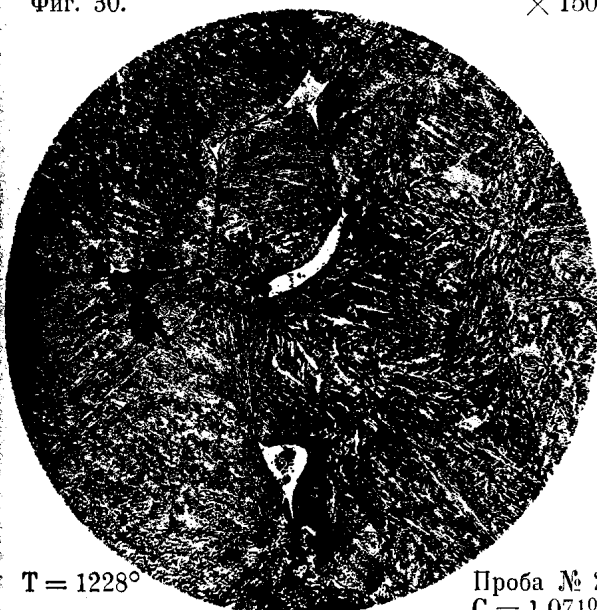
Фиг. 29.



$\times 150$

Н. Гутовскій. Къ теоріи системы: желѣзо-углеродъ.

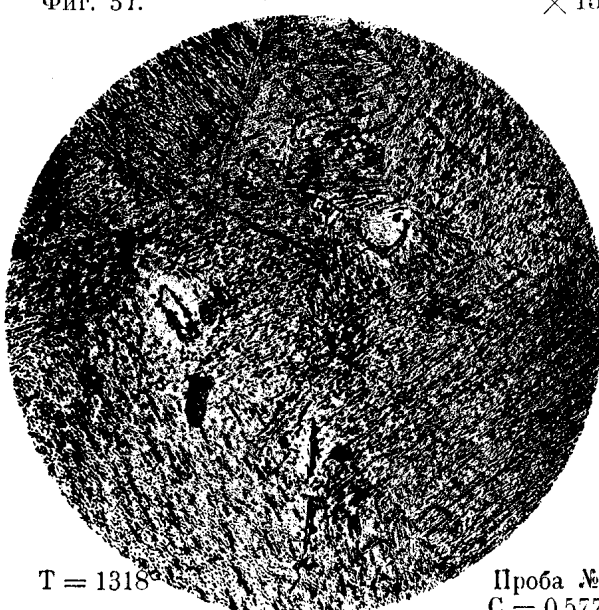
Фиг. 30.



$T = 1228^{\circ}$

$\times 150$

Фиг. 31.



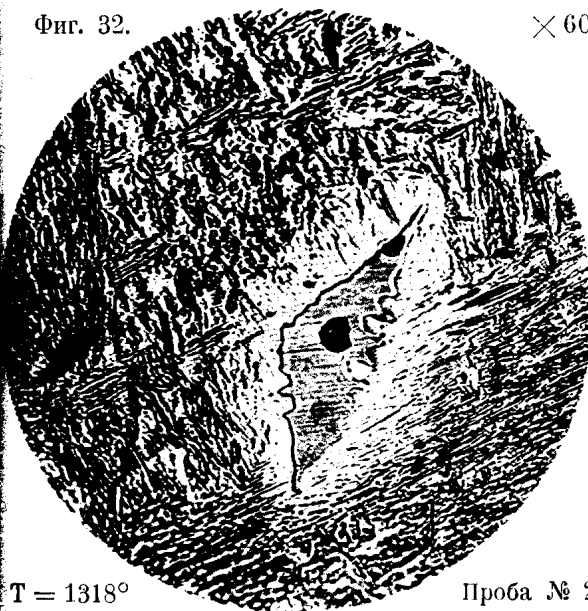
$T = 1318^{\circ}$

$\times 150$

Проба № 21.  
 $C = 1,071\%$

Проба № 29.  
 $C = 0,577\%$

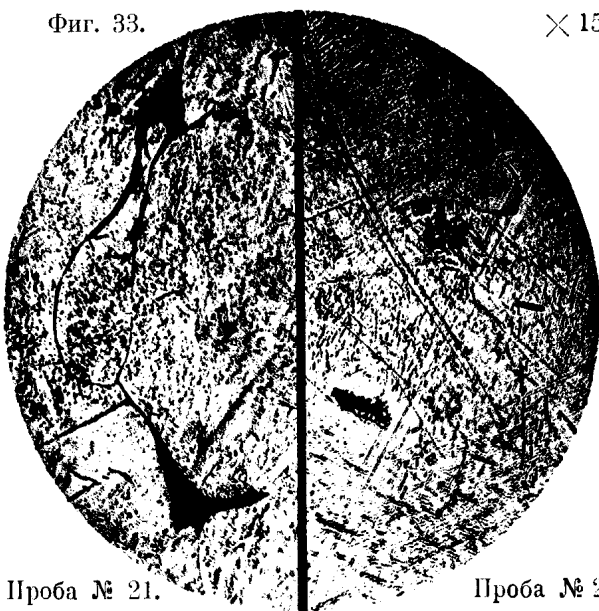
Фиг. 32.



$T = 1318^{\circ}$

$\times 600$

Фиг. 33.



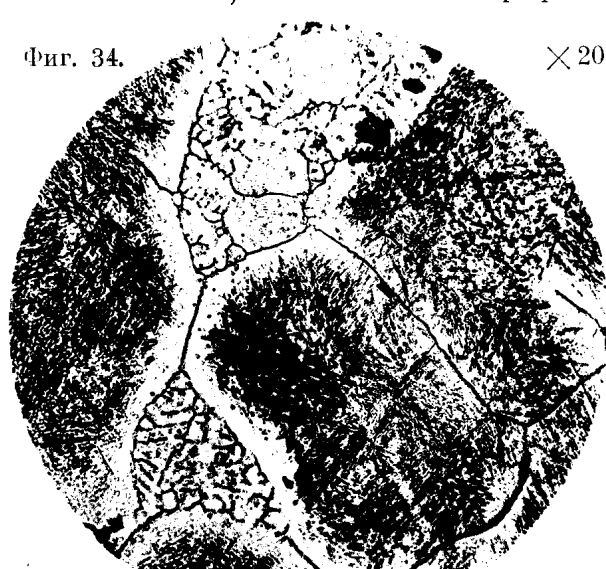
Проба № 29

Проба № 29. Проба № 21.  
 $C = 0,577\%$

Протравлены пикратомъ натрія.

$\times 150$

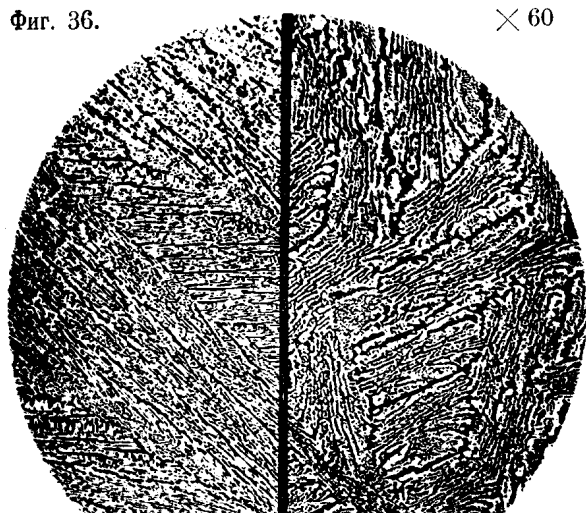
Фиг. 34.



$\times 200$

Н. Гутовский. Къ теоріи системы: желе́зо-углеродъ.

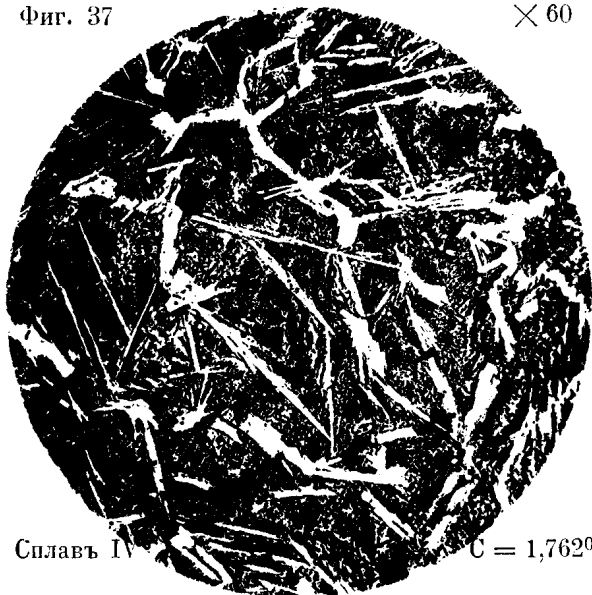
Фиг. 36.



Продольный  
шлифъ  
и Поперечный  
шлифъ  
эвтектики (ледебурита) съ 4,2% С.

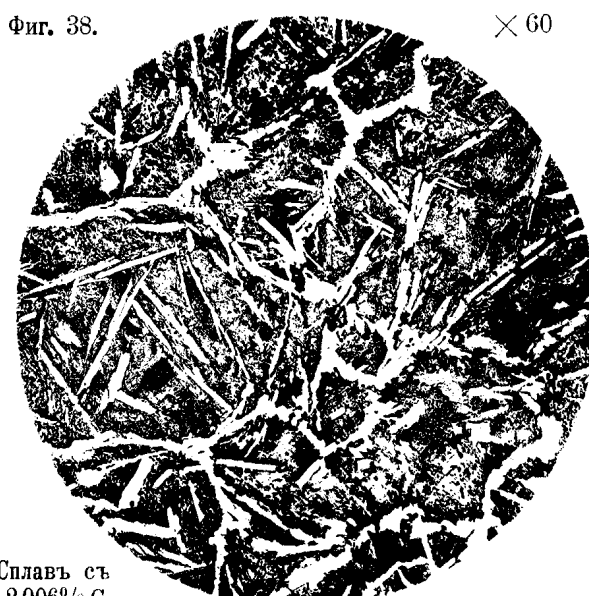
$\times 60$

Фиг. 37



С = 1,762%

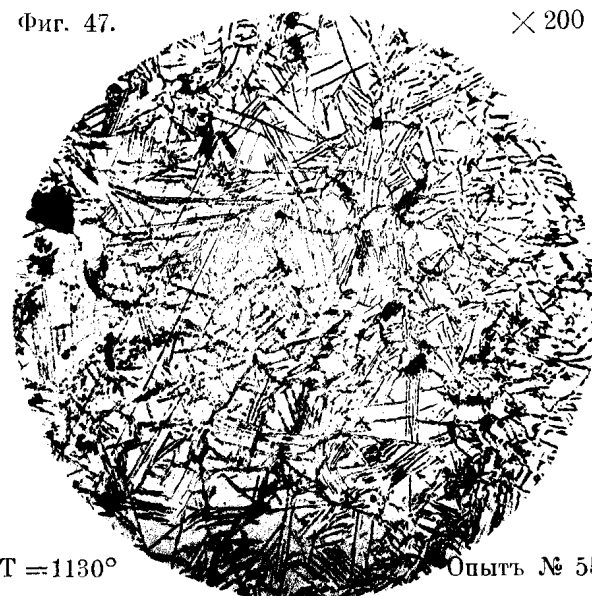
Фиг. 38.



Сплавъ съ  
2,006% С

$\times 60$

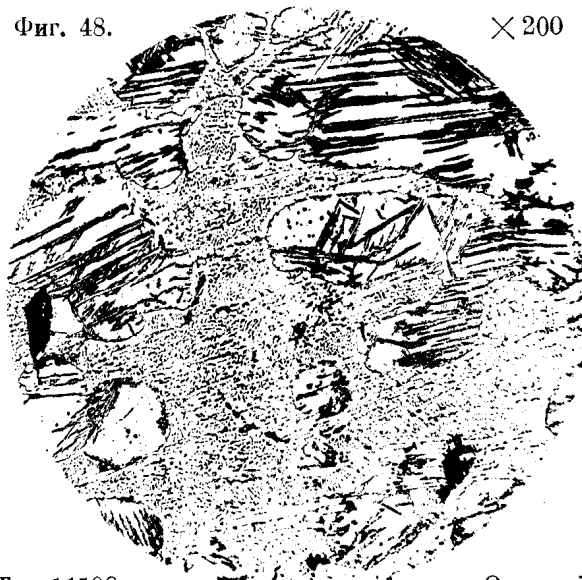
Фиг. 47.



T = 1130°

Опытъ № 55.

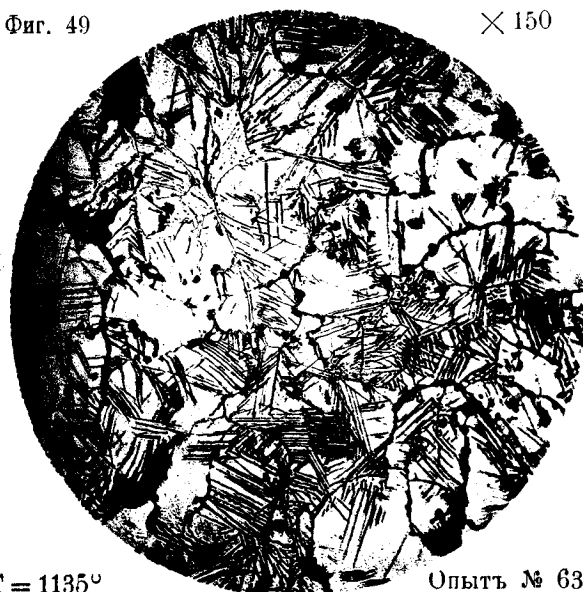
Фиг. 48.



$\times 200$

Н. Гутовскій. Къ теоріи системы: желязо-углеродъ.

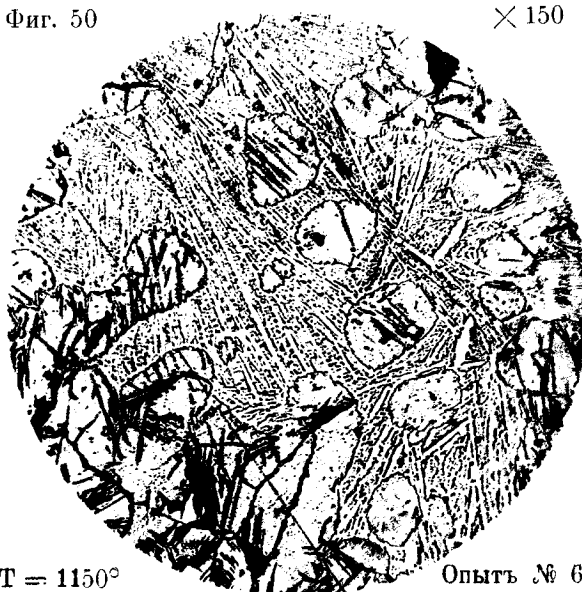
Фиг. 49



$T = 1135^{\circ}$

$\times 150$

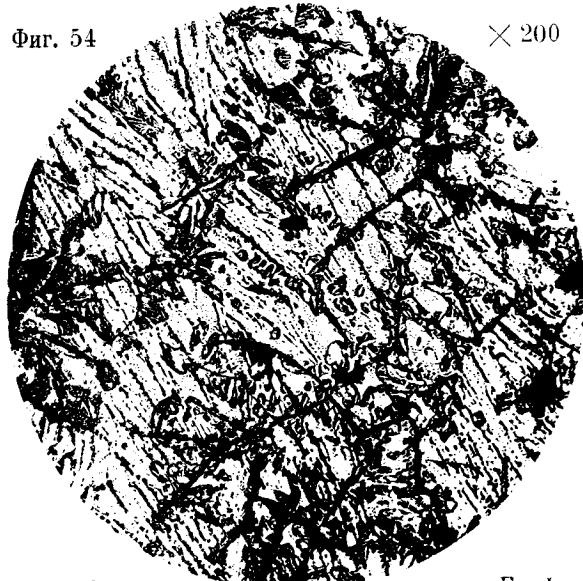
Фиг. 50



Опытъ № 65

$\times 150$

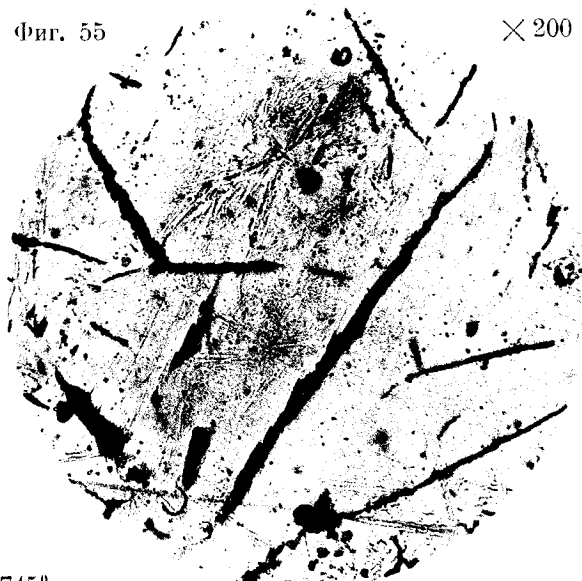
Фиг. 54



$C = 5,307\%$

$\times 200$

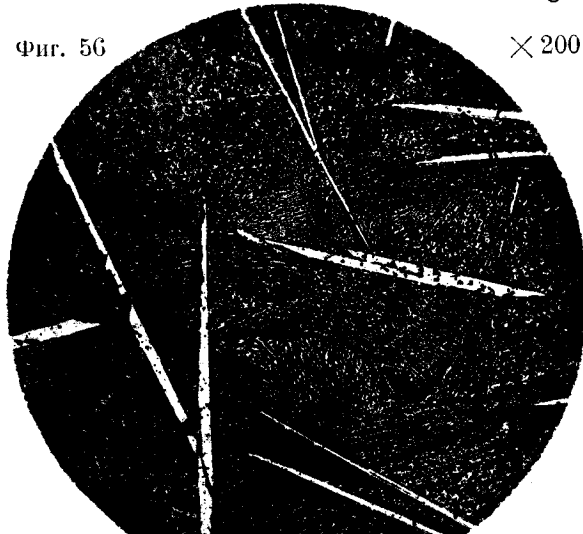
Фиг. 55



Охлаждена медленно  
 $C = 4,611\%$

$\times 200$

Фиг. 56



$\times 200$

$\Gamma_{\text{раф.}} = 1,745\%$